

การประเมินคุณภาพไฟถนน



นางสาว สุวิษญาน์ อินนัคดา

สถาบันวิทยบริการ
จุฬาลงกรณ์มหาวิทยาลัย

วิทยานิพนธ์นี้เป็นส่วนหนึ่งของการศึกษาตามหลักสูตรปริญญาวิศวกรรมศาสตรมหาบัณฑิต

สาขาวิชาวิศวกรรมไฟฟ้า ภาควิชาวิศวกรรมไฟฟ้า

คณะวิศวกรรมศาสตร์ จุฬาลงกรณ์มหาวิทยาลัย

ปีการศึกษา 2543

ISBN 974-13-0243-6

ลิขสิทธิ์ของจุฬาลงกรณ์มหาวิทยาลัย

QUALITY EVALUATION IN ROAD LIGHTING



Miss. Suwichaya Innadda

สถาบันวิทยบริการ
จุฬาลงกรณ์มหาวิทยาลัย

A Thesis Submitted in Partial Fulfillment of the Requirements
for the Degree of Master of Engineering in Electrical Engineering

Department of Electrical Engineering

Faculty of Engineering

Chulalongkorn University

Academic Year 2000

ISBN 974-13-0243-6

หัวข้อวิทยานิพนธ์

การประเมินคุณภาพไฟถนน

โดย

นางสาว สุวิษญาน์ อินนัตตา

สาขาวิชา

วิศวกรรมไฟฟ้า

อาจารย์ที่ปรึกษา

อาจารย์ ไชยะ แซ่มซ้อย

คณะวิศวกรรมศาสตร์ จุฬาลงกรณ์มหาวิทยาลัย อนุมัติให้หัวข้อวิทยานิพนธ์ฉบับนี้เป็นส่วน
หนึ่งของการศึกษาตามหลักสูตรปริญญาวิทยาศาสตรบัณฑิต

..... คณบดีคณะวิศวกรรมศาสตร์

(ศาสตราจารย์ ดร. สมศักดิ์ ปัญญาแก้ว)

คณะกรรมการสอบวิทยานิพนธ์

.....ประธานกรรมการ

(ผู้ช่วยศาสตราจารย์ ประสิทธิ์ พิทยพัฒน์)

.....อาจารย์ที่ปรึกษา

(อาจารย์ ไชยะ แซ่มซ้อย)

.....กรรมการ

(รองศาสตราจารย์ ดร. บัณฑิต เอื้ออาภรณ์)

สถาบันวิทยบริการ
จุฬาลงกรณ์มหาวิทยาลัย

ศุวิษญาน์ อินันต์ดา : การประเมินคุณภาพไฟถนน

(QUALITY EVALUATION IN ROAD LIGHTING)

อ. ที่ปรึกษา : อาจารย์ ไชยะ แซ่มซ้อย , 109 หน้า. ISBN 974-13-0243-6

วิทยานิพนธ์นี้นำเสนอการประเมินคุณภาพของการให้แสงสว่างถนน ด้วยการประเมินค่าความสว่าง ความส่องสว่าง และระดับแสงจ้า ตามมาตรฐานของ CIE

ในการประเมินจะมีการวิเคราะห์ข้อมูลจำนวนมาก ใช้เวลานาน จึงพัฒนาโปรแกรมคอมพิวเตอร์มาช่วยงานที่ทำให้สามารถประเมินคุณภาพของการส่องสว่างได้ทั้งถนนตรง ถนนโค้ง ถนนทางราบ ถนนเอียงขึ้น-ลง ตลอดจนการให้แสงสว่างด้วยระบบเสาธรรมดาและระบบเสาสูง ผลการประเมินสามารถนำเสนอได้ทั้งตารางข้อมูล ภาพแรเงา ภาพลายเส้น ภาพสามมิติ ตลอดจนภาพเสมือนจริง ทำให้ผู้ออกแบบตัดสินใจเลือกระบบที่เหมาะสมได้ง่ายขึ้น



สถาบันวิทยบริการ
จุฬาลงกรณ์มหาวิทยาลัย

ภาควิชา.....วิศวกรรมไฟฟ้า.....ลายมือชื่อนิสิต.....

สาขาวิชา.....วิศวกรรมไฟฟ้า.....ลายมือชื่ออาจารย์ที่ปรึกษา.....

ปีการศึกษา.....2543.....ลายมือชื่ออาจารย์ที่ปรึกษาร่วม.....

4270627321: MAJOR ELECTRICAL ENGINEERING

KEY WORD: ROADLIGHTING

SUWICHAYA INNADDA : QUALITY EVALUATION IN ROADLIGHTING.

THESIS ADVISOR : CHAIYA CHAMCHOY 109 pp.

ISBN 974-13-0243-6

Illumination quality evaluation of roadway lighting on illuminance , luminance and glare is presented this thesis. Evaluation process is time consuming and analyses a lot of data, then a computer software is developed to handle the problems. With this program, lighting quality on straight and curve, horizontal and incline roads with conventional and high-mast lighting system can be easily evaluated. The designer can choose the suitable system from the results that are presented in the form of data-table, shade, contour , 3D and perspective pictures.



Department ...Electrical Engineering... Student's signature.....:

Field of study ...Electrical Engineering... Advisor's signature.....:

Academic year ...2000... Co-advisor's signature..... -.....:

กิตติกรรมประกาศ

วิทยานิพนธ์ฉบับนี้ ได้สำเร็จลุล่วงไปได้ด้วยความกรุณาและความช่วยเหลืออย่างดียิ่งของ อาจารย์ ไชยะ แซ่มซ้อย ซึ่งเป็นอาจารย์ที่ปรึกษา ที่ได้แนะแนวทางปฏิบัติ ให้ความคิดเห็นและคำแนะนำที่เป็นประโยชน์ตลอดจนชี้ให้เห็นถึงข้อบกพร่องและแนวทางแก้ไขต่างๆ นับตั้งแต่เริ่มต้นในการทำวิทยานิพนธ์จนกระทั่งเสร็จสมบูรณ์

นอกจากนั้น ผู้วิจัยขอขอบพระคุณคณะกรรมการสอบวิทยานิพนธ์ ซึ่งประกอบด้วย ผู้ช่วยศาสตราจารย์ ประสิทธิ์ พิทยพัฒน์ อคิตอาจารย์ประจำภาควิชาวิศวกรรมไฟฟ้า จุฬาลงกรณ์มหาวิทยาลัย และ รองศาสตราจารย์ ดร. บัณฑิต เอื้ออาภรณ์ อาจารย์ประจำภาควิชาวิศวกรรมไฟฟ้า จุฬาลงกรณ์มหาวิทยาลัย ที่ได้กรุณาตรวจสอบแก้ไขและให้คำแนะนำในการทำวิทยานิพนธ์จนสำเร็จลุล่วงด้วยดี

ท้ายนี้ ผู้วิจัยใคร่ขอกราบขอบพระคุณบิดา - มารดา ที่ได้ให้กำลังใจเสมอมา และขอขอบคุณพี่ๆ เพื่อนๆ ที่อยู่เบื้องหลังความสำเร็จของวิทยานิพนธ์ฉบับนี้

สุวิษญาน์ อินนัตดา

เมษายน 2544

สถาบันวิทยบริการ
จุฬาลงกรณ์มหาวิทยาลัย

สารบัญ

	หน้า
บทคัดย่อภาษาไทย	ง
บทคัดย่อภาษาอังกฤษ	จ
กิตติกรรมประกาศ	ฉ
สารบัญตาราง	ฎ
สารบัญภาพ	ฐ

บทที่

1. บทนำ	1
1.1 ประวัติความเป็นมาและแนวเหตุผล	1
1.2 วัตถุประสงค์ของวิทยานิพนธ์	1
1.3 ขอบเขตวิทยานิพนธ์	2
1.4 ประโยชน์ที่คาดว่าจะได้รับ	2
1.5 ขั้นตอนและวิธีดำเนินงาน	2
1.6 เนื้อหาของวิทยานิพนธ์	3
2. ทฤษฎีที่เกี่ยวข้องกับไฟแสงสว่างถนน	4
2.1 นิยามที่เกี่ยวข้อง	4
ความสว่าง	4
ความส่องสว่าง	4
ความเปรียบต่างของความส่องสว่าง	4
ความส่องสว่างเฉลี่ยบนถนน	5
ความสม่ำเสมอรวม	5
ความสม่ำเสมอตามแนวยาว	6
Disability Glare	6
Discomfort Glare	6
2.2 โคมไฟถนน	8
2.2.1 การกำหนดระนาบทางแสงของโคมไฟถนน	8
2.2.2 การแสดงค่าความเข้มส่องสว่างของโคมไฟ	8
1) ตารางความเข้มส่องสว่าง	8
2) เส้นโค้งความเข้มแสงเท่า	9
3) เส้นโค้งโพลาร์	12

2.2.3	พื้นที่ให้แสง	14
2.2.4	การจัดประเภทของดวงโคม	14
2.3	การติดตั้งไฟถนน	18
2.3.1	รูปแบบการติดตั้งเสาไฟ	18
2.4	ประเภทของถนนและมาตรฐานของแสงสว่างของไฟถนน	19
2.4.1	มาตรฐานของแสงสว่างของไฟถนนตามมาตรฐาน CIE	19
2.4.2	มาตรฐานของแสงสว่างของไฟถนนของประเทศไทย	21
	การทางพิเศษแห่งประเทศไทย	21
	กรมทางหลวง	21
	การไฟฟ้านครหลวง	21
2.5	การแบ่งประเภทของผิวถนน	22
2.5.1	ระดับความขรุขระของถนน	22
2.5.2	ระดับของการสะท้อนแสงแบบ specular	22
3.	การคำนวณไฟแสงสว่างถนน	25
3.1	การคำนวณค่าความสว่างและค่าความส่องสว่าง	25
3.1.1	ระบบเสาธรรมดา (กรณีทางตรง)	25
3.1.2	ระบบเสาธรรมดา (กรณีทางโค้ง)	29
3.1.3	ระบบเสาธรรมดา (กรณีถนน Ramp Up และ Ramp Down)	31
3.1.4	ระบบเสาสูง	33
3.1.4.1	ลักษณะการติดตั้งโคม	33
3.1.4.2	กรณีที่มีมุมหันเป็นศูนย์	33
3.1.4.3	กรณีที่มีมุมหันไม่เป็นศูนย์	34
3.1.5	ระบบเสาสูง (กรณีถนน Ramp Up และ Ramp Down)	34
3.2	คุณลักษณะความส่องสว่าง	35
3.3	การคำนวณระดับแสงจ้า	36
	การคำนวณ Disability Glare	36
	การคำนวณหาค่า Veiling Luminance	38
	การคำนวณ Discomfort Glare	38
3.4	รายละเอียดพื้นที่	39
	พื้นที่ที่ต้องการ	39
	ตำแหน่งจุดสังเกต	39

4. โปรแกรมประเมินคุณภาพความสว่างและความส่องสว่างไฟถนน	40
4.1 ส่วนรับข้อมูล	40
4.1.1 ระบบเสาธรรมดา	41
4.1.2 ระบบเสาสูง	43
4.2 ส่วนประมวลผล	46
4.2.1 ส่วนจัดเก็บข้อมูล	46
4.2.2 ส่วนคำนวณผลลัพธ์	46
4.2.2.1 ส่วนคำนวณของระบบเสาธรรมดา	47
4.2.2.2 ส่วนคำนวณของระบบเสาสูง	49
4.2.2.3 ส่วนคำนวณแสงจ้า	51
4.3 ส่วนแสดงผล	52
4.3.1 ตารางแสดงค่าความสว่าง	52
4.3.1.1 กรณีทางตรง	52
4.3.1.2 กรณีทางโค้ง	52
4.3.2 ตารางแสดงค่าความส่องสว่าง	53
4.3.2.1 กรณีทางตรง	53
4.3.2.2 กรณีทางโค้ง	53
4.3.3 ภาพแรงเงาของความสว่าง	54
4.3.3.1 กรณีทางตรง	54
4.3.3.2 กรณีทางโค้ง	54
4.3.4 ภาพแรงเงาของความส่องสว่าง	55
4.3.4.1 กรณีทางตรง	55
4.3.4.2 กรณีทางโค้ง	55
4.3.5 ภาพลายเส้นของความสว่าง	56
4.3.5.1 กรณีทางตรง	56
4.3.5.2 กรณีทางโค้ง	56
4.3.6 ภาพลายเส้นของความส่องสว่าง	57
4.3.6.1 กรณีทางตรง	57
4.3.6.2 กรณีทางโค้ง	57

4.3.7 ภาพมุมสูงของความสว่าง	58
4.3.7.1 กรณีทางตรง	58
4.3.7.2 กรณีทางโค้ง	58
4.3.8 ภาพมุมสูงของความส่องสว่าง	59
4.3.8.1 กรณีทางตรง	59
4.3.8.2 กรณีทางโค้ง	59
4.3.9 ภาพแรงเงาและลายเส้นของความสว่าง	60
4.3.9.1 กรณีทางตรง	60
4.3.9.2 กรณีทางโค้ง	60
4.3.10 ภาพแรงเงาและลายเส้นของความส่องสว่าง	61
4.3.10.1 กรณีทางตรง	61
4.3.10.2 กรณีทางโค้ง	61
4.3.11 ภาพ 3 มิติของความสว่าง	62
4.3.11.1 กรณีทางตรง	62
4.3.11.2 กรณีทางโค้ง	62
4.3.12 ภาพ 3 มิติของความส่องสว่าง	63
4.3.12.1 กรณีทางตรง	63
4.3.12.2 กรณีทางโค้ง	63
5. ตัวอย่างการประเมินคุณภาพการส่องสว่าง	64
5.1 กรณีที่ 1 ตัวอย่างการให้แสงสว่างถนนตรง	64
5.2 กรณีที่ 2 เปรียบเทียบความสว่างและความส่องสว่างของถนน	71
ที่มีลักษณะการติดตั้งโคมต่างกัน	
5.3 กรณีที่ 3 เปรียบเทียบความสว่างและความส่องสว่างของถนนเอียง	72
5.4 กรณีที่ 4 ตัวอย่างการให้แสงสว่างถนนโค้ง	74
5.5 กรณีที่ 5 เปรียบเทียบชนิดของถนน	81
5.6 กรณีที่ 6 เปรียบเทียบการติดตั้งในระบบเสาธรรมดาและระบบเสาสูง	83
6. สรุปและข้อเสนอแนะ	89
6.1 สรุปผลการดำเนินงาน	89
6.2 ข้อเสนอแนะ	90

รายการอ้างอิง	91
ภาคผนวก	
ก. ตาราง I1	93
ตาราง I2	94
ข. ROADSURFACE STANDARD C1	95
ROADSURFACE STANDARD C2	96
ROADSURFACE STANDARD R1	97
ROADSURFACE STANDARD R2	98
ROADSURFACE STANDARD R3	99
ROADSURFACE STANDARD R4	100
ROADSURFACE STANDARD N1	101
ROADSURFACE STANDARD N2	102
ROADSURFACE STANDARD N3	103
ROADSURFACE STANDARD N4	104
ROADSURFACE STANDARD W1	105
ROADSURFACE STANDARD W2	106
ROADSURFACE STANDARD W3	107
ROADSURFACE STANDARD W4	108
ประวัติผู้เขียน	109

สถาบันวิทยบริการ
จุฬาลงกรณ์มหาวิทยาลัย

สารบัญตาราง

ตารางที่		หน้า
2-1	ขนาดพิกัดที่ใช้จัดประเภทของโคมไฟถนน	17
2-2	ความส่องสว่างของไฟถนนตามมาตรฐาน CIE	20
2-3	การแบ่งประเภทของถนนมาตรฐาน CIE	20
2-4	แสดงความสว่างเฉลี่ยต่ำสุดตามประเภทของถนน	21
2-5	การแบ่งประเภทของผิวถนนแห้งแบบ R-Classification	22
2-6	การแบ่งประเภทของผิวถนนแห้งแบบ N-Classification	22
2-7	การแบ่ง class ของผิวถนน	23
2-8	การแบ่งประเภทของผิวถนนแบบ C-Classification	23
2-9	การแบ่งประเภทของผิวถนนเปียกแบบ W-Classification	24
5-1	ความสว่างของถนนตรง	65
5-2	ความส่องสว่างของถนนตรง	65
5-3	ความสม่ำเสมอของความสว่างถนนตรง	63
5-4	ความสม่ำเสมอของความส่องสว่างถนนตรง	65
5-5	การเปรียบเทียบแสงสว่างบนถนนที่มีลักษณะการติดตั้งโคมแตกต่างกัน	73
5-6	การเปรียบเทียบแสงสว่างบนถนนเอียง +5°	73
5-7	การเปรียบเทียบแสงสว่างบนถนนเอียง -5°	73
5-8	ความสว่างของถนนโค้ง	75
5-9	ความส่องสว่างของถนนโค้ง	75
5-10	ความสม่ำเสมอของความสว่างถนนโค้ง	75
5-11	ความสม่ำเสมอของความส่องสว่างถนนโค้ง	75
5-12	การเปรียบเทียบแสงสว่างบนถนนที่มีชนิดถนนแตกต่างกัน	82
5-13	ข้อมูลการติดตั้งโคมระบบเสาสูง	83
5-14	การเปรียบเทียบความสว่างและความส่องสว่างทั้ง 2 ระบบ	83

สารบัญญภาพ

หน้า

รูปที่

2-1	ความสัมพันธ์ระหว่างค่าความสม่ำเสมอรวมกับความส่องสว่างเฉลี่ย	5
2-2	ความสัมพันธ์ระหว่างค่า Discomfort Glare กับความส่องสว่างเฉลี่ย	7
2-3	การกระจายแสงในระบบ C- γ	8
2-4	ตารางความเข้มส่องสว่างของโคมไฟ หน่วยเป็น cd / 1000 ลูเมน	10
2-5	แผนภูมิเส้นโค้งความเข้มแสงเท่าของโคมไฟ	11
2-6	เส้นโค้งความเข้มแสงเท่าของโคมไฟถนนที่เขียนลงบนผิวถนน	11
2-7	ระนาบที่ใช้แสดงเส้นโค้งโพลาร์ของดวงโคมไฟถนน	12
2-8	การแปลงการกระจายแสงบนผิวกรวยหลักลงบนระนาบธรรมดา	13
2-9	ตัวอย่างข้อมูลเส้นโค้งโคมไฟโพลาร์ของโคมไฟถนน	14
2-10	นิยามของ Throw และ Spread	14
2-11	มุมที่ใช้ระบุ Throw และ Spread	15
2-12	การคำนวณหาขนาดมุม γ_T จากกราฟเส้นโค้งโพลาร์	15
2-13	การหาค่ามุม γ_S เพื่อระบุ Spread	16
2-14	การจัดประเภทโคมไฟถนน ด้วยตัวแปร Throw และ Spread	17
2-15	ลักษณะการติดตั้งไฟถนน	17
3-1	ตำแหน่งของโคม ผู้สังเกต และจุดที่พิจารณาบนผิวถนน	25
3-2	การกำหนดค่ามุมของ แนวนองกับแนวระดับ	26
3-3	การคำนวณมุม $\gamma_1, \gamma_2, \beta$	27
3-4	การคำนวณมุม C	28
3-5	จุดที่ต้องคำนวณภายในพื้นที่ที่ต้องการ	29
3-6	รูปความสัมพันธ์ระหว่าง 2 ระบบ	30
3-7	การคำนวณระยะ R และระยะ S	30
3-8	ระนาบบนพื้นเอียง	31
3-9	ระนาบเอียงมองเสมือนพื้นราบ	32
3-10	การคำนวณมุมต่างๆ	32
3-11	การปรับตั้งโคม โดยอาศัยมุมเล็ง (δ) และมุมหัน (τ)	33
3-12	การคำนวณมุม C และมุม γ ในกรณีมุมหันไม่เท่ากับศูนย์	34

3-13	การคำนวณค่า Lz'	35
3-14	ช่วงมุมที่จะพิจารณาในการคำนวณ Disability Glare	36
3-15	การคำนวณมุม C และมุม γ	37
3-16	จุดที่ต้องการคำนวณภายในพื้นที่ที่ต้องการ	39
4-1	หน้าจอแรกของโปรแกรม	40
4-2	Pole Configuration (page 1)	41
4-3	Pole Configuration (page 2)	41
4-4	หน้าจอ Input Data ระบบเสาธรรมดา	42
4-5	หน้าจอ Input Data ระบบเสาสูง (กรณีทางตรง)	43
4-6	ข้อมูลที่ใช้ป้อนในหน้าจอ Input Data of Luminance (กรณีทางตรง)	43
4-7	หน้าจอ Input Data of Luminaire ของระบบเสาสูง (กรณีทางตรง)	44
4-8	หน้าจอ Input Data ระบบเสาสูง (กรณีทางโค้ง)	44
4-9	ข้อมูลที่ใช้ป้อนในหน้าจอ Input Data of Luminaire (กรณีทางโค้ง)	45
4-10	หน้าจอ Input Data of Luminaire ของระบบเสาสูง (กรณีทางโค้ง)	45
4-11	แผนภาพแสดงการคำนวณความส่องสว่างของระบบเสาธรรมดา	47
4-11	แผนภาพแสดงการคำนวณความส่องสว่างของระบบเสาธรรมดา (ต่อ)	48
4-12	แผนภาพแสดงการคำนวณความส่องสว่างของระบบเสาสูง	49
4-12	แผนภาพแสดงการคำนวณความส่องสว่างของระบบเสาสูง (ต่อ)	50
4-13	แผนภาพแสดงการคำนวณ Glare	51
4-14	หน้าจอแสดงตารางแสดงค่าความสว่างถนนตรง	52
4-15	หน้าจอแสดงตารางแสดงค่าความสว่างถนนโค้ง	52
4-16	หน้าจอแสดงตารางแสดงค่าความส่องสว่างถนนตรง	53
4-17	หน้าจอแสดงตารางแสดงค่าความส่องสว่างถนนโค้ง	53
4-18	หน้าจอแสดงภาพแรงค่าความสว่างถนนตรง	54
4-19	หน้าจอแสดงภาพแรงค่าความสว่างถนนโค้ง	54
4-20	หน้าจอแสดงภาพแรงค่าความส่องสว่างถนนตรง	55
4-21	หน้าจอแสดงภาพแรงค่าความส่องสว่างถนนโค้ง	55
4-22	หน้าจอแสดงภาพลายเส้นค่าความสว่างถนนตรง	56
4-23	หน้าจอแสดงภาพลายเส้นค่าความสว่างถนนโค้ง	56

4-24	หน้าจอแสดงภาพลายเส้นค่าความส่องสว่างถนนตรง	57
4-25	หน้าจอแสดงภาพลายเส้นค่าความส่องสว่างถนนโค้ง	57
4-26	หน้าจอแสดงภาพมุมมองสูงค่าความส่องสว่างถนนตรง	58
4-27	หน้าจอแสดงภาพมุมมองสูงค่าความส่องสว่างถนนโค้ง	58
4-28	หน้าจอแสดงภาพมุมมองสูงค่าความส่องสว่างถนนตรง	59
4-29	หน้าจอแสดงภาพมุมมองสูงค่าความส่องสว่างถนนโค้ง	59
4-30	หน้าจอแสดงภาพแรงเงาและภาพลายเส้นค่าความส่องสว่างถนนตรง	60
4-31	หน้าจอแสดงภาพแรงเงาและภาพลายเส้นค่าความส่องสว่างถนนโค้ง	60
4-32	หน้าจอแสดงภาพแรงเงาและภาพลายเส้นค่าความส่องสว่างถนนตรง	61
4-33	หน้าจอแสดงภาพแรงเงาและภาพลายเส้นค่าความส่องสว่างถนนโค้ง	61
4-34	หน้าจอแสดงภาพ 3 มิติ ค่าความส่องสว่างถนนตรง	62
4-35	หน้าจอแสดงภาพ 3 มิติ ค่าความส่องสว่างถนนโค้ง	62
4-36	หน้าจอแสดงภาพ 3 มิติ ค่าความส่องสว่างถนนตรง	63
4-37	หน้าจอแสดงภาพ 3 มิติ ค่าความส่องสว่างถนนโค้ง	63
5-1	ลักษณะพื้นที่ที่ทดสอบ	64
5-2	ภาพลายเส้นของความสว่าง	66
5-3	ภาพลายเส้นของความส่องสว่าง	66
5-4	ภาพ 3 มิติ ของความสว่าง	67
5-5	ภาพ 3 มิติ ของความส่องสว่าง	67
5-6	ภาพแรงเงาของความสว่าง	68
5-7	ภาพแรงเงาของความส่องสว่าง	68
5-8	ภาพ perspective ของความสว่าง	69
5-9	ภาพ perspective ของความส่องสว่าง	69
5-10	ภาพ perspective และลายเส้นของความสว่าง	70
5-11	ภาพ perspective และลายเส้นของความส่องสว่าง	70
5-12	ลักษณะพื้นที่ที่ทดสอบของถนนโค้ง	74
5-13	ภาพลายเส้นของความสว่าง	76
5-14	ภาพลายเส้นของความส่องสว่าง	76
5-15	ภาพ 3 มิติ ของความสว่าง	77

5-16	ภาพ 3 มิติ ชิงความส่องสว่าง	77
5-17	ภาพแรงเงาของความสว่าง	78
5-18	ภาพแรงเงาของความส่องสว่าง	78
5-19	ภาพ perspective ของความสว่าง	79
5-20	ภาพ perspective ของความส่องสว่าง	79
5-21	ภาพ perspective และลายเส้น ของความสว่าง	80
5-22	ภาพ perspective และลายเส้น ของความส่องสว่าง	80
5-23	ภาพลายเส้นของความสว่างระบบเสาธรรมดา	84
5-24	ภาพลายเส้นของความสว่างระบบเสาสูง	84
5-25	ภาพลายเส้นของความส่องสว่างระบบเสาธรรมดา	85
5-26	ภาพลายเส้นของความส่องสว่างระบบเสาสูง	85
5-27	ภาพ perspective และลายเส้นของความสว่างระบบเสาธรรมดา	86
5-28	ภาพ perspective และลายเส้นของความสว่างระบบเสาสูง	86
5-29	ภาพ perspective และลายเส้นของความส่องสว่างระบบเสาธรรมดา	87
5-30	ภาพ perspective และลายเส้นของความส่องสว่างระบบเสาสูง	87

สถาบันวิทยบริการ
จุฬาลงกรณ์มหาวิทยาลัย

บทที่ 1

บทนำ

1.1 ประวัติความเป็นมาและแนวเหตุผล

ในปัจจุบันนี้เมืองใหญ่ๆ โดยมากจะมีการจราจรคับคั่งในเวลาพลบค่ำซึ่งเป็นเวลาที่ผู้คนส่วนใหญ่ต่างเลิกงานและเดินทางกลับบ้าน คุณภาพของแสงไฟถนนจึงมีความสำคัญมาก ไฟถนนที่ดีจะไม่ทำให้สายตาเมื่อยล้าเร็ว เพิ่มความสะดวกปลอดภัยบนท้องถนน เพิ่มความคล่องตัวของการจราจรและยังช่วยลดอาชญากรรมที่อาจเกิดขึ้นบนท้องถนนได้

การออกแบบไฟถนนในประเทศไทยเริ่มใช้การคำนวณค่าความส่องสว่าง (Luminance) บนผิวถนนมาพิจารณาในการออกแบบแทนค่าความสว่าง (Illuminance) แล้ว เนื่องจากการออกแบบที่คำนึงถึงปริมาณแสงที่ส่องจากโคมไฟแล้วสะท้อนผิวถนนเข้าสู่ตาของผู้ขับขี่รถยนต์ และปริมาณแสงที่ส่องจากโคมไฟเข้าสู่ตาโดยตรงอีกส่วนหนึ่ง ซึ่งปริมาณทั้งสองส่วนนี้มีผลต่อการมองเห็นของผู้ขับขี่รถยนต์ ซึ่ง การพิจารณาดังกล่าวจะต้องใช้เวลาในการคำนวณมาก

ในวิทยานิพนธ์นี้ได้เสนอวิธีการประเมินคุณภาพ โดยเขียนโปรแกรมเพื่อช่วยในการออกแบบโดยใช้วิธีคิดที่ละเอียด ซึ่งมีการแสดงผลในรูปของความสว่างและความส่องสว่างตามจุดที่กำหนด ซึ่งจะให้ค่าที่ถูกต้องแม่นยำ และรวดเร็ว รวมถึงสามารถแสดงเส้นทางเดินของความสว่างและความส่องสว่างบนถนนอีกด้วย เพื่อให้สามารถพิจารณาความสม่ำเสมอของแสงบนผิวถนนที่ออกแบบได้ด้วย

1.2 วัตถุประสงค์ของวิทยานิพนธ์

- 1) เพื่อศึกษาวิธีการประเมินคุณภาพของการให้แสงสว่างของไฟถนน
- 2) เพื่อพัฒนาโปรแกรมคอมพิวเตอร์ที่สามารถวิเคราะห์ความส่องสว่างและระดับแสงจ้าของไฟถนนซึ่งมีผลต่อการมองเห็นของผู้ขับขี่รถยนต์บนถนน

1.3 ขอบเขตวิทยานิพนธ์

- 1) ศึกษาทฤษฎีที่เกี่ยวข้องกับไฟถนน
- 2) พัฒนาโปรแกรมคอมพิวเตอร์ เพื่อช่วยในการวิเคราะห์ความสว่าง ความส่องสว่าง ความสม่ำเสมอ ความสม่ำเสมอตามแนวยาวของถนน และระดับแสงจ้าของไฟถนน

1.4 ประโยชน์ที่คาดว่าจะได้รับ

- 1) สามารถพัฒนาโปรแกรม เพื่อช่วยในการออกแบบไฟถนน ให้คล่องตัวในการใช้งาน ประหยัดเวลา โดยค่าที่คำนวณได้มีความถูกต้องแม่นยำสูง
- 2) ทำให้ทราบถึงวิธีการออกแบบไฟถนนซึ่งเป็นมาตรฐานสากล และนำมาเป็นแนวทางในการออกแบบไฟถนนในประเทศต่อไป
- 3) เป็นการเสนอแนะให้ผู้ออกแบบ หันมาสนใจค่าความส่องสว่างและระดับแสงจ้า ซึ่งมีผลต่อการมองเห็นของผู้ขับขี่รถยนต์บนถนนโดยตรง

1.5 ขั้นตอนและวิธีการดำเนินงาน

- 1) ศึกษาวิธีการคำนวณการออกแบบไฟแสงสว่างของถนนตามมาตรฐาน CIE
- 2) ศึกษาข้อมูลที่จำเป็นเพื่อช่วยในการออกแบบไฟถนน
- 3) ศึกษาโปรแกรมภาษาแคลไฟ เพื่อใช้ในการพัฒนาโปรแกรมคอมพิวเตอร์
- 4) ออกแบบโครงสร้างของโปรแกรมคอมพิวเตอร์
- 5) พัฒนาโปรแกรมในส่วนรับข้อมูลและส่วนแสดงผล
- 6) พัฒนาโปรแกรมในส่วนของการคำนวณและการประมวลผล
- 7) ทดสอบและปรับปรุงโปรแกรม
- 8) สรุปและประเมินผลการทำงาน
- 9) เขียนวิทยานิพนธ์

1.6 เนื้อหาของวิทยานิพนธ์

เนื้อหาของวิทยานิพนธ์แต่ละบทมีดังนี้

บทที่ 2 กล่าวถึงทฤษฎีที่เกี่ยวข้องกับไฟแสงสว่างถนน

บทที่ 3 กล่าวถึงการคำนวณไฟแสงสว่างถนน โดยใช้วิธีจุดต่อจุด(Point-by-Point Method) ทั้งระบบเสาธรรมดาและระบบเสาสูง นอกจากนี้ยังสามารถคำนวณได้ทั้งถนนตรงและถนนโค้ง

บทที่ 4 กล่าวถึงการประเมินคุณภาพความสว่างและความส่องสว่างไฟถนน โดยใช้โปรแกรมคอมพิวเตอร์ ซึ่งโปรแกรมที่พัฒนาขึ้นจะแยกออกเป็นส่วนรับข้อมูล ส่วนประมวลผล และส่วนแสดงผล

บทที่ 5 กล่าวถึงตัวอย่างการประเมินคุณภาพการส่องสว่าง โดยมีการเปรียบเทียบความสว่างและความส่องสว่างของถนนที่มีลักษณะการติดตั้งโคมต่างกัน การเปรียบเทียบความสว่างและความส่องสว่างของถนนเอียง การเปรียบเทียบชนิดของถนน และการเปรียบเทียบการติดตั้งในระบบเสาธรรมดาและระบบเสาสูง

บทที่ 6 เป็นบทสรุปและข้อเสนอแนะ

สถาบันวิทยบริการ
จุฬาลงกรณ์มหาวิทยาลัย

บทที่ 2

ทฤษฎีที่เกี่ยวข้องกับไฟแสงสว่างถนน

2.1 นิยามที่เกี่ยวข้อง

ความสว่าง (Illuminance , E)

ความสว่าง คือ ความหนาแน่นของฟลักซ์ส่องสว่างที่ตกกระทบบนพื้นที่ย่อยใดๆ

$$E = \frac{dF}{dA} \quad (2.1)$$

ความส่องสว่าง (Luminance , L)

ความส่องสว่าง คือ อัตราส่วนของความเข้มส่องสว่างต่อพื้นที่ของแหล่งกำเนิดแสงที่ตั้งฉากกับความเข้มส่องสว่าง

$$L = \frac{I}{A_{\perp}} \quad (2.2)$$

ความเปรียบต่างของความส่องสว่าง (Luminance Contrast , C)

ความเปรียบต่างของความส่องสว่าง คือ ความแตกต่างของค่าความส่องสว่างของวัตถุกับบริเวณรอบข้างวัตถุเปรียบเทียบกับความส่องสว่างของบริเวณรอบข้างวัตถุ

$$C = \frac{L_o - L_b}{L_b} \quad (2.3)$$

โดย L_o = ความส่องสว่างของวัตถุ

L_b = ความส่องสว่างของบริเวณรอบข้างวัตถุ

เมื่อวัตถุมืดกว่าบริเวณรอบข้าง จะทำให้เห็นวัตถุเป็นเงาค่า ซึ่งค่า C จะเป็นค่าลบ แต่เมื่อวัตถุสว่างกว่าบริเวณรอบข้าง ค่า C จะเป็นค่าบวก แต่โดยทั่วไปแล้ววัตถุจะมีความส่องสว่างต่ำกว่าบริเวณรอบข้าง เพราะฉะนั้น ค่า C มักจะเป็นค่าลบ

ความส่องสว่างเฉลี่ยบนถนน (Average Luminance , L_{av})

ความส่องสว่างเฉลี่ยบนถนน คือ ค่าเฉลี่ยของความส่องสว่างของถนนในบริเวณที่พิจารณา ถ้าระดับความส่องสว่างเฉลี่ยของผิวถนนมีค่าสูงขึ้น จะทำให้การมองเห็นดีขึ้น

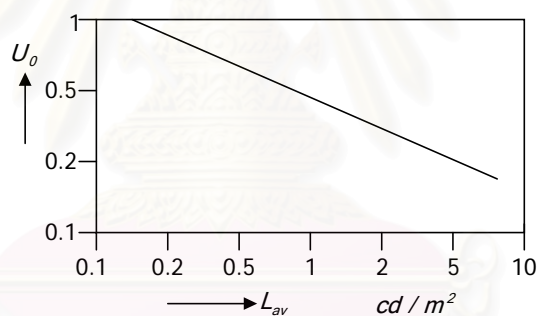
$$L_{av} = \frac{L_{sum}}{N} \quad (2.4)$$

โดย L_{sum} คือ ผลรวมของความส่องสว่างทุกจุด
 N คือ จำนวนจุดที่พิจารณา

ความสม่ำเสมอรวม (Overall Uniformity , U_0)

$$U_0 = \frac{L_{min}}{L_{av}} \quad (2.5)$$

โดย L_{min} คือ ค่าความส่องสว่างต่ำสุด
 L_{av} คือ ค่าความส่องสว่างเฉลี่ย



รูปที่ 2-1 ความสัมพันธ์ระหว่างค่าความสม่ำเสมอรวม(U_0)กับความส่องสว่างเฉลี่ย(L_{av})

ถ้า ค่าความสม่ำเสมอรวมต่ำ การสังเกตเห็นวัตถุบนผิวถนนจะเป็นไปได้ยาก

จากการทดลองให้ผู้ขับขี่รถยนต์ที่มีอายุระหว่าง 16-30 ปี สังเกตวัตถุขนาด 20×20 เซนติเมตร ที่วางไว้บนผิวถนนบริเวณที่มีค่าความส่องสว่างของถนนต่ำที่สุด และให้วัตถุมี Luminance Contrast เท่ากับ 0.25 เมื่อผู้ขับขี่รถยนต์อยู่ห่างจากวัตถุเป็นระยะทาง 60 ถึง 100 เมตร จะได้ความสัมพันธ์ระหว่างค่า U_0 กับ L_{av} ที่ทำให้โอกาสที่ผู้ขับขี่รถยนต์สังเกตเห็นวัตถุเป็น 75 % ดังรูปที่ 2-1

จากรูปที่ 2-1 เมื่อ $U_0 = 0.4$ ค่า $L_{av} = 1.5 \text{ cd/m}^2$

แต่ $U_0 = 0.2$ ค่า $L_{av} = 5 \text{ cd/m}^2$

จะเห็นว่า เมื่อ U_0 ลดลงครึ่งหนึ่งจะต้องเพิ่มค่า L_{av} ถึง 3.33 เท่าจึงจะสังเกตเห็นวัตถุเหมือนเดิม

ความสม่ำเสมอตามแนวยาว (Longitudinal Uniformity, U_l)

$$U_l = \frac{L_{min}}{L_{max}} \quad (2.6)$$

โดย L_{min} คือ ค่าความส่องสว่างต่ำสุดของช่องวิ่ง
 L_{max} คือ ค่าความส่องสว่างต่ำสุดของช่องวิ่ง

ค่า U_l จะทำให้ผู้ขับขี่รถยนต์มีความสบายตาในขณะที่ขับไปตามถนน ถ้าค่า U_l มีค่าต่ำ ค่าความส่องสว่างของถนนจะน้อยและมากสลับกันไป คล้ายกับเราขับรถผ่านทางน้ำลาย ซึ่งจะทำให้ตาตายและอาจจะเกิดอุบัติเหตุตามมา

Disability Glare

ในการคำนวณ Disability Glare โดยทั่วไปจะพิจารณาในเทอมของค่า Veiling Luminance (L_{av}) และค่า Threshold Increment (TI) ซึ่งมีหน่วยเป็นเปอร์เซ็นต์

$$L_v = 10 \frac{E_{eye}}{\theta^2} \quad (2.7)$$

$$TI = 65 \frac{L_v}{(L_{av})^{0.8}} \quad (2.8)$$

โดยที่ E_{eye} เป็นค่าความสว่างที่ตา เนื่องจากต้นกำเนิดแสงบนระนาบที่ตั้งฉากกับทิศทางการมอง
 θ เป็นมุมระหว่างแนวมองกับแนวจากตาถึงต้นกำเนิดแสง หน่วยเป็นองศา

Discomfort Glare (G)

คือ แสงจ้าที่ทำให้ความสามารถในการมองเห็นวัตถุลดลง และทำให้ไม่สบายตา จะมากหรือน้อยขึ้นอยู่กับคุณสมบัติของหลอดไฟ โคมไฟ และการติดตั้งโคมไฟ

$$G = 13.84 - 3.31 \log I_{80} + 1.3 \log (I_{80} / I_{88})^{0.5} - 0.08 \log (I_{80} / I_{88}) + 1.29 \log F + C \\ + 0.97 \log L_{av} + 4.41 \log h' - 1.46 \log p \quad (2.9)$$

$$SLI = 13.84 - 3.31 \log I_{80} + 1.3 \log (I_{80} / I_{88})^{0.5} - 0.08 \log (I_{80} / I_{88}) + 1.29 \log F + C \\ G = SLI + 0.97 \log L_{av} + 4.41 \log h' - 1.46 \log p \quad (2.10)$$

โดยที่

I_{80} = absolute luminous intensity (cd) ที่มุม γ เท่ากับ 80° บนระนาบ C เท่ากับ 0°

I_{80} / I_{88} = ratio of luminous intensity (cd) ที่มุม γ เท่ากับ 80° กับ 88° บนระนาบ C เท่ากับ 0°

F = flashed area of luminaires (m^2) ที่มุม γ เท่ากับ 76°

C = colour factor ขึ้นกับชนิดของหลอดไฟ

เช่น Low pressure sodium $C = 0.4$

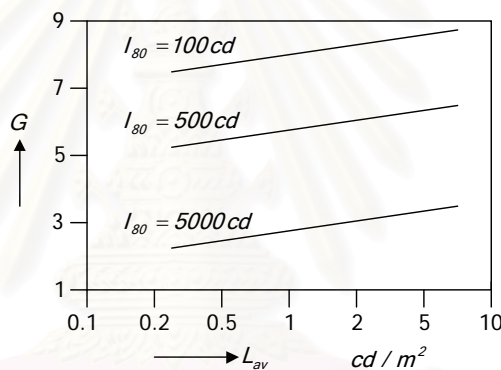
หลอดชนิดอื่นๆ $C = 0$

L_{av} = average road surface luminance (cd/m^2)

h' = height of the lanterns above eye level

P = number of lanterns per km.

SLI = Specific Luminare Index



รูปที่ 2-2 ความสัมพันธ์ระหว่างค่า Discomfort Glare (G) กับความส่องสว่างเฉลี่ย (L_{av})

รูปที่ 2-2 แสดงความสัมพันธ์ระหว่างค่าความสม่ำเสมอรวม (U_0) กับความส่องสว่างเฉลี่ย (L_{av}) เมื่อรูปแบบการติดตั้งดวงโคมเป็นแบบ Single Sided โดยมีค่า I_{80} ต่างๆกัน ค่า $h' = 7.5$ m. , $P = 33$, $F = 0.07$ m^2 และ $I_{80} / I_{88} = 1.75$ ซึ่งให้ความหมายว่า ถ้าค่า G มากขึ้น จะทำให้ผู้สังเกต มีความสบายตามากขึ้นสรุปได้ว่า

$G = 1$ หมายถึง มีแสงจ้ารระดับที่ทนไม่ได้

$G = 3$ หมายถึง มีแสงจ้ารระดับที่รบกวนตา

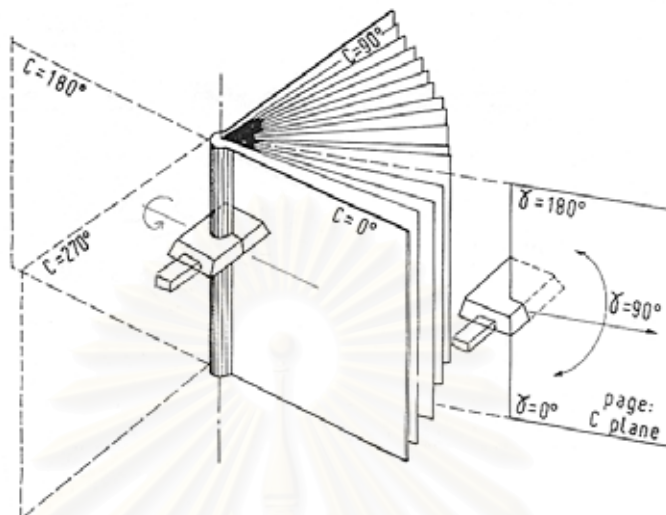
$G = 5$ หมายถึง มีแสงจ้ารระดับที่พอรับได้

$G = 7$ หมายถึง มีแสงจ้ารระดับที่น่าพอใจ

$G = 9$ หมายถึง ไม่รู้สีกว่ามีแสงจ้า

2.2 โคมไฟถนน

2.2.1 การกำหนดระนาบทางแสงของโคมไฟถนน



รูปที่ 2-3 การกระจายแสงในระบบ $C-\gamma$

จุดศูนย์กลางของระบบโคออร์ดิเนตจะอยู่ที่จุดเดียวกับจุดศูนย์กลางแสงของดวงโคม แกนอ้างอิงของระบบ คือ แนวตั้งจากจุดศูนย์กลางแสงของดวงโคมถึงระนาบนอนที่ต้องการแสงสว่าง (ในที่นี้คือพื้นถนน) เป็นแกนอ้างอิงของดวงโคม โดยระนาบตั้งที่ขนานกับแนวถนนจะถูกกำหนดด้วยระนาบที่มีมุม $C = 0^\circ$ และ $C = 180^\circ$ ระนาบตั้งที่ตั้งฉากกับแนวถนนจะถูกกำหนดด้วยระนาบที่มีมุม $C = 90^\circ$ เมื่อระนาบนี้อยู่ทางด้านถนน และระนาบที่มีมุม $C = 270^\circ$ เมื่อระนาบตั้งนี้อยู่ทางด้านทางเดินเท้า มุมที่วัดจากแนวตั้งลงในแต่ละระนาบเหล่านี้ กำหนดด้วยมุม γ โดยแนวตั้งลงมีมุม $\gamma = 0^\circ$ และแนวตั้งขึ้นมีมุม $\gamma = 180^\circ$

2.2.2 การแสดงค่าความเข้มส่องสว่างของโคมไฟ

1) ตารางความเข้มส่องสว่าง

การนำเสนอข้อมูลในลักษณะนี้ เหมาะกับการใช้คอมพิวเตอร์ในการคำนวณสมรรถนะของระบบไฟถนน เพราะเป็นข้อมูลตัวเลขจำนวนมาก ระยะห่างของมุม γ และระนาบ C ในตารางข้อมูลการกระจายความเข้มส่องสว่างจะขึ้นอยู่กับรูปร่างของการกระจายความเข้มส่องสว่าง และวิธีการประมาณในช่วง (Interpolation) ที่ใช้ในการคำนวณ ถ้าการคำนวณสมรรถนะของระบบไฟถนนเป็นไปตามวิธีการที่กำหนดโดย CIE (International Commission on Illumination) ขนาดของมุม γ และระนาบ C จะเป็นไปดังนี้

มุม γ	0° ถึง 30°	เปลี่ยนทีละ	10	องศา	(4 มุม)
	35° ถึง 45°	เปลี่ยนทีละ	5	องศา	(3 มุม)
	47.5° ถึง 105°	เปลี่ยนทีละ	2.5	องศา	(24 มุม)
	120° ถึง 180°	เปลี่ยนทีละ	15	องศา	(5 มุม)
					รวมทั้งหมด 36 มุม

ระนาบ C	0° ถึง 50°	เปลี่ยนทีละ	5	องศา	(11 ระนาบ)
	60° ถึง 120°	เปลี่ยนทีละ	15	องศา	(5 ระนาบ)
	130° ถึง 230°	เปลี่ยนทีละ	5	องศา	(21 ระนาบ)
	240° ถึง 300°	เปลี่ยนทีละ	15	องศา	(5 ระนาบ)
	310° ถึง 355°	เปลี่ยนทีละ	5	องศา	(10 ระนาบ)
					รวมทั้งหมด 52 ระนาบ

จากการแบ่งมุม γ และ C ตามที่กำหนดนี้จะทำให้มีข้อมูลที่จะแสดงในตารางทั้งหมดจำนวน 1872 ค่า ซึ่งเกิดบนระนาบ 52 ระนาบ ในแต่ละระนาบจะวัดที่มุม γ จำนวน 36 มุม

ในกรณีที่การกระจายความเข้มส่องสว่างของโคมไพธอนมีลักษณะสมมาตรระหว่างระนาบ C_{90} ถึง C_{270} และระนาบ C_{270} ถึง C_{90} การนำเสนอข้อมูลจะแสดงเพียงครึ่งซีกเท่านั้น โดยแสดงข้อมูลจากระนาบ C_{270} ถึงระนาบ C_{90} รวมทั้งหมด 27 ระนาบ ระนาบละ 36 ค่า รวมเป็น 972 ค่า

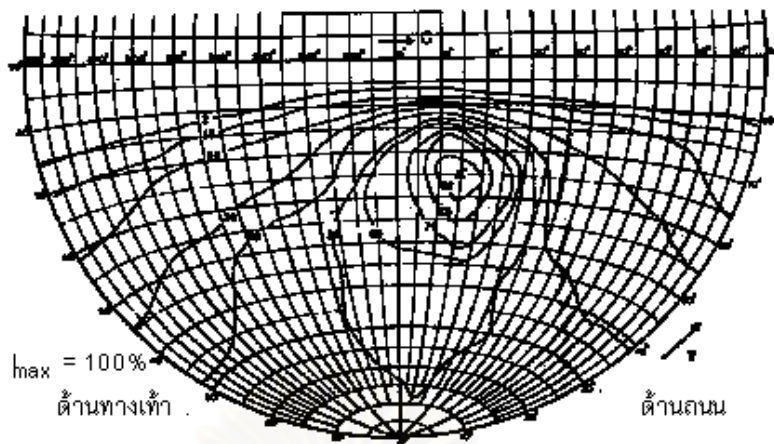
2) เส้นโค้งความเข้มแสงเท่า

วิธีที่จะแสดงการกระจายแสงของโคมไพธอนในลักษณะของกราฟให้เห็นลักษณะการกระจายแสงได้อย่างกระจ่างชัด จะแสดงในรูปของเส้นโค้งความเข้มแสงเท่า เช่นเดียวกับแผนที่แสดงชั้นความสูงของผิวโลก

สำหรับโคมไพธอนที่มีการกระจายแสงแบบสมมาตร จะแสดงเส้นโค้งความเข้มแสงเท่าบนครึ่งทรงกลมซีกเดียวโดยมีจุดศูนย์กลางของแผนภูมิ ($\gamma = 90^\circ$, $C = 0^\circ$ หรือ 180°) แทนแนวถนน ดังแสดงในรูปที่ 2-5

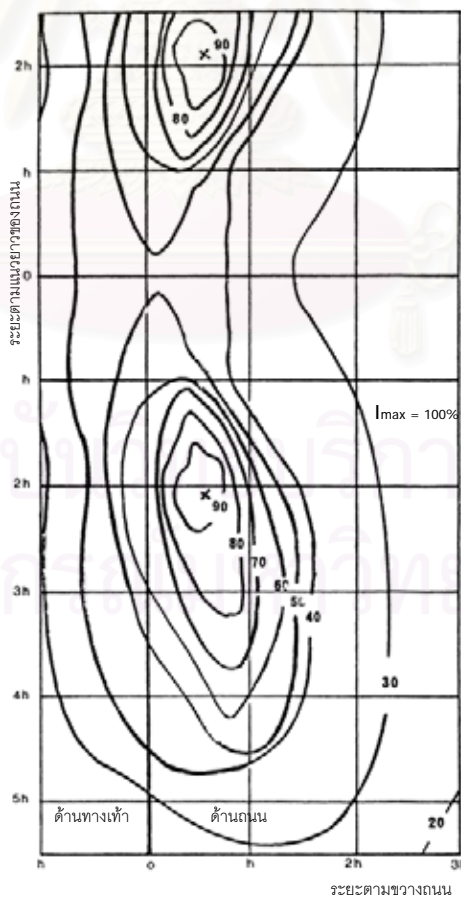
มุม γ (องศา)	ระนาบ C																											
	270°	285°	300°	310°	315°	320°	325°	330°	335°	340°	345°	350°	355°	0°	5°	10°	15°	20°	25°	30°	35°	40°	45°	50°	60°	75°	90°	
0.0	201	201	201	201	201	201	201	201	201	201	201	201	201	201	201	201	201	201	201	201	201	201	201	201	201	201	201	
10.0	187	189	192	194	195	196	197	198	199	200	202	203	205	207	208	209	209	210	210	210	211	210	210	210	210	209	209	209
20.0	170	172	179	182	184	187	190	194	197	201	205	209	213	217	220	223	226	227	226	224	221	220	216	213	206	195	191	
30.0	145	146	154	165	170	176	185	197	210	226	241	255	267	279	289	290	286	277	261	245	233	221	210	200	185	170	166	
35.0	133	133	144	157	164	172	187	205	224	246	267	292	311	331	343	348	330	314	281	255	242	229	206	286	174	157	156	
40.0	122	123	134	148	156	165	182	202	227	255	284	315	344	375	389	389	365	332	270	229	214	212	198	183	165	146	143	
45.0	110	111	119	133	141	149	167	189	220	257	300	350	388	430	437	429	389	350	307	268	230	202	184	168	152	136	131	
47.5	104	104	111	124	131	140	159	183	219	263	309	364	399	436	447	442	400	361	308	263	223	189	172	157	143	130	125	
50.0	97	96	102	115	122	131	151	178	218	267	319	374	409	444	455	449	411	370	307	253	211	178	160	146	133	123	119	
52.5	90	88	94	106	113	121	144	174	216	269	319	375	409	443	454	451	415	377	299	236	192	159	144	131	122	115	113	
55.0	82	80	84	96	103	112	137	170	212	262	313	369	404	440	447	445	411	369	283	214	171	138	126	116	110	107	106	
57.5	74	72	75	86	92	99	125	159	199	249	298	356	391	429	436	429	393	357	265	196	152	119	111	103	100	100	98	
60.0	66	66	67	76	80	87	113	146	185	233	281	337	377	420	422	407	372	338	247	179	135	103	97	93	92	92	90	
62.5	58	58	57	64	68	73	96	126	162	209	255	310	342	377	387	379	342	305	216	152	114	87	83	82	82	81	79	
65.0	51	50	48	53	56	61	80	107	141	185	229	280	309	339	350	347	309	273	187	127	94	73	71	72	73	72	69	
67.5	43	42	39	42	45	47	62	82	114	158	198	248	274	302	306	301	267	233	147	93	73	59	60	60	64	62	60	
70.0	34	32	29	31	32	34	42	53	79	121	159	205	230	258	259	248	213	179	102	59	51	46	48	52	54	54	50	
72.5	24	21	20	21	21	22	25	29	49	79	114	158	179	212	207	196	158	121	66	35	33	34	40	45	45	45	42	
75.0	16	12	11	11	11	11	12	14	20	34	54	89	109	145	136	122	83	59	33	20	20	22	25	28	34	35	33	
77.5	11	6	6	6	6	6	7	7	9	10	18	30	40	65	54	50	31	18	14	10	12	13	15	18	24	27	25	
80.0	9	4	3	3	4	4	5	5	5	6	6	7	10	8	14	11	9	6	6	4	5	6	8	10	15	16	15	
82.5	10	3	2	3	3	4	4	4	4	5	5	5	5	6	5	7	6	5	4	3	2	3	4	4	7	9	8	
85.0	9	3	2	3	3	3	3	3	4	4	4	5	5	5	5	5	5	4	3	2	2	2	2	2	4	4	4	
87.5	6	2	2	2	3	3	3	3	4	4	4	5	5	5	5	5	4	4	3	2	2	1	1	1	2	2	2	
90.0	3	2	2	2	2	3	3	3	4	4	4	4	5	5	5	4	4	4	3	2	2	1	1	1	1	1	1	
92.5	1	2	2	2	2	3	3	4	4	4	4	4	5	0	4	4	3	3	2	2	1	1	1	1	1	1	1	
95.0	1	1	1	2	2	3	3	4	4	4	4	4	4	0	4	4	3	3	2	2	1	1	1	0	1	1	1	
97.5	1	1	1	2	2	3	3	4	4	4	4	4	4	0	4	4	3	3	2	2	1	1	1	0	0	1	1	
100.0	0	0	1	2	2	3	3	4	4	4	4	4	4	0	0	4	3	3	2	2	1	1	0	0	1	1	1	
102.5	0	0	1	1	2	2	2	3	3	3	3	0	0	0	0	3	3	3	2	2	1	1	0	0	1	1	1	
105.0	0	0	0	1	1	1	2	2	2	2	3	0	0	0	0	0	3	2	2	1	1	1	0	0	1	1	1	
120.0	0	0	0	0	0	0	0	0	0	0	0	0	0	0	0	0	0	0	0	0	0	0	0	0	0	0	1	
135.0	0	0	0	0	0	0	0	0	0	0	0	0	0	0	0	0	0	0	0	0	0	0	0	0	0	0	0	
150.0	0	0	0	0	0	0	0	0	0	0	0	0	0	0	0	0	0	0	0	0	0	0	0	0	0	0	0	
165.0	0	0	0	0	0	0	0	0	0	0	0	0	0	0	0	0	0	0	0	0	0	0	0	0	0	0	0	
180.0	0	0	0	0	0	0	0	0	0	0	0	0	0	0	0	0	0	0	0	0	0	0	0	0	0	0	0	

ตารางที่ 2-4 ตัวอย่างข้อมูลการกระจายแสงของโคมไฟถนน



รูปที่ 2-5 แผนภูมิเส้นโค้งความเข้มแสงเท้าของโคมไฟ

ในบางครั้ง เพื่อให้เห็นภาพการกระจายความเข้มส่องสว่างของโคมไฟถนน บนพื้นถนนได้ชัดเจนยิ่งขึ้น ผู้ผลิตอาจแสดงการกระจายความเข้มส่องสว่างของโคมไฟถนนโดยการเขียนเส้นโค้งความเข้มแสงเท้าลงบนพื้นถนนแทนการเขียนลงบนผิวของครึ่งทรงกลม ดังแสดงในรูปที่ 2-6 ในรูปนี้จุด 0, 0 คือตำแหน่งจุดตกของโคมไฟถนนบนระนาบพื้นถนนและระยะที่ใช้บนแผนภูมินี้จะแสดงในเทอมของความสูงของโคมไฟถนนเหนือระนาบพื้นถนน



รูปที่ 2-6 เส้นโค้งความเข้มแสงเท้าของโคมไฟถนนที่เขียนลงบนผิวถนน

3) เส้นโค้งโพลาร์

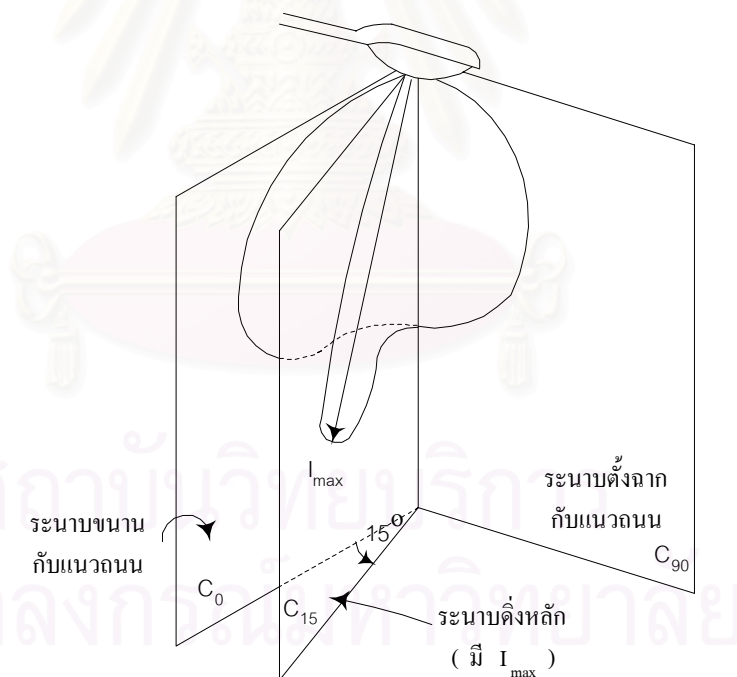
ลักษณะการกระจายแสงที่เด่นของโคมไฟถนน สามารถนำเสนอให้เห็นได้โดยการเขียนการกระจายความเข้มส่องสว่างบนระนาบหลักเป็นเส้นโค้งโพลาร์ ระนาบหลักของโคมไฟถนนจะประกอบไปด้วย

ระนาบดิ่งที่ผ่านแนวความเข้มส่องสว่างสูงสุดซึ่งเรียกว่าระนาบดิ่งหลัก(Principle Vertical Plane) ระนาบนี้จะต้องระนาบมุม C ที่ใช้กำกับระนาบนี้ด้วย (ดังรูปที่ 2-7)

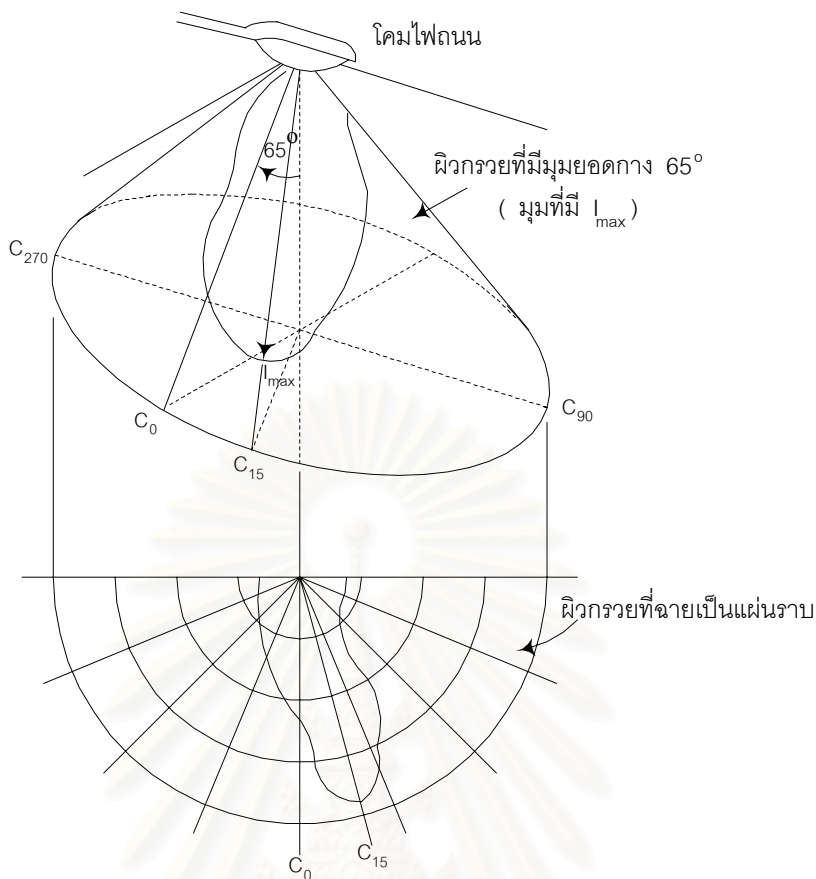
ถ้าระนาบดิ่งหลักไม่ใช่ระนาบที่ $C = 0^\circ$ จะต้องแสดงการกระจายความเข้มส่องสว่างบนระนาบดิ่งที่ขนานแนวถนน (Roadway Vertical Plane ; $C = 0^\circ$) ด้วย เนื่องจากการกระจายความเข้มส่องสว่างในระนาบนี้จะมีผลต่อแสงจ้ำระกายตา (Discomfort Glare) จากระบบไฟถนนด้วย

การกระจายแสงลึกเข้าไปในถนนจากโคมไฟถนน จะดูได้จากการกระจายความเข้มส่องสว่างบนระนาบดิ่งที่ตั้งฉากกับแนวถนน (Transverse Vertical Plane ; $C = 90^\circ$)

เพื่อให้เห็นภาพการกระจายความเข้มส่องสว่างอย่างสมบูรณ์ ให้แสดงเส้นโค้ง โพลาร์ของการกระจายความเข้มส่องสว่างที่วัดบนผิวของกรวยหลัก (Principal Conical Surface) ที่ผ่านแนว I_{max} ด้วย

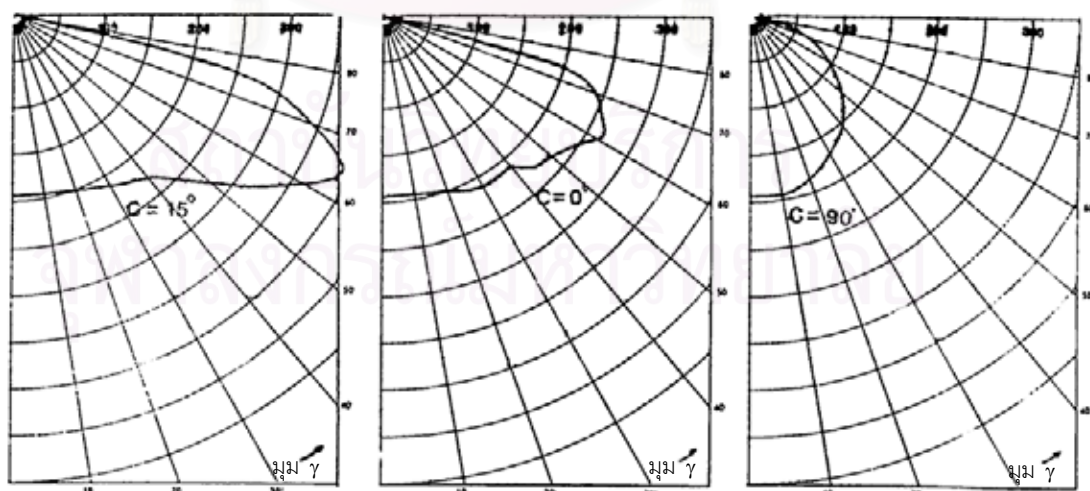


รูปที่ 2-7 ระนาบที่ใช้แสดงเส้นโค้งโพลาร์ของโคมไฟถนน

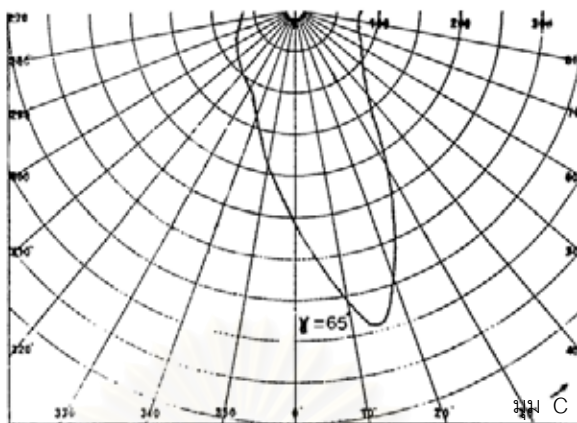


รูปที่ 2-8 การแปลงการกระจายแสงบนผิวกรวยหลักลงบนระนาบธรรมดา

เส้นโค้งโพลาร์บนระนาบดิ่ง 3 ระนาบและบนผิวกรวย 1 อัน ของโคมไฟถนนตัวอย่างหนึ่ง แสดงในรูปที่ 2-9 ถึงแม้ว่าเส้นโค้งโพลาร์จะทำให้มองเห็นการกระจายความเข้มส่องสว่างของโคมไฟถนนได้ชัดเจนแต่ก็ไม่สะดวกต่อการนำไปใช้ในการคำนวณในรายละเอียด โดยเฉพาะอย่างยิ่งในช่วงมุมที่มีการแปรเปลี่ยนของค่าความเข้มส่องสว่างสูง



- ก) ระนาบดิ่งหลัก
(Principal Vertical Plane)
- ข) ระนาบดิ่งที่ขนานกับแนวถนน
(Roadway Vertical Plane)
- ค) ระนาบดิ่งที่ตั้งฉากกับแนวถนน
(Transverse Vertical Plane)



ง) ผิวของกรวยหลัก (Principal Conical Surface)

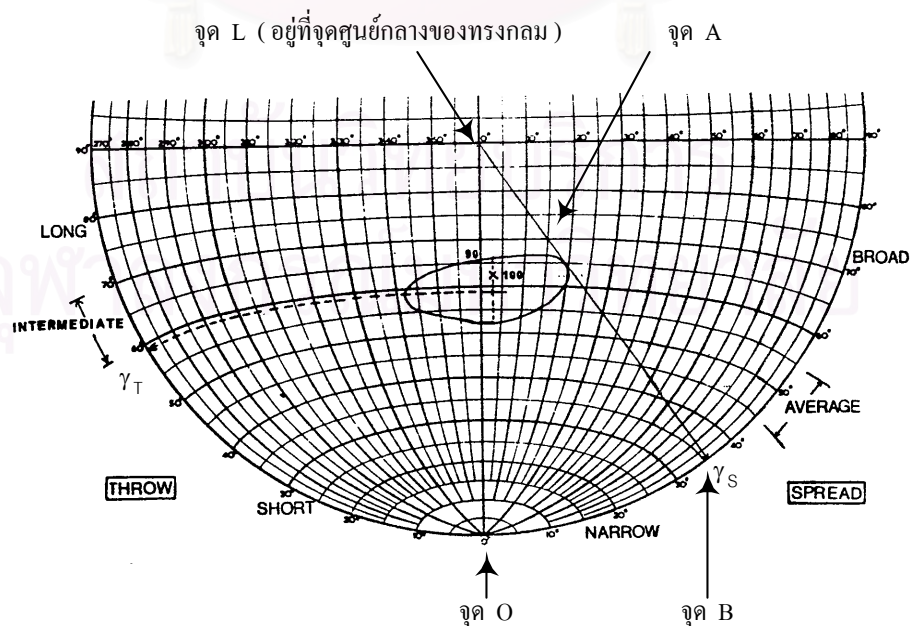
รูปที่ 2-9 ตัวอย่างข้อมูลเส้นโค้งโพลาร์ของโคมไฟถนน

2.2.3 พื้นที่ให้แสง (Flashed Area)

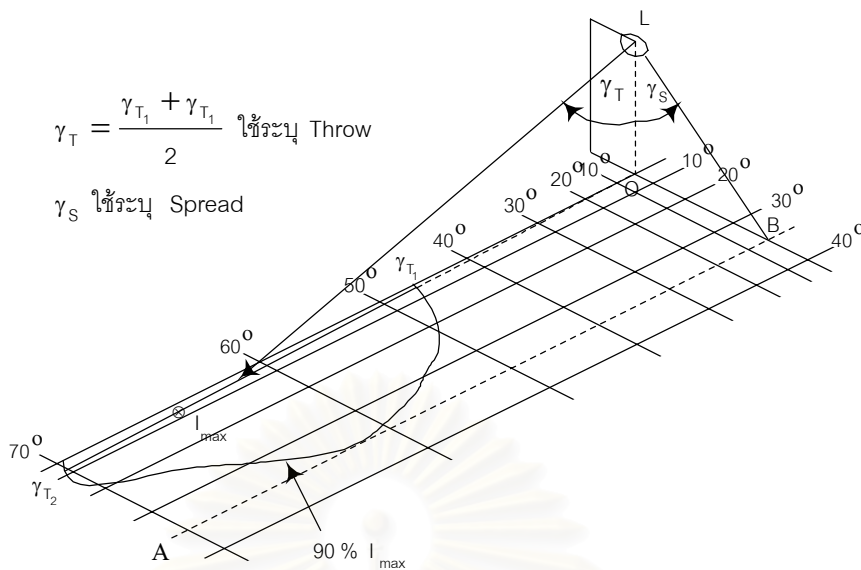
ในการคำนวณ Discomfort Glare จะต้องใช้ค่า F (Flashed Area) ซึ่งเป็นพื้นที่ของโคมที่เปล่งแสงออกมาที่มุม $\gamma = 76$ องศา ในระนาบ C_0

2.2.4 การจัดประเภทของดวงโคม

มาตรฐาน CIE ได้แบ่งประเภทของโคมไฟถนนเป็น Throw , Spread และ Control ดังนี้

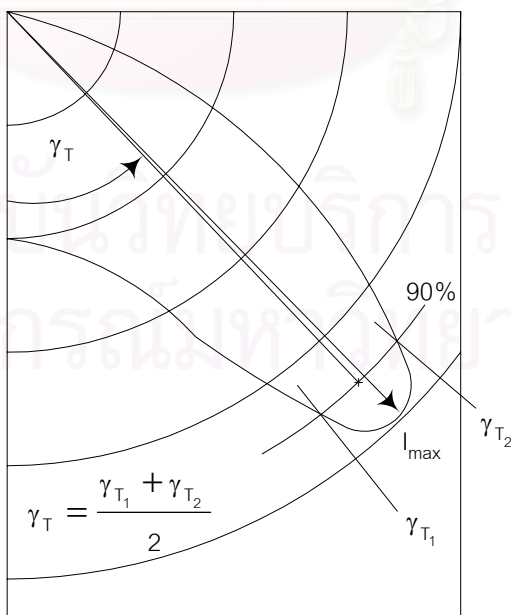


รูปที่ 2-10 นิยามของ Throw และ Spread



รูปที่ 2-11 มุมที่ใช้ระบุ Throw และ Spread

Throw ถูกกำหนดด้วยขนาดของมุมของศูนย์กลางของลำแสงที่วัดจากแนวตั้งลง มุมของศูนย์กลางของลำแสง (γ_T) อาจหาได้จากเส้นโค้งความเข้มแสงเท่า โดยใช้ค่าเฉลี่ยของมุม γ ของเส้นโค้งความเข้มแสงเท่าขนาดร้อยละ 90 ของค่าความเข้มส่องสว่างสูงสุดในระนาบตั้งหลักที่ผ่านค่าความเข้มส่องสว่างสูงสุด (ดังรูปที่ 2-10 และรูปที่ 2-11) หรือหาได้จากเส้นโค้งโพลาไรบนระนาบตั้งหลักโดยใช้ค่าเฉลี่ยของมุม γ ที่ค่าความเข้มส่องสว่างร้อยละ 90 ของค่าความเข้มส่องสว่างสูงสุด ดังรูปที่ 2-12

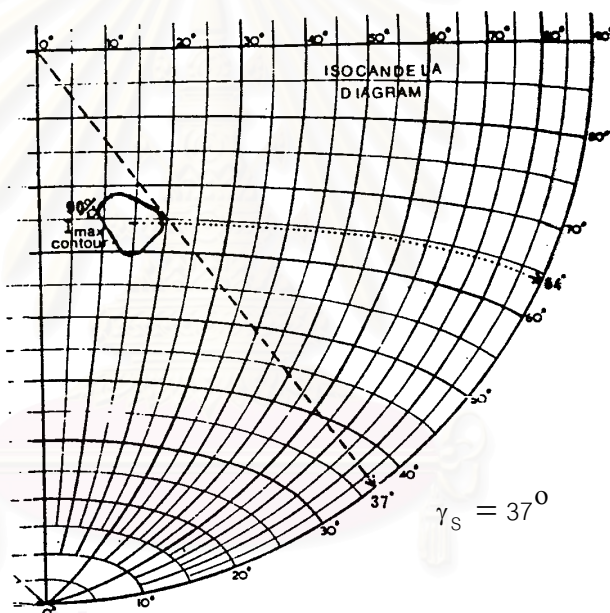


รูปที่ 2-12 การกำหนดหาขนาดมุม γ_T จากกราฟเส้นโค้งโพลาไร

Throw จะเป็นตัวบอกให้ทราบถึงสมรรถนะของโคมไฟถนนที่จะค้นแสงออกทางด้านข้างว่าไปได้ไกลมากน้อยเพียงใด หากมุม γ_T มีค่าสูง แสดงว่าโคมไฟถนนดวงนั้นสามารถค้นแสงออกไปทางด้านข้างได้ไกล ทำให้สามารถตั้งเสาไฟแต่ละต้นได้ใกล้กัน

Spread ถูกกำหนดด้วยระยะห่างที่ไกลที่สุดของเส้นแนวนอน (เส้น A-B ในรูปที่ 2-11) ที่สัมผัสกับเส้นโค้งความเข้มแสงเท่าขนาดร้อยละ 90 ของค่าความเข้มส่องสว่างสูงสุดที่เขียนลงบนผิวถนนดังรูปที่ 2-6 การกำหนดระยะห่างนี้กำหนดด้วยมุม γ_s ซึ่งหาได้จากแผนภูมิเส้นโค้งความเข้มแสงเท่าดังแสดงในรูปที่ 2-13 โดยการลากเส้นตรงจากจุดศูนย์กลาง ($C = 0^\circ, \gamma = 90^\circ$) สัมผัสขอบเส้นโค้งความเข้มแสงเท่าขนาดร้อยละ 90 ของค่าความเข้มส่องสว่างสูงสุดทางซีกที่ออกไปทางด้านถนนจนตัดกับขอบของแผนภูมิจะได้ค่า γ_s หรือหาค่า γ_s จากรูปที่ 2-11 ได้จาก

$$\gamma_s = \tan^{-1} (OB / LO)$$



รูปที่ 2-13 แสดงการหาค่ามุม γ_s เพื่อระบุ Spread

Spread จะเป็นตัวบอกให้ทราบถึงสมรรถนะของโคมไฟถนน ที่จะค้นแสงออกไปทางด้านหน้า (ออกไปทางด้านถนน) ว่าไปได้ไกลมากน้อยเพียงใด หากมุม γ_s มีค่าสูง แสดงว่าโคมไฟถนนดวงนั้นสามารถค้นแสงออกไปทางด้านหน้าได้ไกล ทำให้สามารถใช้กับถนนกว้าง ๆ ที่มีหลายช่องจราจรได้ดี

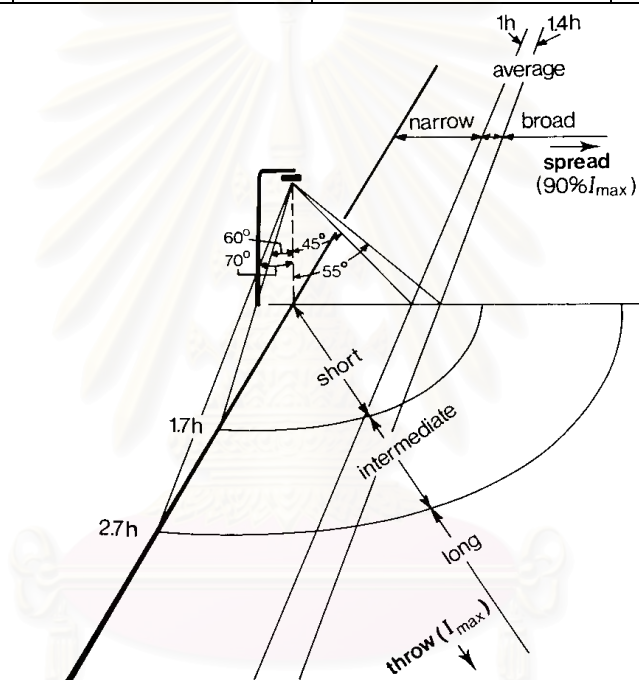
Control ถูกกำหนดด้วยค่า Specific Lantern Index ; SLI โดยที่

$$SLI = 13.84 - 3.31 \log I_{80} + 1.3 \log (I_{80} / I_{88})^{0.5} - 0.08 \log (I_{80} / I_{88}) + 1.29 \log F + C$$

การจัดประเภทของโคมไฟถนนด้วยตัวแปร Throw , Spread และ Control ตามระบบของ CIE จะกำหนดไว้ ดังแสดงในรูปที่ 2-14 และตารางที่ 2-1

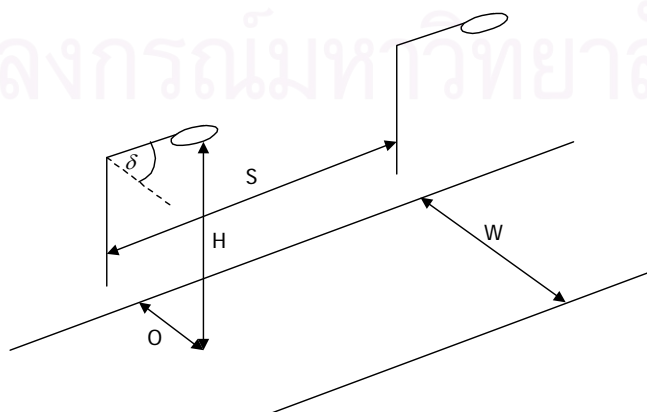
ตารางที่ 2-1 ขนาดพิกัดที่ใช้จัดประเภทของโคมไฟถนน

γ_T Throw	$< 60^\circ$ Short	$60^\circ - 70^\circ$ Intermediate	$> 70^\circ$ Long
γ_s Spread	$< 45^\circ$ Narrow	$45^\circ - 55^\circ$ Average	$> 55^\circ$ Broad
SLI Control	< 2 Limited	2 - 4 Moderate	> 4 Tight



รูปที่ 2-14 การจัดประเภทโคมไฟถนนด้วยตัวแปร Throw และ Spread

2.3 การติดตั้งไฟถนน



รูปที่ 2-15 ลักษณะการติดตั้งไฟถนน

รูปที่ 2-15 แสดงลักษณะการติดตั้งไฟถนนโดยมีตัวแปรที่เกี่ยวข้องดังนี้

H คือ ความสูงของการติดตั้ง (Mounting Height)

S คือ ระยะห่างระหว่างเสาไฟในแนวเดียวกัน (Spacing)

W คือ ความกว้างของถนน (Road Width)

O คือ ระยะช่วงยื่น (Overhang)

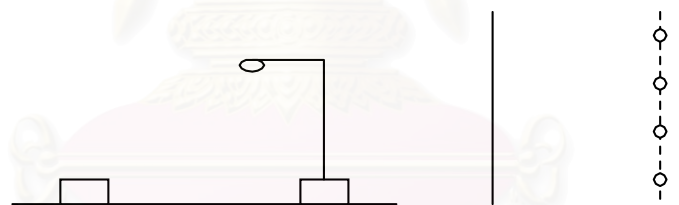
θ คือ มุมเงยของดวงโคม (Tilt Angle)

ในกรณีที่จำกัดความสูงของเสาไฟ อาจทำให้ริมถนนด้านตรงข้ามโคมไฟมีแสงไปตกไม่เพียงพอ จึงมีการปรับค่ามุมเงยเพื่อช่วยเพิ่มปริมาณแสงที่จะไปตกให้มากขึ้น แต่การปรับมุมเงยมากเกินไปจะทำให้เกิดแสงจ้าแรงแสดงมากขึ้น ดังนั้นจึงไม่ควรปรับค่ามุมเงยมากเกินไป

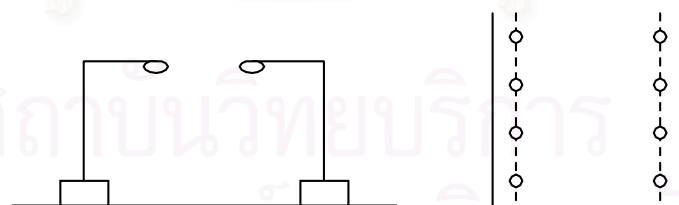
2.3.1 รูปแบบการติดตั้งเสาไฟ (Arrangement)



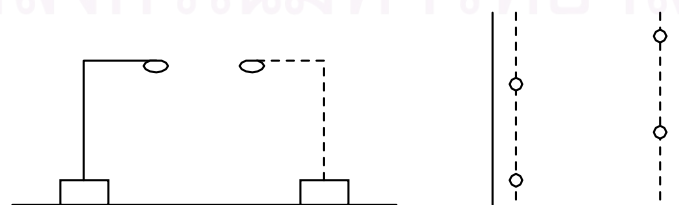
Single – Sided (Left)



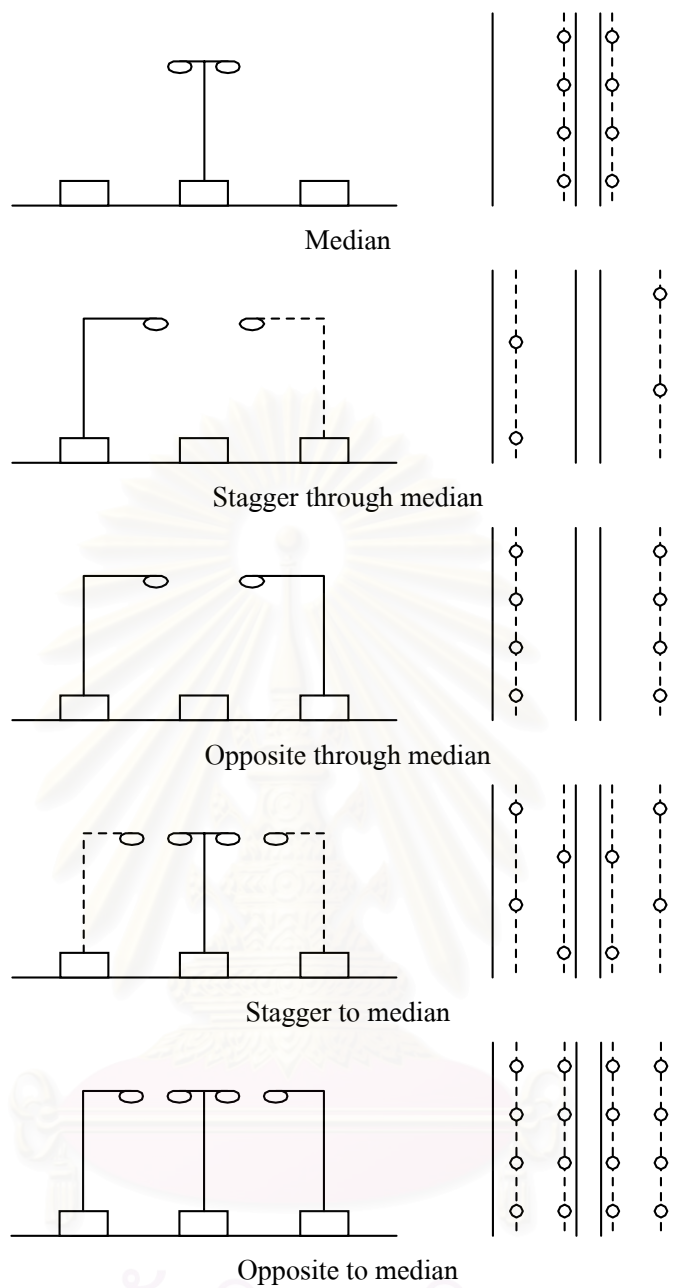
Single – Sided (Right)



Opposite



Stagger



2.4 ประเภทของถนนและมาตรฐานทางแสงสว่างของไฟถนน

2.4.1 มาตรฐานทางแสงสว่างของไฟถนนตามมาตรฐาน CIE

ตารางที่ 2-2 ความส่องสว่างของไฟถนนตามมาตรฐาน CIE

ประเภทของถนน	บริเวณโดยรอบ	ความส่องสว่าง	ความสม่ำเสมอ		แสงจ้า	
		$L_{av}(cd/m^2) \geq$	$U_0 \geq$	$U_1 \geq$	$G \geq$	$TI (\%) \leq$
A	ทุกแบบ	2	0.4	0.7	6	10
B	สว่าง	2			5	10
	มืด	1		6	10	
C	สว่าง	2		0.5	5	20
	มืด	1			6	10
D	สว่าง	2			4	20
E	สว่าง	1	4		20	
	มืด	0.5	5		20	

ตารางที่ 2-3 การแบ่งประเภทของถนนมาตรฐาน CIE

ประเภทของถนน	ชนิดและความหนาแน่นของการจราจร	ชนิดของถนน	ตัวอย่าง
การจราจรสำหรับรถยนต์	การจราจรหนาแน่นและใช้ความเร็วสูง	ถนนที่มีทางวิ่งสวนเลนแยกกัน ไม่มีทางแยก มีการควบคุมการเข้าออกของรถ	มอเตอร์เวย์ ทางด่วน
		ถนนสายสำคัญสำหรับการจราจรทางรถยนต์เท่านั้น อาจมีทางวิ่งแยกกัน	ถนนใหญ่ ถนนสายหลัก
	การจราจรหนาแน่นและใช้ความเร็วปานกลางหรือการจราจรที่มีคนเดินและมีความเร็วปานกลาง	สำหรับการจราจรความเร็วต่ำ และ/หรือ มีคนเดิน ถนนในเมืองหรือถนนในชนบทที่สำคัญ	ถนนวงแหวน ถนนทางแยก
การจราจรสำหรับรถและคนเดิน	D การจราจรหนาแน่นปานกลาง ส่วนใหญ่มีความเร็วต่ำหรือมีคนเดิน	ถนนในเมืองหรือศูนย์การค้า ถนนทางเข้าอาคารธุรกิจ ซึ่งการจราจรมีความเร็วต่ำหรือมีคนเดิน	ถนนใหญ่ ถนนธุรกิจ ถนนร้านค้า
	E การจราจรที่จำกัดความเร็วและมีความหนาแน่นปานกลาง	ถนนที่เชื่อมระหว่างถนนในบริเวณที่อยู่อาศัยและถนนประเภท A ถึง D	ถนนหลักที่เชื่อมต่อ ถนนท้องถิ่น

2.4.2 มาตรฐานทางแสงสว่างของไฟถนนของประเทศไทย

การทางพิเศษแห่งประเทศไทย

ความสว่างเฉลี่ย

- บนทางยกระดับ 21.5 Lux
- บนทางขึ้น / ลง 15 Lux
- บนด่านเก็บค่าผ่านทาง 40 Lux

ความสม่ำเสมอของความสว่าง

- $E_{\min}/E_{av} \geq 1/2.5$
- $E_{\min}/E_{\max} \geq 1/6$

กรมทางหลวง

ตารางที่ 2-4 ความสว่างเฉลี่ยต่ำสุดตามประเภทของถนน

ประเภทถนน	ความสว่างเฉลี่ยในแนวอนต่ำสุด (lx)		
	พื้นที่กลางเมือง Central-Urban Areas	พื้นที่ในเมือง Sub-Urban Areas	พื้นที่ชนบท Rural Areas
มอเตอร์เวย์	21.5	15.0	10.75
ทางแยก	21.5	21.5	15.0
ทางสายหลัก	21.5	13.0	9.7
ทางสายรอง	13.0	9.7	6.5
ทางสายท้องถิ่น	9.7	6.5	2.1

ความสม่ำเสมอของความสว่าง

- $E_{\min}/E_{av} \geq 1/2.5$
- $E_{\min}/E_{\max} \geq 1/6$

การไฟฟ้านครหลวง

ความสว่างเฉลี่ยแนวราบ

- ไฟถนน / ไฟเชิงลาด / ไฟถนนยกระดับ 21.5 Lux

ความสม่ำเสมอของความสว่าง

- $E_{\min}/E_{av} \geq 1/3$

ค่าตัวประกอบการบำรุงรักษา	0.8	
ค่าความสว่างเฉลี่ยแนวราบเริ่มต้น	26.8	Lux

2.5 การแบ่งประเภทของผิวถนน

2.5.1 ระดับความขาดำของถนน (Average Luminance Coefficient , Q_0)

$$Q_0 = \frac{\int_0^{\Omega_0} q d\Omega}{\Omega_0}$$

โดยที่

q คือ สัมประสิทธิ์ความส่องสว่าง (ขึ้นอยู่กับมุม β, γ)

Ω_0 คือ มุมตันในทิศที่แสงตกกระทบบจุดที่พิจารณา

เมื่อ Q_0 มีค่ามากแสดงว่าพื้นผิวถนนมีความสามารถในการสะท้อนแสงมาก

2.5.2 ระดับของการสะท้อนแสงแบบ Specular (Specularity Factor , $S1$)

$$S1 = r(0,2) / r(0,0)$$

โดยที่

$r(0,2)$ คือ Reduced Luminance Coefficient ที่ $\beta = 0, \tan \gamma = 2$

$r(0,0)$ คือ Reduced Luminance Coefficient ที่ $\beta = 0, \tan \gamma = 0$

ตารางที่ 2-5 การแบ่งประเภทของผิวถนนแห้งแบบ R-Classification

ประเภท	S1	S1 มาตรฐาน	Q_0 ปกติ
R1	$S1 < 0.42$	0.25	0.10
R2	$0.42 \leq S1 < 0.85$	0.58	0.07
R3	$0.85 \leq S1 < 1.35$	1.11	0.07
R4	$1.35 \leq S1$	1.55	0.08

ตารางที่ 2-6 การแบ่งประเภทของผิวถนนแห้งแบบ N-Classification

ประเภท	S1	S1 มาตรฐาน	Q_0 ปกติ
N1	$S1 < 0.28$	0.18	0.10
N2	$0.28 \leq S1 < 0.60$	0.41	0.07
N3	$0.60 \leq S1 < 1.30$	0.88	0.07
N4	$1.30 \leq S1$	1.61	0.08

โดยจะแบ่งประเภทผิวถนนแห้ง ออกเป็น R-Classification และ N- Classification ซึ่งแต่ละประเภทแบ่งออกเป็น 4 Class ดังนี้

ตารางที่ 2-7 การแบ่ง Class ของผิวถนน

Class	Materials
I	<ul style="list-style-type: none"> - Asphaltic type road surface containing either at least 15 percent artificial brightener or at least 30 percent very bright anorthosites. - Surface dressings containing chippings that cover over 80 percent of the road surface , where the chippings mainly consist of either artificial brightener or are 100 percent very bright anorthosites. - Concrete road surfaces.
II	<ul style="list-style-type: none"> - Surface dressings having a harsh texture and containing normal aggregates. - Asphaltic surfaces containing 10 to 15 percent artificial brighteners. - Coarse and harsh asphaltic concrete , rich in gravel (> 60 %) of sizes up to or greater than 10 mm. - New condition mastic asphalt.
III	<ul style="list-style-type: none"> - Asphaltic concrete (cold asphalt , mastic asphalt) having gravel sizes up to 10 mm , but of a harsh texture (similar to sand paper). - Polished , coarse textured , surface dressings.
IV	<ul style="list-style-type: none"> - Mastic asphalt after some months of use. - Road surfaces having a rather smooth or polished texture.

ตารางที่ 2-8 การแบ่งประเภทของผิวถนนแบบ C-Classification

ประเภท	S1	S1 มาตรฐาน	Q ₀ ปกติ
C1	$S1 < 0.4$	0.24	0.10
C2	$S1 \geq 0.85$	0.97	0.07

ตารางที่ 2-9 การแบ่งประเภทของพิวณนเปือกแบบ W-Classification

ประเภท	$S1'$	Q_0 ปกติ
W1	$S1' < 9.6$	0.11
W2	$9.6 \leq S1' < 26.5$	0.15
W3	$26.5 \leq S1' < 73$	0.20
W4	$73 \leq S1'$	0.25

โดยที่ ถ้า $S1 > 1$

$$\log(S1'/0.147) = \frac{\log(S1/0.147)}{1 - Q_0/0.687}$$

ถ้า $S1 \leq 1$

$$S1' = S1$$

สถาบันวิทยบริการ
จุฬาลงกรณ์มหาวิทยาลัย

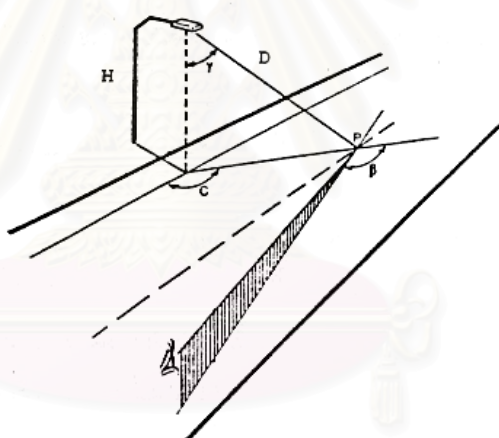
บทที่ 3

การคำนวณไฟแสงสว่างถนน

การคำนวณแสงสว่างบนพื้นถนนที่กล่าวถึงในวิทยานิพนธ์นี้จะใช้ วิธีจุดต่อจุด(Point By Point) โดยจะให้ผลลัพธ์ที่มีรายละเอียดและมีความแม่นยำ เนื่องจากวิธีการดังกล่าว สามารถใช้ตรวจสอบความสม่ำเสมอ ตรวจสอบความสว่างและความส่องสว่างที่จุดใดๆ ที่ต้องการได้สิ่งสำคัญที่จะต้องคำนึงถึงคือ ปริมาณแสง และคุณภาพของแสงบนพื้นถนน

3.1 การคำนวณค่าความสว่างและค่าความส่องสว่าง

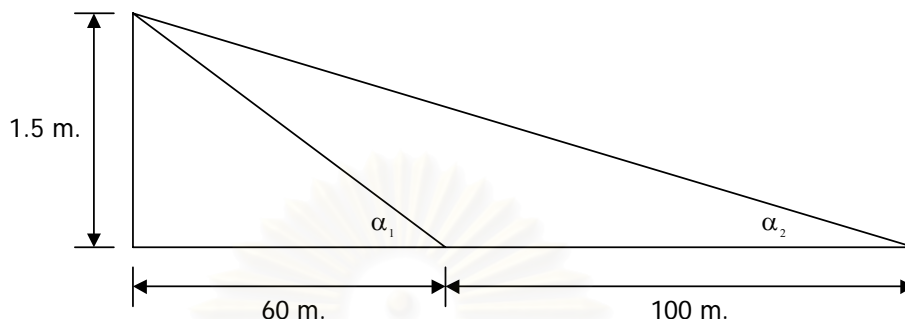
3.1.1 ระบบเสาธรรมดา (กรณีทางตรง)



รูปที่ 3-1 ตำแหน่งของโคม ผู้สังเกต และจุดที่พิจารณาบนผิวถนน

ให้	$I(C, \gamma)$	=	Luminous Intensity ของดวงโคมที่มุม γ บนระนาบ C
	$q(\beta, \gamma)$	=	Luminance Coefficient บนผิวถนน
	$R(\beta, \gamma)$	=	Reduced Luminance Coefficient
	H	=	ความสูงของดวงโคม
	β	=	มุมของระนาบแสงสะท้อนกับระนาบที่มอง
	γ	=	มุมของแนวแสงที่ใช้วัดข้อมูล I กับแนวตั้ง
	C	=	มุมของระนาบ ณ จุดที่พิจารณา
	α	=	มุมของแนวที่มองกับแนวระดับ

ในทางปฏิบัติ ระยะจากผู้มองถึงจุดที่พิจารณาจะอยู่ระหว่าง 60 เมตรถึง 160 เมตร และผู้มองอยู่สูงจากพื้น 1.5 เมตร ดังรูปที่ 3-2 จึงได้มุม α อยู่ระหว่าง 0.53 ถึง 1.43 องศา มาตรฐาน CIE จึงกำหนดให้ค่ามุม α เป็นค่าเฉลี่ยซึ่งมีค่าคงที่ที่ 1 องศา



รูปที่ 3-2 การกำหนดค่ามุมของแนวมองกับแนวระดับ

จากรูปที่ 3-1

ค่าความสว่าง ที่จุด P บนผิวถนน

$$E_p = \frac{I(C, \gamma) \cos(\gamma)}{D^2} \quad \text{โดยที่} \quad D = \frac{H}{\cos(\gamma)}$$

$$\text{ดังนั้น} \quad E_p = \frac{I(C, \gamma) \cos^3(\gamma)}{H^2} \quad \text{Lux} \quad (3.1)$$

ค่าความส่องสว่าง ที่จุด P บนผิวถนน

$$\begin{aligned} L_p &= q(\beta, \gamma) E_p \\ &= \frac{q(\beta, \gamma) I(C, \gamma) \cos^3(\gamma)}{H^2} \end{aligned}$$

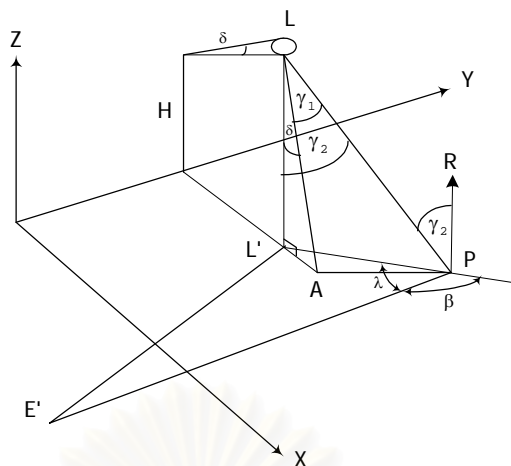
$$\text{โดยที่} \quad R(\beta, \gamma) = q(\beta, \gamma) \cos^3(\gamma)$$

$$\text{ดังนั้น} \quad L_p = \frac{R(\beta, \gamma) I(C, \gamma)}{H^2} \quad \text{cd/m}^2 \quad (3.2)$$

แต่โดยทั่วไป การติดตั้งโคมจะมีค่ามุมเงย (Tilt Angle) เข้ามาเกี่ยวข้องด้วย ดังรูปที่ 3-3 ทำให้มุม γ ในสมการที่ 3.1 และ 3.2 เปลี่ยนไปเป็น γ_1 และ γ_2

$$\text{ดังนั้น} \quad E_p = \frac{I(C, \gamma_1) \cos^3(\gamma_2)}{H^2} \quad \text{Lux} \quad (3.3)$$

$$L_p = \frac{R(\beta, \gamma_2) I(C, \gamma_1)}{H^2} \quad \text{cd/m}^2 \quad (3.4)$$



รูปที่ 3-3 การคำนวณมุม $\gamma_1, \gamma_2, \beta$

ให้

L_x = ตำแหน่งของโคมไฟตามแกน X

L_y = ตำแหน่งของโคมไฟตามแกน Y

A_x = ตำแหน่งจุดเส็งของโคมไฟตามแกน X

A_y = ตำแหน่งจุดเส็งของโคมไฟตามแกน Y

E'_x = ตำแหน่งของผู้สังเกตตามแกน X ในระนาบ XY

E'_y = ตำแหน่งของผู้สังเกตตามแกน Y ในระนาบ XY

P_x = ตำแหน่งของจุดที่พิจารณาบนพื้นถนนตามแกน X

P_y = ตำแหน่งของจุดที่พิจารณาบนพื้นถนนตามแกน Y

จากสมการที่ 3.3 และ 3.4 มุมที่เราพิจารณาคือมุม $\beta, \gamma_1, \gamma_2, C$ ดังนั้น รูปที่ 3-3 พิจารณา $\Delta L'PE'$

$$L'P = \sqrt{(L'_x - P_x)^2 + (L'_y - P_y)^2}$$

$$PE' = \sqrt{(P_x - E'_x)^2 + (P_y - E'_y)^2}$$

$$E'L' = \sqrt{(E'_x - L'_x)^2 + (E'_y - L'_y)^2}$$

$$\cos \lambda = \frac{L'P^2 + PE'^2 - E'L'^2}{2 \cdot L'P \cdot PE'} \quad (3.5)$$

$$\beta = 180^\circ - \lambda \quad (3.6)$$

พิจารณา ΔAPL

$$AP = \sqrt{(Ax - Px)^2 + (Ay - Py)^2}$$

$$PL = \sqrt{(Px - Lx)^2 + (Py - Ly)^2 + H^2}$$

$$LA = \frac{H}{\cos(\delta)}$$

$$\cos \gamma_1 = \frac{LA^2 + PL^2 - AP^2}{2 \cdot LA \cdot PL} \tag{3.7}$$

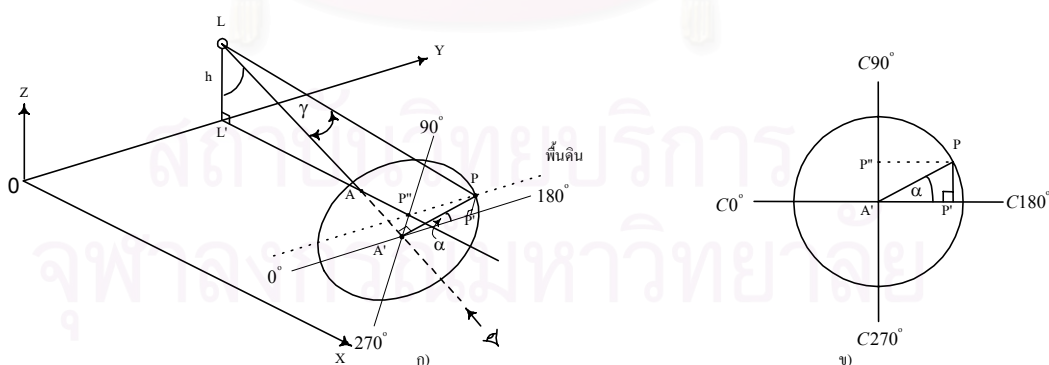
เมื่อ R เป็นเวกเตอร์ 1 หน่วย ที่มีทิศทางตั้งฉากกับ ระนาบ X-Y

$$LR = \sqrt{(Lx - Rx)^2 + (Ly - Ry)^2 + (H - Rz)^2}$$

$$PR = \sqrt{(Px - Rx)^2 + (Py - Ry)^2 + (Rz)^2}$$

$$\cos \gamma_2 = \frac{PL^2 + PR^2 - LR^2}{2 \cdot PL \cdot PR} \tag{3.8}$$

สำหรับการคำนวณมุม C นั้นเนื่องจากมีมุมเล็งเข้ามาเกี่ยวข้องทำให้ระนาบมุม C ที่จุดเล็ง และจุดคำนวณไม่ตั้งฉากกับพื้นที่ ดังนั้นจึงต้องลากเส้นต่อจากเส้น LA จนกระทั่งตั้งฉากกับเส้นตรงที่ลากจากจุด P ที่จุด A' แล้วสร้างเป็นรูปกรวยโดยให้จุด A' เป็นจุดศูนย์กลางดังรูปที่ 3-4



รูปที่ 3-4 ก) และ ข) การคำนวณมุม C

จากรูปที่ 3-4 เมื่อพิจารณาวงกลมซึ่งถูกแบ่งออกเป็น 4 ส่วนเท่าๆกัน โดยกำหนดมุม C ดังรูป จะสามารถคำนวณมุม C ได้ดังนี้

$$C = 180^\circ - \alpha \quad (\text{กรณีนี้เท่านั้น}) \quad (3.9)$$

พิจารณา $\Delta A'P'P$ จะได้

$$PA' = LP \sin \gamma$$

$$P'A' = PP'' = Py - Ay = Py - Ly$$

$$\alpha = \cos^{-1} \left(\frac{P'A'}{PA'} \right) \quad (3.10)$$

$$\therefore \alpha = \cos^{-1} \left(\frac{Py - Ly}{LP \sin \gamma} \right) \quad (3.11)$$

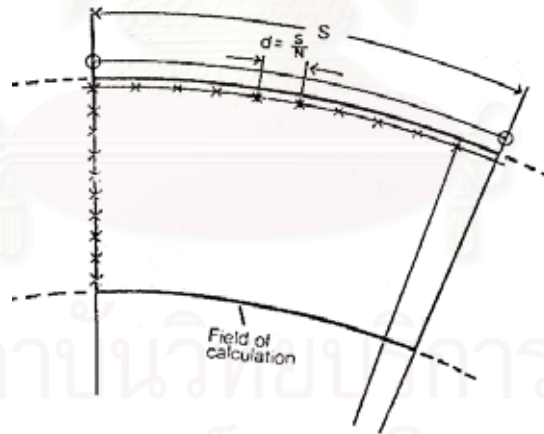
$$\therefore C = 180 - \alpha \quad (\text{กรณีนี้เท่านั้น})$$

จากค่า C และมุม γ_1 นำไปคำนวณหาค่า Luminous Intensity จากตาราง I ของดวงโคม

β และมุม γ_2 นำไปคำนวณหาค่า Reflection Coefficient จากตาราง R ของผิวถนนที่

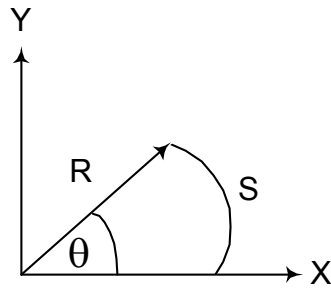
กำหนด แล้วนำไปคำนวณหาค่าความสว่างและความส่องสว่างที่จุด P ต่อไป

3.1.2 ระบบเสาขรรคมดา (กรณีทางโค้ง)



รูปที่ 3-5 จุดที่ต้องคำนวณภายในพื้นที่ที่ต้องการ

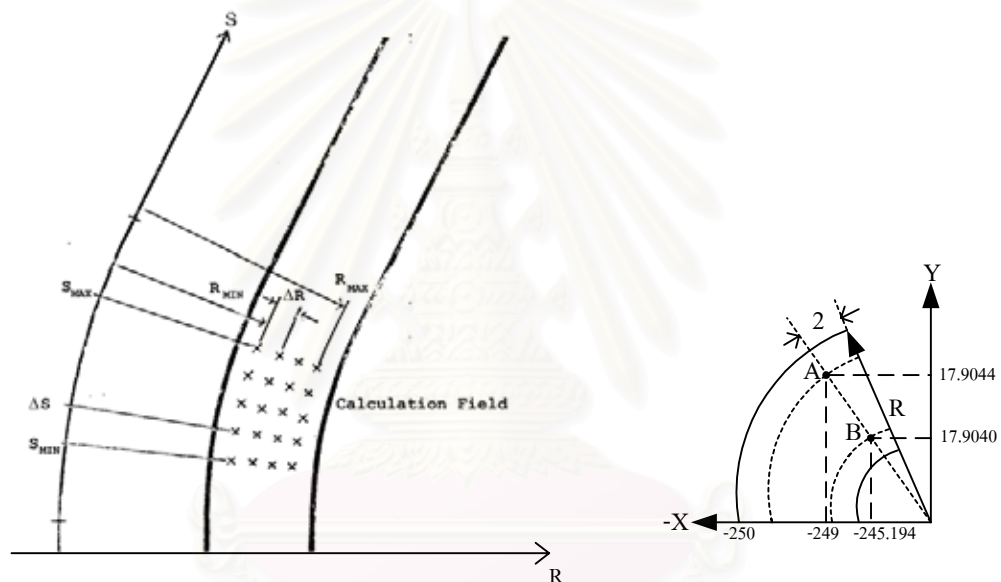
โดยเงื่อนไขในการกำหนดจุดที่จะคำนวณ จะคิดเช่นเดียวกับที่ใช้ในกรณีของทางตรง ในกรณีทางตรงจะพิจารณาในระบบ Rectangular Coordinate แต่ในกรณีทางโค้งจะใส่ข้อมูลในระบบ R-S axis ดังรูปที่ 3-5 แล้วจึงแปลงจากระบบ R-S axis เป็นระบบ Rectangular Coordinate



รูปที่ 3-6 รูปแสดงความสัมพันธ์ระหว่าง 2 ระบบ

ตัวอย่างเช่น

พิจารณาถนนโค้ง ที่มีค่า S เท่ากับ 60 - 80 เมตร และมีรัศมีความโค้ง 250 เมตร ถนนมี 3 ช่องวิ่ง กว้าง 10.5 เมตร ดังรูปที่ 3-7



รูปที่ 3-7 การกำหนดระยะ R และ ระยะ S

จากโจทย์ จะได้ระยะ $S_{\min} = 60 \text{ m}$, $S_{\max} = 80 \text{ m}$.

เนื่องจาก $S < 50 \text{ m}$: $N = 10$

$$D = \Delta S = \frac{20}{10} = 2 \text{ m.}$$

ถนน 1 ช่องวิ่งกว้าง $W = \frac{10.5}{3} = 3.5 \text{ m}$.

ระยะตามขวางที่จุด A เท่ากับ $\frac{1}{10} \times 3.5 = 0.35 \text{ m}$.

ที่จุด A

$$S' = 18$$

$$R = 250 - 0.35 = 249.65$$

แปลงเป็นระบบ X-Y Coordinate ได้ดังนี้

$$\theta = \frac{18}{249.65}$$

$$X = R \cos \theta = 249.65 \cos\left(\frac{18}{249.65}\right) = 249$$

$$Y = R \sin \theta = 249.65 \sin\left(\frac{18}{249.65}\right) = 17.9844$$

ที่จุด B

$$R = 250 - 3.15 = 246.85$$

แปลงเป็นระบบ X-Y Coordinate ได้ดังนี้

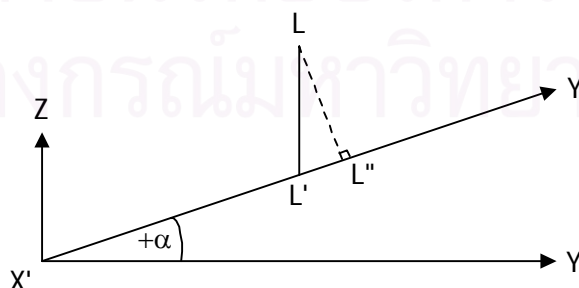
$$X = R \cos \theta = 246.85 \cos\left(\frac{18}{249.65}\right) = 246.2086$$

$$Y = R \sin \theta = 246.85 \sin\left(\frac{18}{249.65}\right) = 17.7827$$

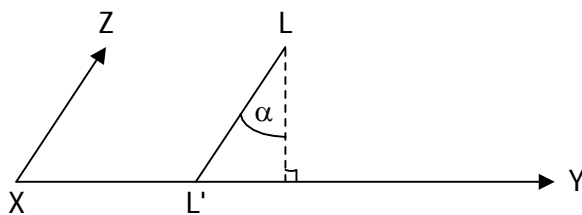
เมื่อทราบตำแหน่งของจุดที่ต้องการในระบบ X-Y Coordinate แล้ว จึงทำการคำนวณค่าต่างๆดังที่ได้กล่าวมาในหัวข้อที่ผ่านมา

3.1.3 ระบบเสาธรรมดา (กรณีถนน Ramp Up และ Ramp Down)

เราจะเปลี่ยนระนาบที่ทำการคำนวณเป็นระนาบบนพื้นเอียง เนื่องจากจุด L เดิม (L_x, L_y, L_z) เป็นจุดที่เทียบกับระนาบบนพื้นราบ เราจึงต้องหาค่า L ใหม่ (L_x', L_y', L_z') ที่เทียบกับระนาบบนพื้นเอียง ดังรูปที่ 3-8



รูปที่ 3-8 ระนาบบนพื้นเอียง

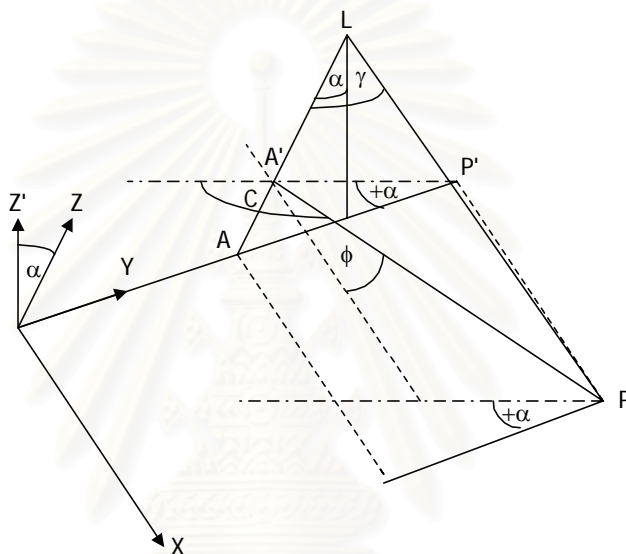


รูปที่ 3-9 ระนาบเอียงมองเสมือนพื้นราบ

โดย $Lx' = Lx$ (3.12)

$$Ly' = Ly + Lz \sin \alpha \quad (3.13)$$

$$Lz' = Lz \cos \alpha \quad (3.14)$$



รูปที่ 3-10 การคำนวณมุมต่างๆ

พิจารณา $\triangle APL$

$$LA = Lz$$

$$AP = \sqrt{(Ax - Px)^2 + (Ay - Py)^2}$$

$$PL = \sqrt{(Lx - Px)^2 + (Ly + Lz \sin \alpha - Py)^2 + (Lz \cos \alpha)^2}$$

$$\cos \gamma = \frac{PL^2 + LA^2 - AP^2}{2 \cdot LA \cdot PL} \quad (3.15)$$

พิจารณา $\triangle A'P'P$

$$AP' = Py - Ay$$

$$P'P = Px - Ax$$

$$A'P' = AP' \cos \alpha$$

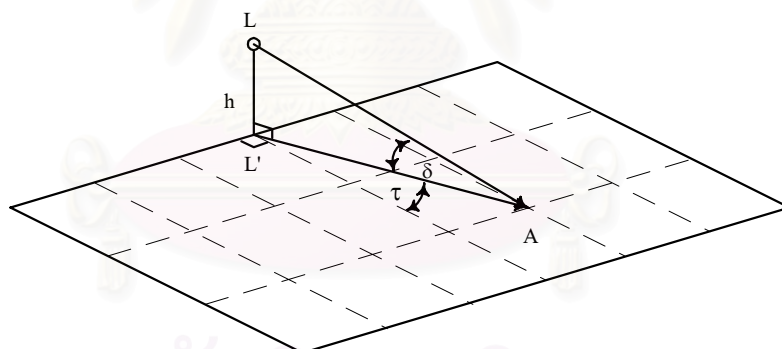
$$\text{Tan}\varphi = \frac{A'P'}{P'P} = \frac{(Py - Ay) \cos\alpha}{(Px - Ax)} \quad (3.16)$$

$$C = 90^\circ + \varphi \quad (\text{กรณีนี้เท่านั้น}) \quad (3.17)$$

3.1.4 ระบบเสาสูง (High Mast System)

3.1.4.1 ลักษณะการติดตั้งโคม

การติดตั้งโคมด้วยระบบเสาสูง (High Mast System) ในแต่ละเสาจะมีจำนวนโคม มากกว่า 1 โคมเรียงไปยังจุดต่างๆกัน ตามลักษณะของถนนและความส่องสว่างที่ต้องการ เพื่อให้ได้จุดเรียง ตามที่กำหนดนั้นเป็นสิ่งที่ค่อนข้างยุ่งยาก การติดตั้งโคมอาจจะใช้กล้องติดตั้งที่ตัวโคมแล้วเรียงโคม ไปยังจุดที่ต้องการโดยอาศัยกล้องที่ติดตั้งนั้นซึ่งการติดตั้งจะกระทำบนเสาโดยตรง หรือจะใช้วิธีทำ การปรับโคมก่อนนำไปติดตั้งบนเสา โดยอาศัยมุมเงย (δ) และมุมหัน (τ) เป็นตัวกำหนดเพื่อให้ได้ จุดเรียงที่ต้องการ ดังรูปที่ 3-11

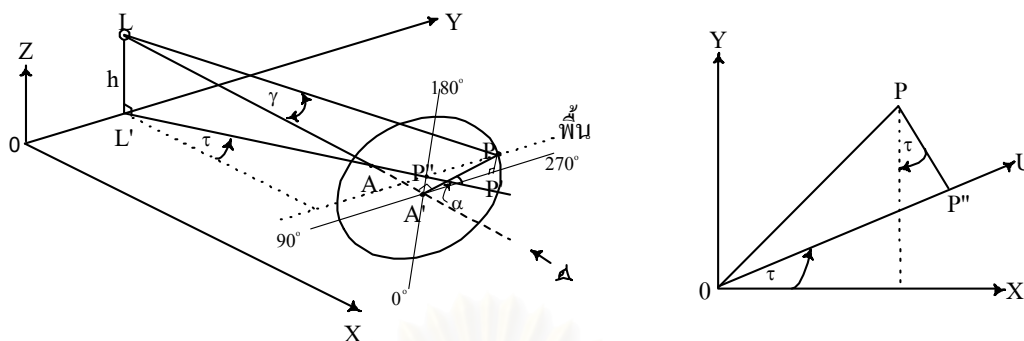


รูปที่ 3-11 การปรับตั้งโคม โดยอาศัยมุมเงย (δ) และ มุมหัน (τ)

3.1.4.2 กรณีที่มุมหัน (τ) เป็นศูนย์

จะคำนวณค่าต่างๆเหมือนกรณีระบบเสาธรรมดาแต่ไม่คิดมุมเงย

3.1.4.3 กรณีที่มุมหัน (τ) ไม่เป็นศูนย์



รูปที่ 3-12 การคำนวณมุม C และมุม γ ในกรณีมุมหันไม่เท่ากับศูนย์

$$\cos \gamma = \frac{LA^2 + PL^2 - AP^2}{2 \cdot LA \cdot PL} \quad (3.18)$$

$$\tau = \tan^{-1} \frac{Ay - Ly}{Ax - Lx} \quad (3.19)$$

$$\alpha = \cos^{-1} \left(\frac{P'A'}{PA'} \right) \quad (3.20)$$

$$PA' = LP \sin \gamma \quad (3.21)$$

$$P'A' = PP''$$

$$\begin{aligned} PP'' &= (\Delta Y_p - \Delta X_p \tan \tau) \cos \tau \\ &= \Delta Y_p \cos \tau - \Delta X_p \sin \tau \end{aligned} \quad (3.22)$$

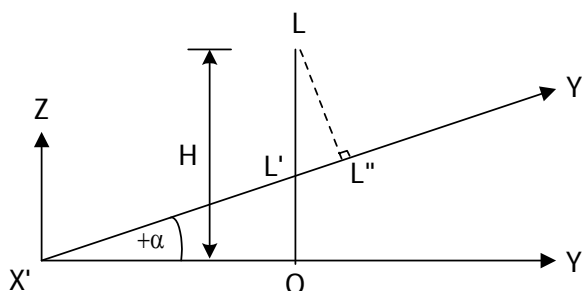
$$\therefore \alpha = \cos^{-1} \frac{(\Delta Y_p \cos \tau - \Delta X_p \sin \tau)}{LP \sin \gamma} \quad (3.23)$$

จากรูปที่ 3-12 เมื่อพิจารณาวงกลมซึ่งถูกแบ่งออกเป็น 4 ส่วนเท่าๆกัน โดยกำหนดมุม C ดังรูป จะสามารถคำนวณมุม C ได้ดังนี้

$$C = 270^\circ - \alpha \quad (\text{กรณีนี้เท่านั้น}) \quad (3.24)$$

3.1.5 กรณีที่ถนน Ramp Up และ Ramp Down

เนื่องจากระบบ High Mast เสาไฟจะติดตั้งที่พื้นราบ ไม่ได้ติดตั้งตามลักษณะถนนที่มีการ Ramp up หรือ Ramp Down เพราะฉะนั้นถ้าเราคิดที่ระนาบพื้นเอียง ความสูงของเสาไฟจะมีการเปลี่ยนแปลงตามระยะทาง $X'L'$

รูปที่ 3-13 การคำนวณค่า Lz'

$$L'O = X'L' \sin \alpha \quad (3.25)$$

$$Lz = H - L'O \quad (3.26)$$

$$Lz' = Lz \cos \alpha \quad (3.27)$$

3.2 คุณลักษณะความส่องสว่าง

ในการคำนวณค่าความส่องสว่างเฉลี่ย (L_{av}) จะต้องรู้ค่าความส่องสว่างของจุดที่ต้องคำนวณทุกจุดและจำนวนจุดที่คำนวณ สำหรับการคำนวณค่าความสม่ำเสมอรวม (Overall Uniformity, U_0) และความสม่ำเสมอตามแนวยาว (Longitudinal Uniformity, U_1) จะต้องรู้ค่าความส่องสว่างต่ำสุดและสูงสุด ซึ่งอาจจะเป็นจุดใดๆก็ได้ ภายในพื้นที่ที่ต้องคำนวณ โดยการเปรียบเทียบค่าแบบจุดต่อจุด เมื่อได้ค่าดังกล่าวแล้วจึงนำมาหาค่าต่างๆดังนี้

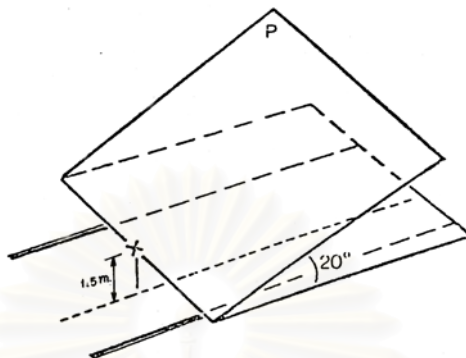
$$L_{av} = \frac{L_{sum}}{N} \quad (3.28)$$

$$U_0 = \frac{L_{min}}{L_{av}} \quad (3.29)$$

$$U_1 = \frac{L_{min}}{L_{max}} \quad (3.30)$$

3.3 การคำนวณระดับแสงจ้า

การคำนวณ Disability Glare



รูปที่ 3-14 ช่วงมุมที่จะพิจารณาในการคำนวณ Disability Glare

โดยคิดว่าผู้ขับขี่รถยนต์มองผิวถนนตรงจุดที่อยู่ห่างออกไป 90 เมตร และโคมไฟที่อยู่ภายในมุมยกขึ้น 20 องศา กับแนวราบ จะถูกนำมาคิดค่า L_v ทั้งหมด เนื่องจากเป็นมุมสูงสุดที่ตาของผู้ขับขี่สามารถมองเห็น โคมไฟโดยไม่มีหลังการบัง ตามมาตรฐาน CIE ดังรูปที่ 3-14

ตำแหน่งผู้สังเกตจะอยู่ที่ตำแหน่งห่างจากพื้นที่ที่จะพิจารณาทำมุมกับโคมแรก 20 องศา

$$E_y = L_y - \frac{H - 1.5}{\tan 20^\circ} \quad (3.31)$$

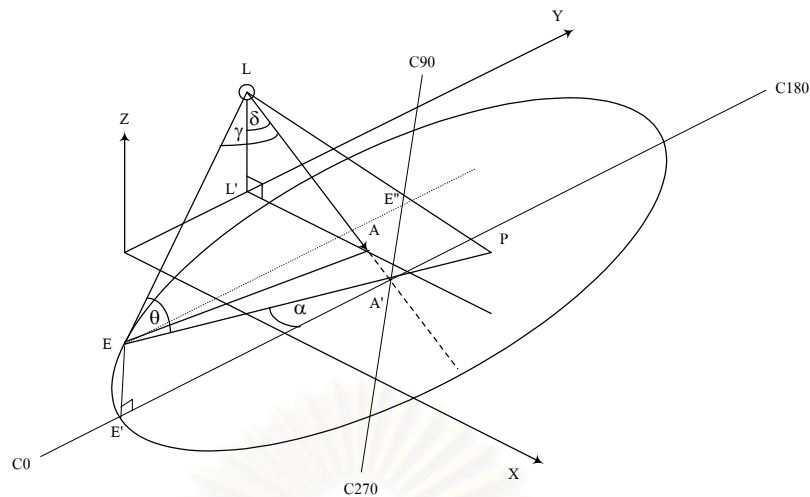
$$P_x = E_x \quad (3.32)$$

$$P_y = E_y + 90 \quad (3.33)$$

คำนวณหามุม θ ของดวงโคม ถ้ามุม θ น้อยกว่าหรือเท่ากับ 20 องศา จะนำโคมนั้นมาพิจารณาหา L_v โดยจะหาค่า L_v จนกระทั่งค่า L_v ของโคมที่พิจารณามีค่าน้อยกว่า 2 % ของค่า L_v รวมของแถวนั้น

โดย

$$\tan \theta = \frac{H - 1.5}{L_y - E_y} \quad (3.34)$$



รูปที่ 3-15 การคำนวณมุม C และ γ

จากรูปที่ 3-15 พิจารณาที่ $\triangle LAE$

$$LA = \frac{H}{\cos \delta}$$

$$EL = \sqrt{(Lx - Ex)^2 + (Ly - Ey)^2 + (H - 1.5)^2}$$

$$EA = \sqrt{(Ex - Ax)^2 + (Ey - Ay)^2 + 1.5^2}$$

$$\cos \gamma = \frac{LA^2 + EL^2 - EA^2}{2 \cdot LA \cdot EL} \quad (3.35)$$

พิจารณา $\triangle A'E'E$ จะได้ว่า

$$EA' = LE \sin \gamma$$

$$E'A' = EE'' = Ey - Ay = Ey - Ly$$

$$\alpha = \cos^{-1} \left(\frac{E'A'}{EA'} \right)$$

$$\therefore \alpha = \cos^{-1} \left(\frac{Ey - Ly}{LE \sin \gamma} \right) \quad (3.36)$$

จะสามารถหาค่ามุม C ได้ดังนี้

$$C = \alpha \quad (\text{เฉพาะกรณีนี้เท่านั้น}) \quad (3.37)$$

การคำนวณหาค่า Veiling Luminance

คำนวณหาค่า Illuminance จากโคมในทิศทางตั้งฉากกับทิศทางการมองของผู้สังเกตได้จาก

$$E_v = \frac{I(C, \gamma) \cos(\theta)}{D^2}$$

โดยที่ D คือระยะ LE

พิจารณาที่ ΔLPE

$$LP = \sqrt{H^2 + (Lx - Px)^2 + (Ly - Py)^2}$$

$$LE = \sqrt{(Lx - Ex)^2 + (Ly - Ey)^2 + (H - 1.5)^2}$$

$$PE = \frac{1.5}{\sin 1^\circ}$$

$$\cos \theta = \frac{LE^2 + PE^2 - LP^2}{2 \cdot LE \cdot PE} \quad (3.38)$$

ดังนั้นสามารถหาค่า Veiling Luminance (L_v) ได้จาก

$$L_v = 0.003 \sum_{i=1}^n \frac{E_{vi}}{\theta^2} \quad (\theta \text{ in radians}) \quad (3.39)$$

$$L_v = 10 \sum_{i=1}^n \frac{E_{vi}}{\theta^2} \quad (\theta \text{ in degrees}) \quad (3.40)$$

โดยที่ n เป็นจำนวนโคมทั้งหมดที่ถูกพิจารณาภายใต้เงื่อนไขที่กำหนดตามที่ได้กล่าวมาแล้ว

ดังนั้น สามารถหาค่า Threshold Increment (TI%) ได้จาก

$$TI = \frac{65 \cdot L_v}{(L_{av})^{0.8}} \% \quad (3.41)$$

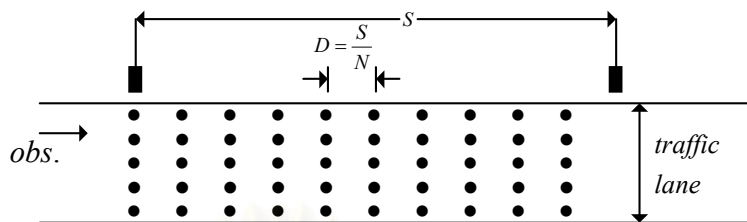
โดยที่ค่า L_{av} เป็นค่า Average Luminance ในบริเวณที่พิจารณา

การคำนวณ Discomfort Glare (G)

$$G = 13.84 - 3.31 \log I_{80} + 1.3 \log (I_{80} / I_{88})^{0.5} - 0.08 \log (I_{80} / I_{88}) + 1.29 \log F + C \\ + 0.97 \log L_{av} + 4.41 \log h' - 1.46 \log p \quad (3.42)$$

3.4 รายละเอียดพื้นที่

พื้นที่ที่ต้องคำนวณค่าต่างๆ



รูปที่ 3-16 จุดที่ต้องคำนวณภายในพื้นที่ที่ต้องการ

โดยที่

S = ระยะห่างระหว่างโคมในแนวเดียวกัน

D = ระยะห่างระหว่างจุดที่ต้องการคำนวณ

N = จำนวนจุดที่ต้องคำนวณ

ถ้า $S \leq 50m : N = 10$

$S > 50m : D \leq 5m$

ส่วนตามขวางถนนจะคำนวณ 5 จุด ต่อ 1 ช่องวิ่ง (Lane) โดยจุดแรกอยู่ห่างจากขอบถนนเท่ากับ $1/10$ เท่าของความกว้างช่องวิ่ง และแต่ละจุดห่างกัน $2/10$ เท่าของความกว้างช่องวิ่ง

ตำแหน่งจุดสังเกต

- แนวตามยาวถนนจะอยู่ห่างจากจุดแรกที่จะคำนวณ 60 m และสูงจากพื้นดิน 1.5 m
- แนวตามขวางถนน

ถ้าคำนวณ L_{av} และ U_0 จะคิดที่จุดห่างจากขอบซ้ายของถนน เท่ากับ $1/4$ ของความกว้างของถนน

ถ้าคำนวณ U_1 จะคิดที่จุดกึ่งกลางของแต่ละช่องวิ่ง

บทที่ 4

โปรแกรมประเมินคุณภาพความสว่างและความส่องสว่างไฟถนน

การคำนวณแสงสว่างไฟถนน วิธีการที่เหมาะสมที่จะใช้คำนวณ คือ วิธีจุดต่อจุด (Point by Point Method) ณ จุดต่างๆบนพื้นถนน การคำนวณโดยใช้มือจะทำให้มีความล่าช้าและอาจเกิดความผิดพลาดขึ้นได้ ดังนั้นการนำเอาคอมพิวเตอร์มาใช้ในการคำนวณจึงช่วยประหยัดเวลาและมีความถูกต้องแม่นยำมาก โปรแกรมที่พัฒนาขึ้นนี้เขียนด้วยภาษา Delphi 5 นอกจากจะสามารถคำนวณความสว่าง ความส่องสว่าง และระดับแสงจ้าประเภทต่างๆของถนนตรงแล้ว ยังสามารถคำนวณความสว่าง ความส่องสว่าง และระดับแสงจ้าของถนนโค้งได้อีกด้วย การแสดงผลการคำนวณจะมีทั้ง ลักษณะที่เป็นตาราง ภาพลายเส้น ภาพแรเงา ภาพ Perspective และภาพ 3 มิติ โปรแกรมที่พัฒนาขึ้นนี้แบ่งออกเป็น 3 ส่วนใหญ่ๆ คือ

- ส่วนรับข้อมูล
- ส่วนประมวลผล
- ส่วนแสดงผล

4.1 ส่วนรับข้อมูล



รูปที่ 4-1 หน้าจอแรกของโปรแกรม

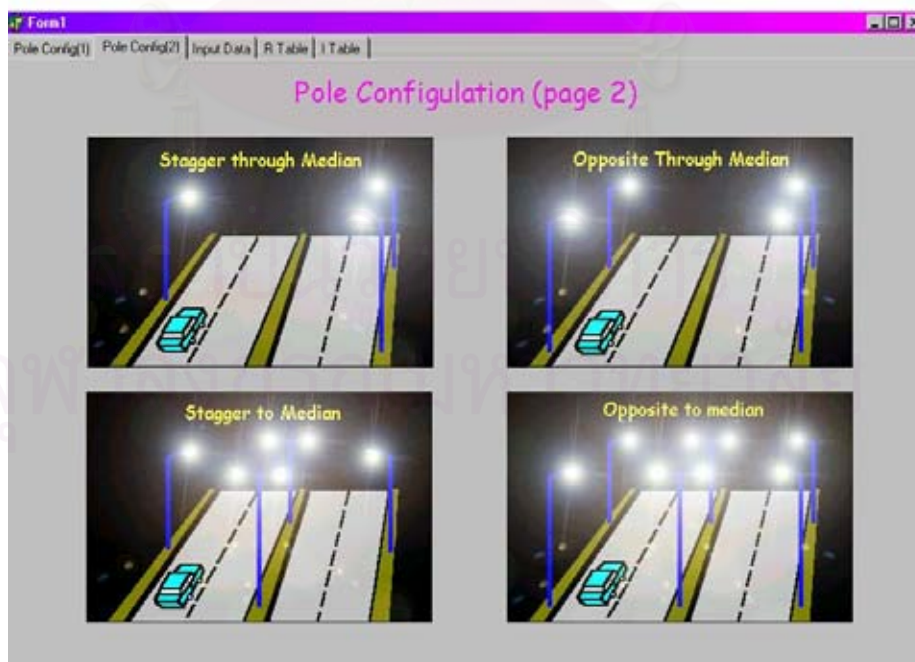
จากรูปที่ 4-1 หน้าจอแรกของโปรแกรมจะมี 2 ส่วน ให้ผู้ใช้เลือก คือ

1. Conventional System
2. High Mast System

4.1.1 ระบบเสาธรรมดา (Conventional System)



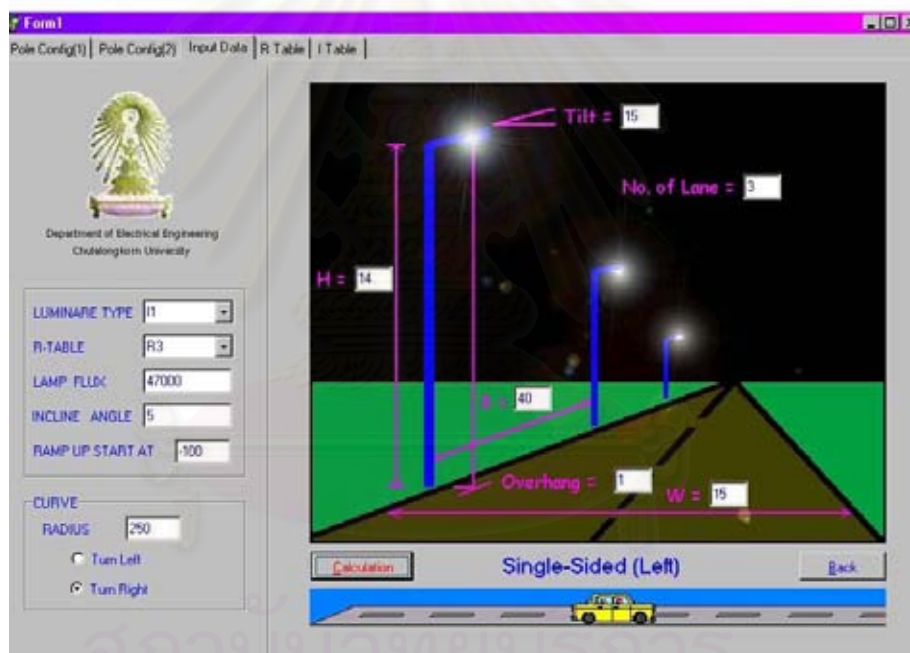
รูปที่ 4-2 Pole Configuration (page1)



รูปที่ 4-3 Pole Configuration (page2)

ถ้าเราเลือก Conventional System โปรแกรมจะเข้าสู่ส่วนของการติดตั้งเสาไฟถนนระบบเสาธรรมดา จากรูปที่ 4-2 และ รูปที่ 4-3 จะแสดงลักษณะการติดตั้งเสาไฟให้เลือก 9 แบบ ดังนี้

1. Single Sided (Left)
2. Single Sided (Right)
3. Opposite
4. Staggered
5. Median Only
6. Stagger Through Median
7. Opposite Through Median
8. Stagger To Median
9. Opposite To Median



รูปที่ 4-4 หน้าจอ Input Data ระบบเสาธรรมดา

จากรูปที่ 4-4 ผู้ใช้ต้องเลือก LUMINARE TYPE และ R-TABLE จากข้อมูลที่มีอยู่ใน โปรแกรม และ ต้องระบุค่า LAMP FLUX และ INCLINE ANGLE

โดยถ้า INCLINE ANGLE เท่ากับ 0 หมายถึง ถนนอยู่บนพื้นราบธรรมดา

INCLINE ANGLE มากกว่า 0 หมายถึง ถนนเอียงขึ้น

ผู้ใช้จะต้องระบุตำแหน่งที่ถนนเริ่มเอียงขึ้นห่างจากจุดแรกที่พิจารณาโดยต้องน้อยกว่า -60 เมตร

INCLINE ANGLE น้อยกว่า 0 หมายถึง ถนนเอียงลง

ผู้ใช้จะต้องระบุตำแหน่งที่ถนนเริ่มเอียงลงห่างจากจุดแรกที่พิจารณาโดยต้องมากกว่า 1 ช่วง Space

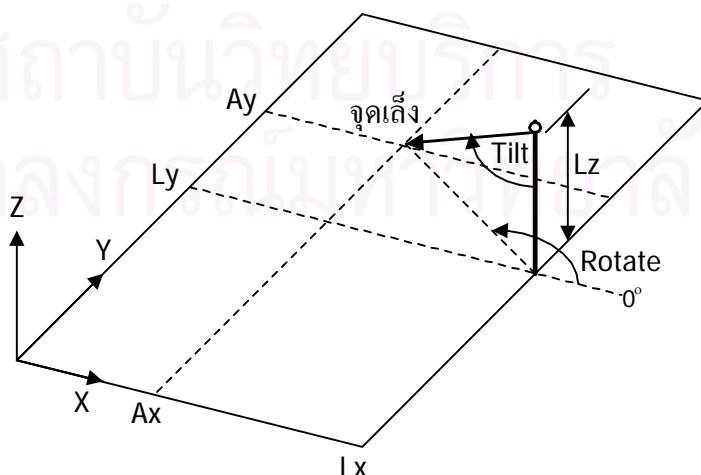
ส่วน CURVE ถ้าผู้ใช้ต้องการพิจารณาถนนตรง RADIUS จะเท่ากับ 0 หรือไม่ใส่ก็ได้ แต่ถ้าผู้ใช้ต้องการพิจารณาถนนโค้ง จะต้องใส่ค่า RADIUS และเลือกว่า ถนนเลียซ้ายหรือเลียขวา

4.1.2 ระบบเสาสูง (High Mast System)



รูปที่ 4-5 หน้าจอ Input Data ระบบเสาสูง (กรณีทางตรง)

จากรูปที่ 4-5 ผู้ใช้จะใส่ข้อมูลเหมือนกับกรณีระบบเสาธรรมดา แต่จะมีส่วนที่เพิ่มเติมมาดังแสดงในรูปที่ 4-7



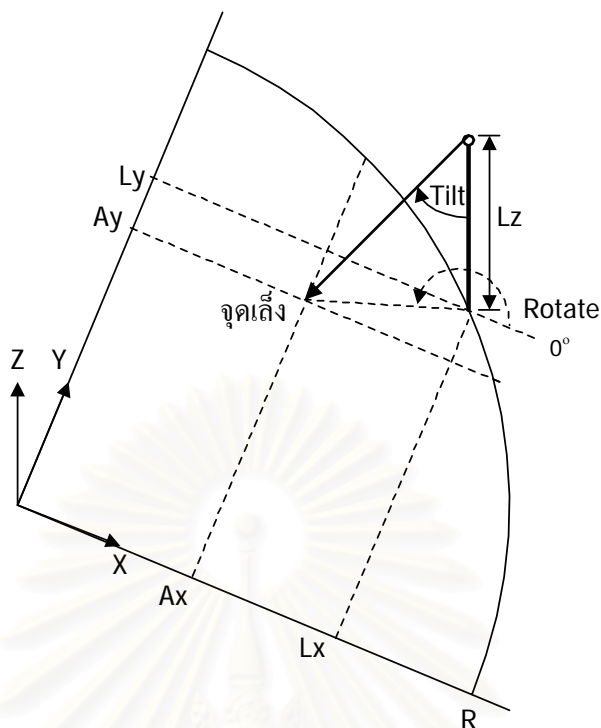
รูปที่ 4-6 ข้อมูลที่ใช้ป้อนในหน้าจอ Input Data of Luminaire (กรณีทางตรง)

โดยที่ผู้ใช้ต้องใส่ข้อมูลในส่วนของ Luminaire Position ให้ครบ ส่วนในส่วนของ Aiming Position และ Aiming Direction ผู้ใช้จะเลือกใส่ข้อมูลในส่วนใดส่วนหนึ่งก็ได้ โปรแกรมจะคำนวณส่วนที่เหลือให้โดยอัตโนมัติ จำนวนโคมไฟที่ปรากฏในตารางจะเป็นจำนวนโคมไฟต่อ 1 เสาไฟเท่านั้น

No.	Code	Lumen	Luminaire Position			Aiming Position			Aiming Direction	
			X	Y	Z	X	Y	Z	Rotate	Tilt
1	11	47000	15	0	30	10.98	5.96	0	120	15
2	11	47000	15	0	30	8.04	4.02	0	150	15
3	11	47000	15	0	30	8.04	-4.02	0	-150	15
4	11	47000	15	0	30	10.98	-6.96	0	-120	15

รูปที่ 4-7 หน้าจอ Input Data of Luminaire ของระบบเสาสูง (กรณีทางตรง)

รูปที่ 4-8 หน้าจอ Input Data ระบบเสาสูง (กรณีทางโค้ง)



รูปที่ 4-9 ข้อมูลที่ใช้ป้อนในหน้าจอ *Input Data of Luminaire* (กรณีทางโค้ง)

No.	Code	Lumen	Luminaire Position			Aiming Position			Aiming Direction	
			X	Y	Z	X	Y	Z	Rotate	Tilt
1	l1	47000	250	0	30	245.98	6.96	0	120	15
2	l1	47000	250	0	30	243.04	4.02	0	150	15
3	l1	47000	250	0	30	243.04	-4.02	0	-150	15
4	l1	47000	250	0	30	245.98	-6.96	0	-120	15

รูปที่ 4-10 หน้าจอ *Input Data of Luminaire* ของระบบเสาสูง(กรณีทางโค้ง)

จากรูปที่ 4-10 ผู้ใช้จะต้องใส่ข้อมูลเหมือนกรณีของถนนตรง ซึ่งค่าที่แสดงจะเป็นค่าเทียบกับระนาบบนพื้นราบในระบบ X-Y System

4.2 ส่วนประมวลผล

4.2.1 ส่วนจัดเก็บข้อมูล

ข้อมูลการกระจายแสงของดวงโคม และ R-TABLE จะมีการจัดเก็บไว้เป็นฐานข้อมูล ซึ่งสามารถนำออกมาใช้ได้โดยไม่ต้องป้อนข้อมูลใหม่ทุกครั้งที่มีการคำนวณ นอกจากนี้ยังสามารถแก้ไขและเพิ่มเติมข้อมูลได้

4.2.2 ส่วนคำนวณผลลัพธ์

ข้อมูลที่จำเป็นในการคำนวณ

1) ข้อมูลเกี่ยวกับถนน

- ชนิดของผิวถนน
- ลักษณะของถนน
- จำนวนช่องวิ่ง (Lane) ต่อทางวิ่ง
- ความกว้างของถนน
- ความกว้างของเกาะกลางถนน (ถ้ามี)
- ขนาดของมุมเอียง (Incline Angle)

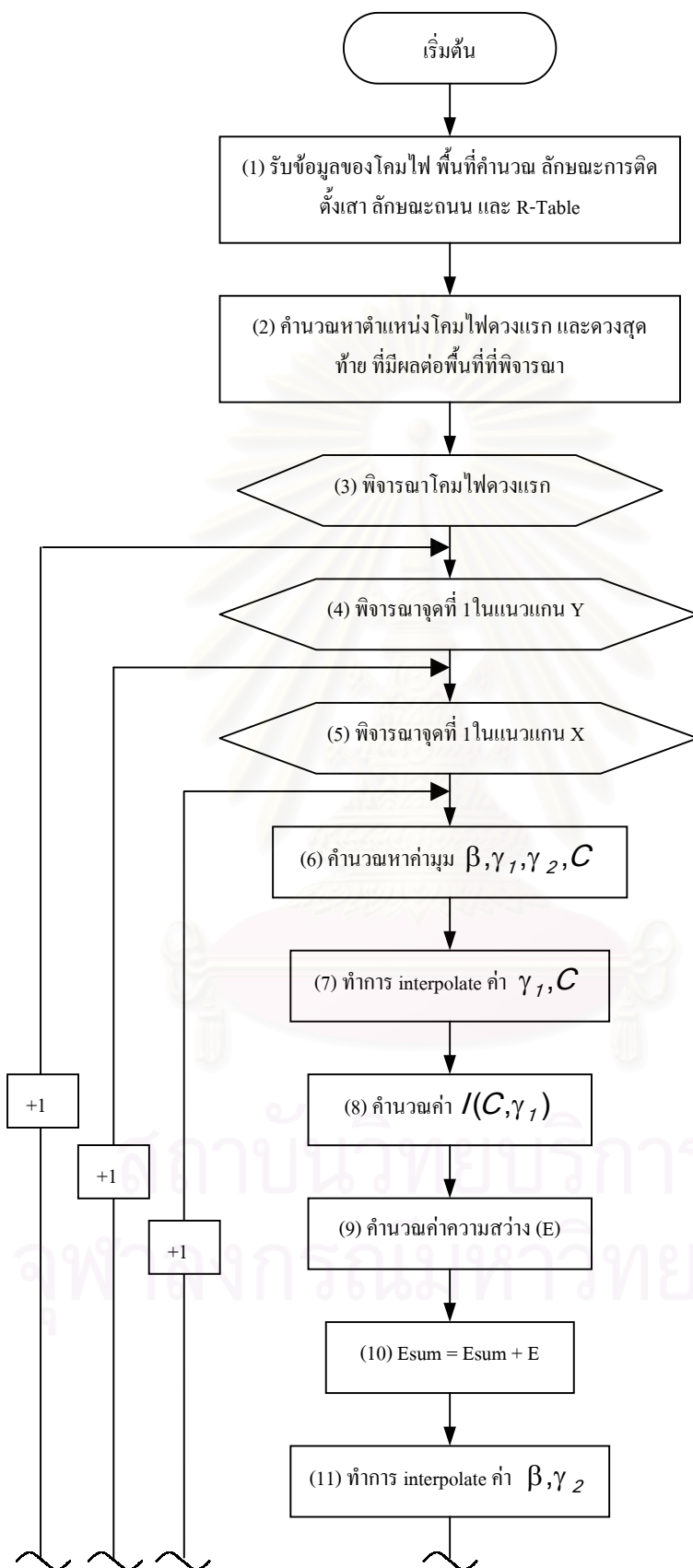
2) ข้อมูลเกี่ยวกับรายละเอียดการติดตั้งโคม

- ความสูงของเสาไฟ (Mounting Height)
- ระยะห่างระหว่างเสาไฟในแนวแถวเดียวกัน (Spacing)
- รูปแบบการติดตั้งเสา (Arrangement)
- ระยะช่วงยื่น (Overhang)
- มุมเอียงของดวงโคม (Tilt Angle)
- จุดเล็ง (Aiming Point) กรณีระบบเสาสูง

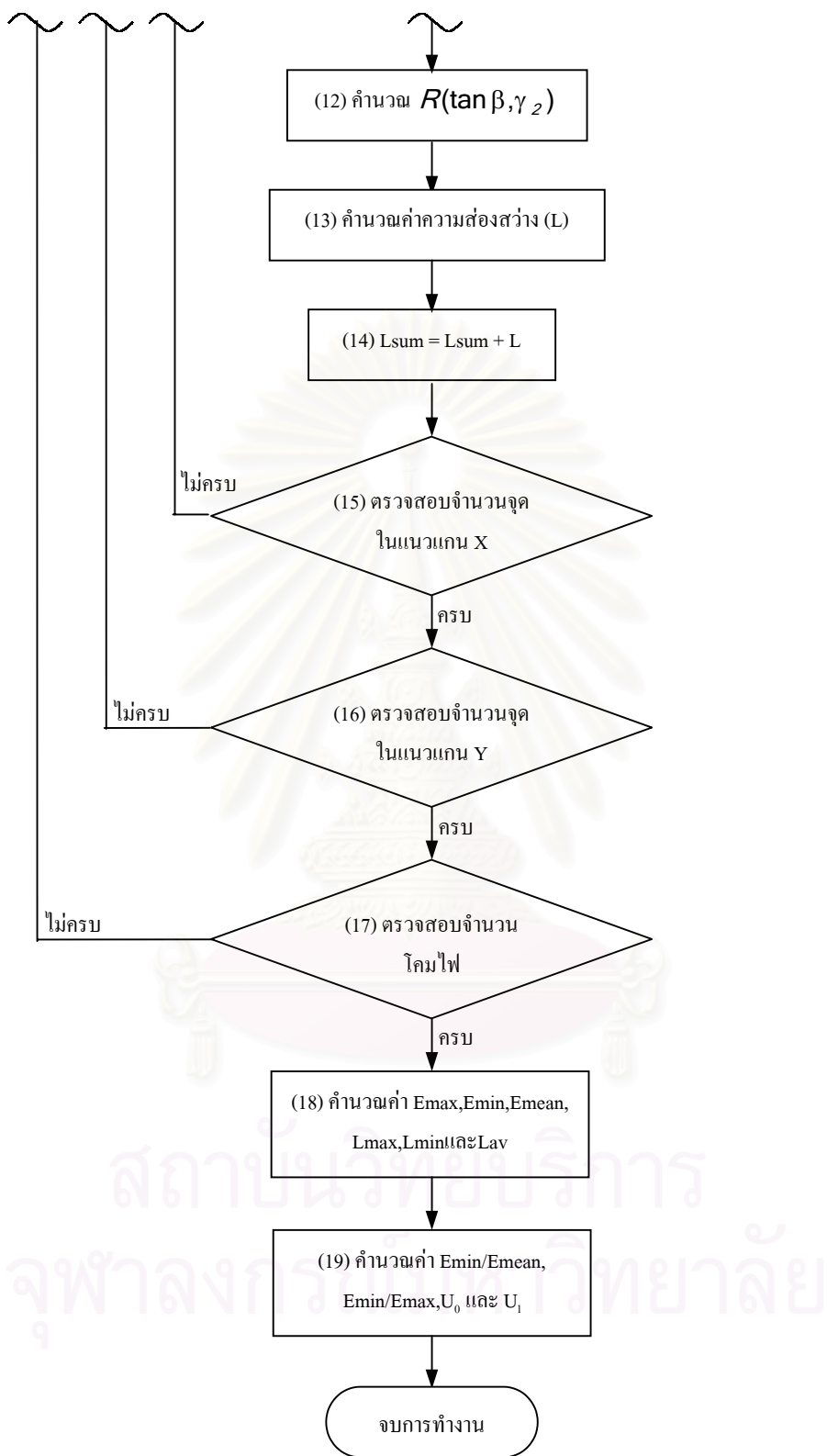
3) ข้อมูลเกี่ยวกับดวงโคม

- การกระจายค่าความเข้มส่องสว่างของโคม ซึ่งแสดงข้อมูลเป็น แคนเดลา ต่อ 1000 ลูเมน ของหลอดไฟที่ใช้กับโคม ระนาบมุมที่ทำการวัดนั้นจะใช้ระบบ C - γ
- ฟลักซ์ส่องสว่างของหลอดไฟ

4.2.2.1 ส่วนคำนวณของระบบเสาธรรมดา

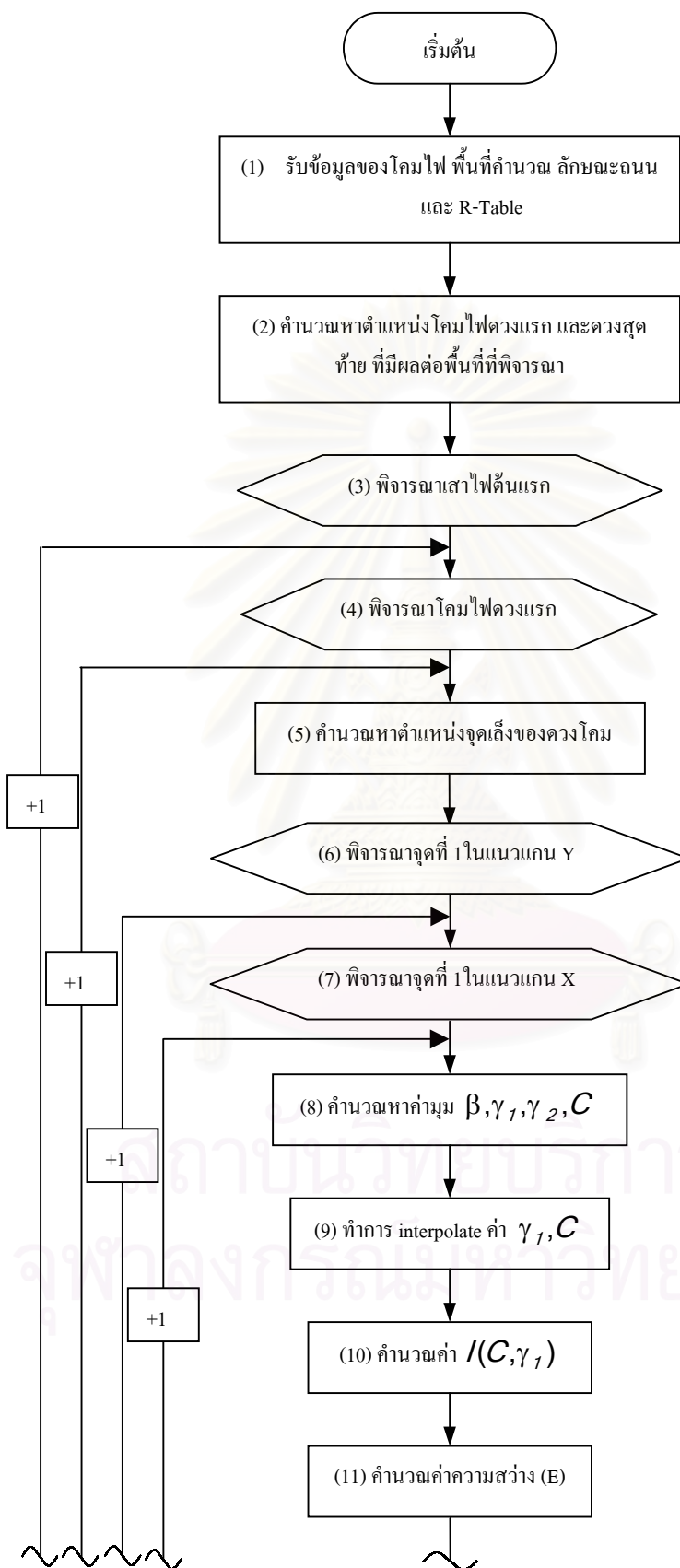


รูปที่ 4-11 แผนภาพแสดงการคำนวณความส่องสว่างของระบบเสาธรรมดา

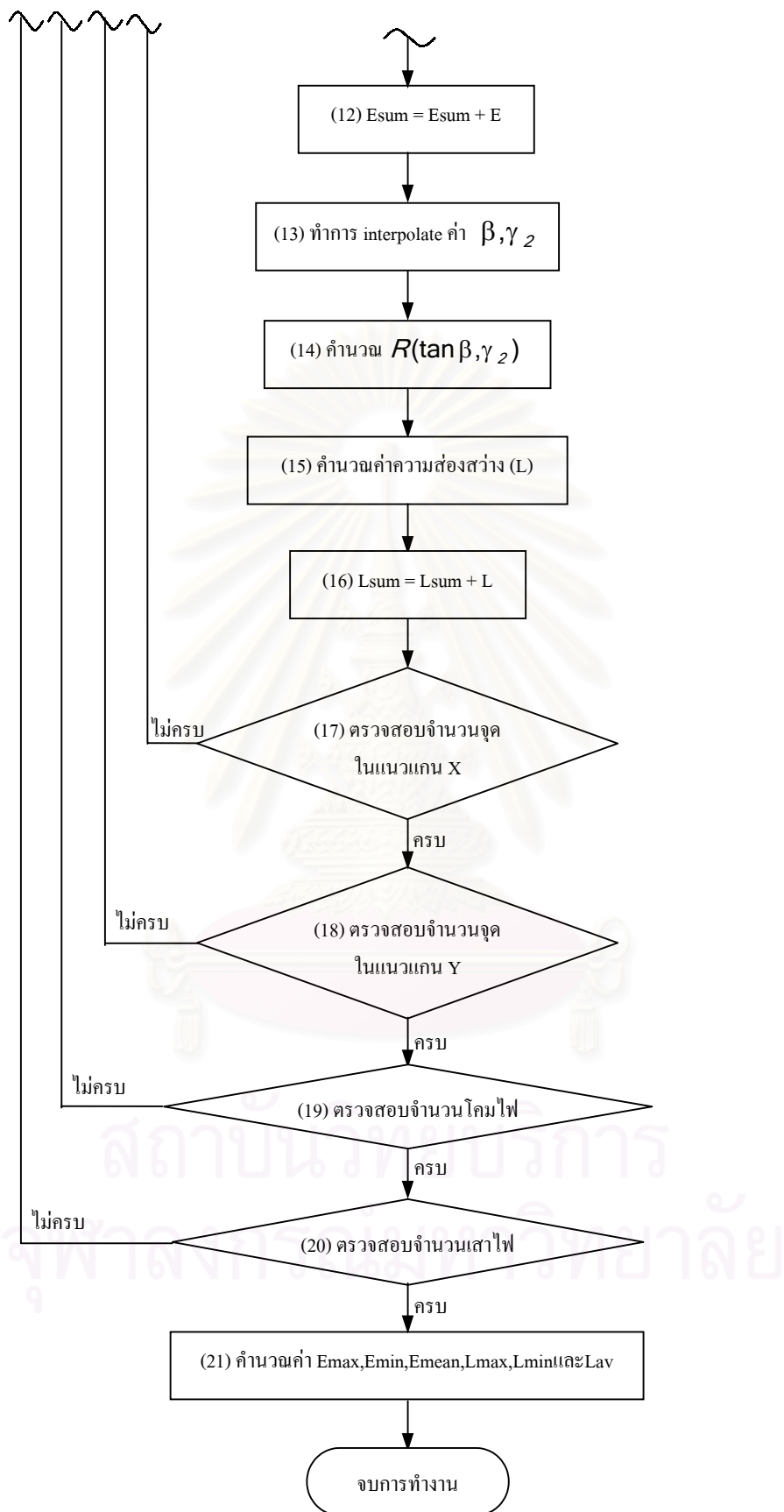


รูปที่ 4-11 (ต่อ) แผนภาพแสดงการคำนวณความส่องสว่างของระบบเสาธรรมดา

4.2.2.2 ส่วนคำนวณของระบบเสาสูง

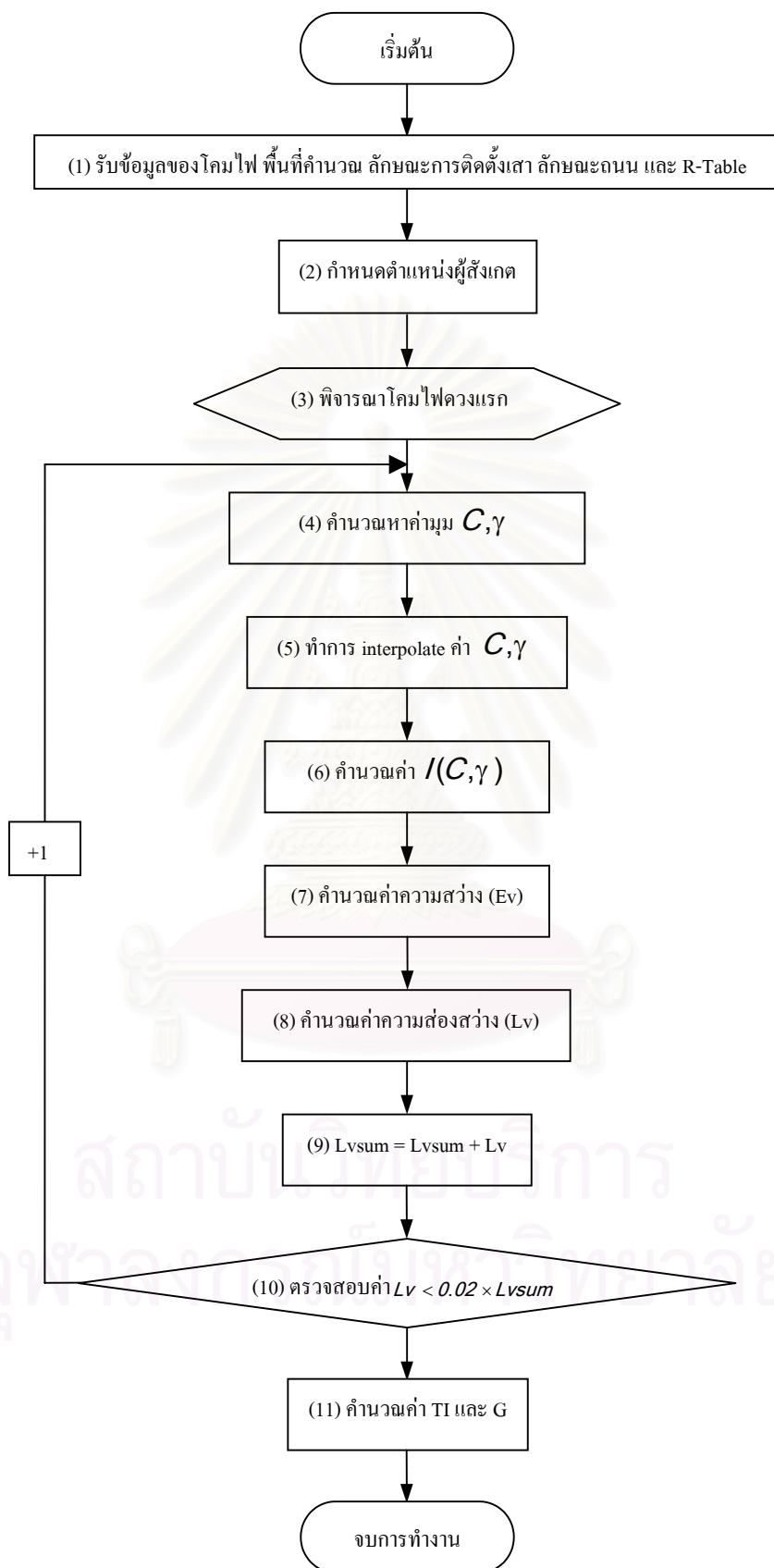


รูปที่ 4-12 แผนภาพแสดงการคำนวณความส่องสว่างของระบบเสาสูง



รูปที่ 4-12 (ต่อ) แผนภาพแสดงการคำนวณความส่องสว่างของระบบเสาสูง

4.2.2.3 ส่วนคำนวณแสงจ้า

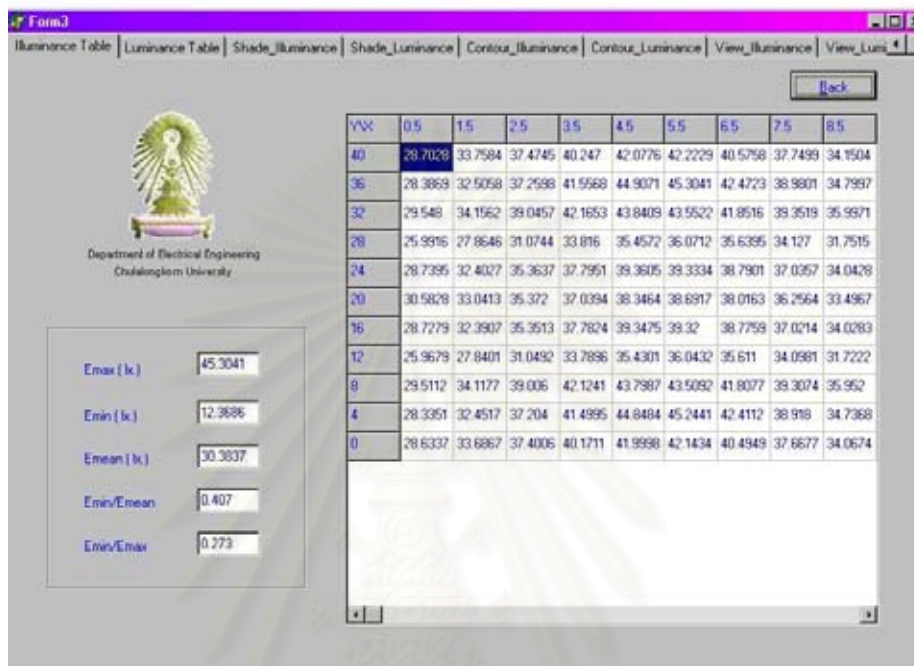


รูปที่ 4-13 แผนภาพแสดงการคำนวณ Glare

4.3 ส่วนแสดงผล

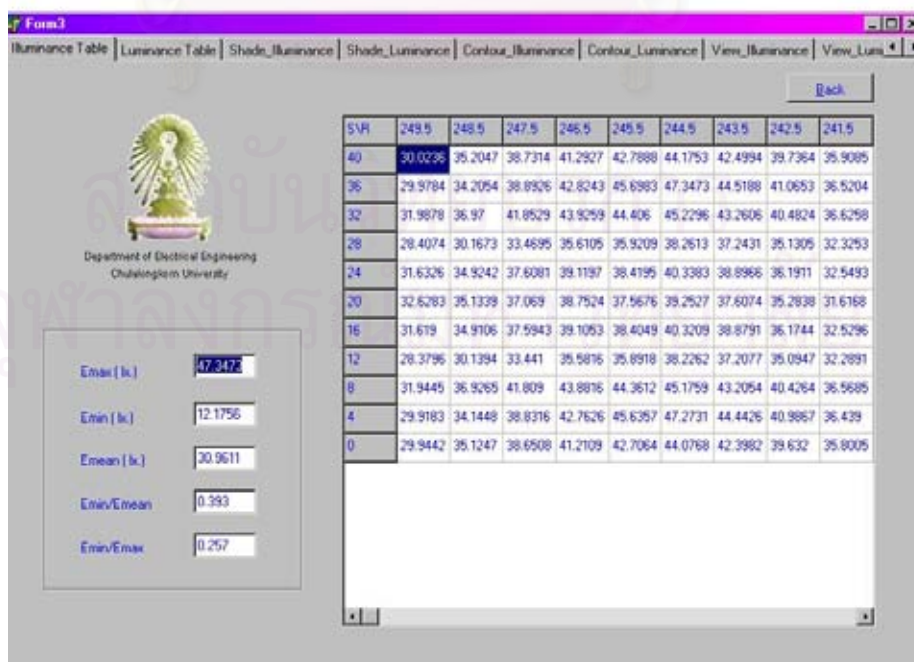
4.3.1 ตารางแสดงค่าความสว่าง

4.3.1.1 กรณีทางตรง



รูปที่ 4-14 หน้าจอแสดงตารางแสดงค่าความสว่างถนนตรง

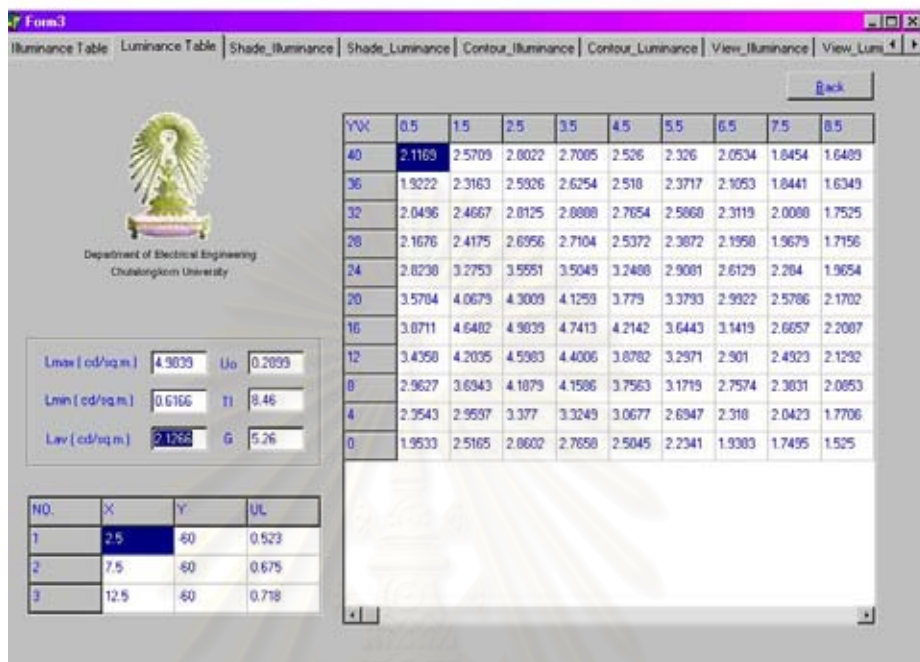
4.3.1.2 กรณีทางโค้ง



รูปที่ 4-15 หน้าจอแสดงตารางแสดงค่าความสว่างถนนโค้ง

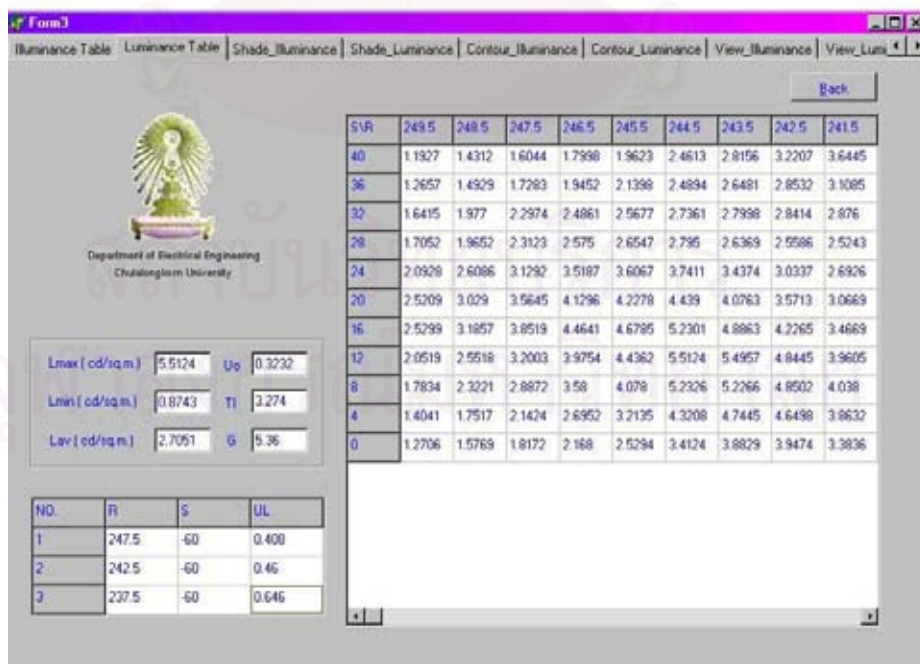
4.3.2 ตารางแสดงค่าความส่องสว่าง

4.3.2.1 กรณีทางตรง



รูปที่ 4-16 หน้าจอแสดงตารางแสดงค่าความส่องสว่างถนนตรง

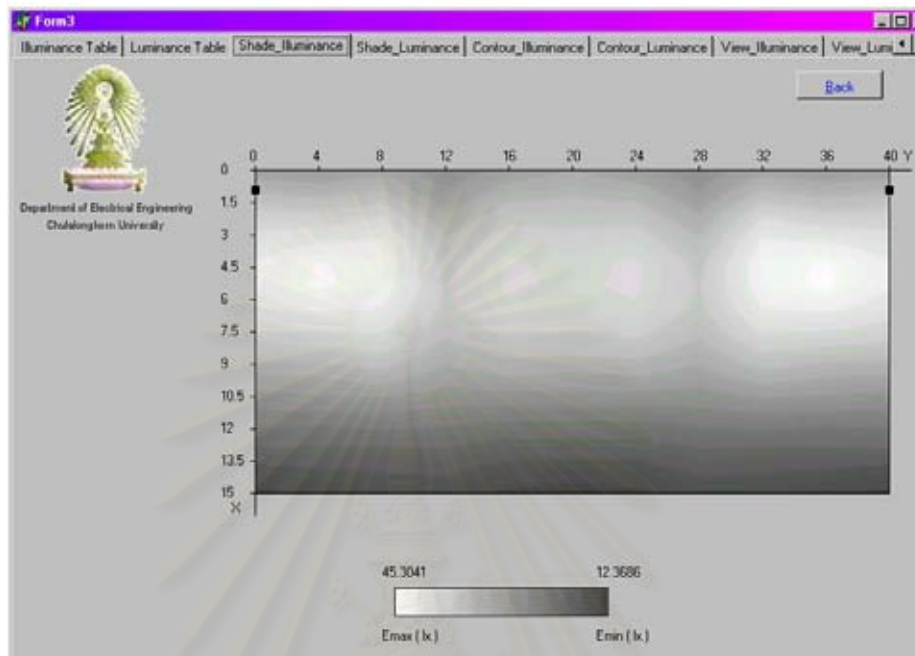
4.3.2.2 กรณีทางโค้ง



รูปที่ 4-17 หน้าจอแสดงตารางแสดงค่าความส่องสว่างถนนโค้ง

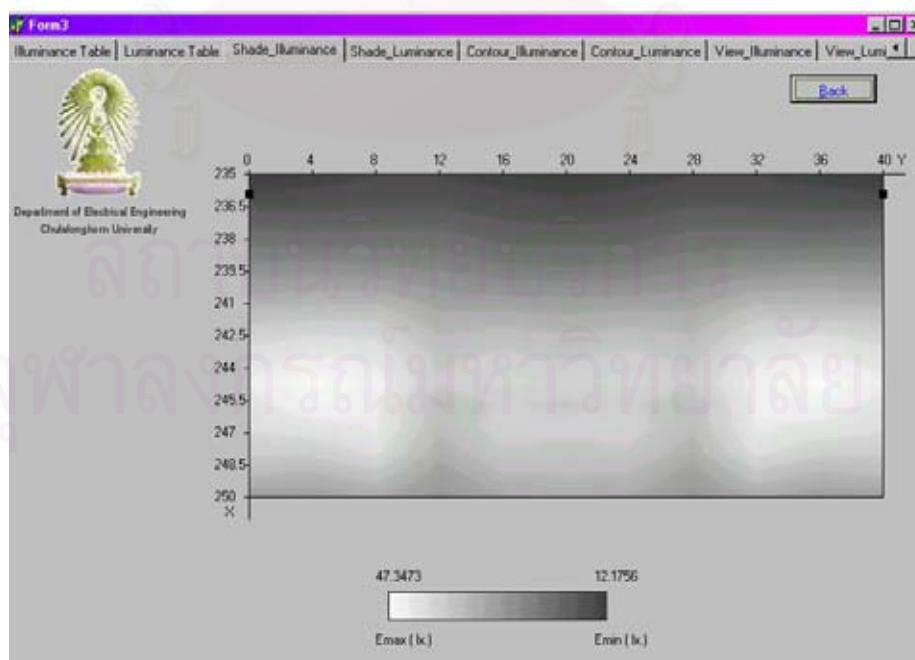
4.3.3 ภาพแรเงาของความสว่าง

4.3.3.1 กรณีทางตรง



รูปที่ 4-18 หน้าจอแสดงภาพแรเงาค่าความสว่างถนนตรง

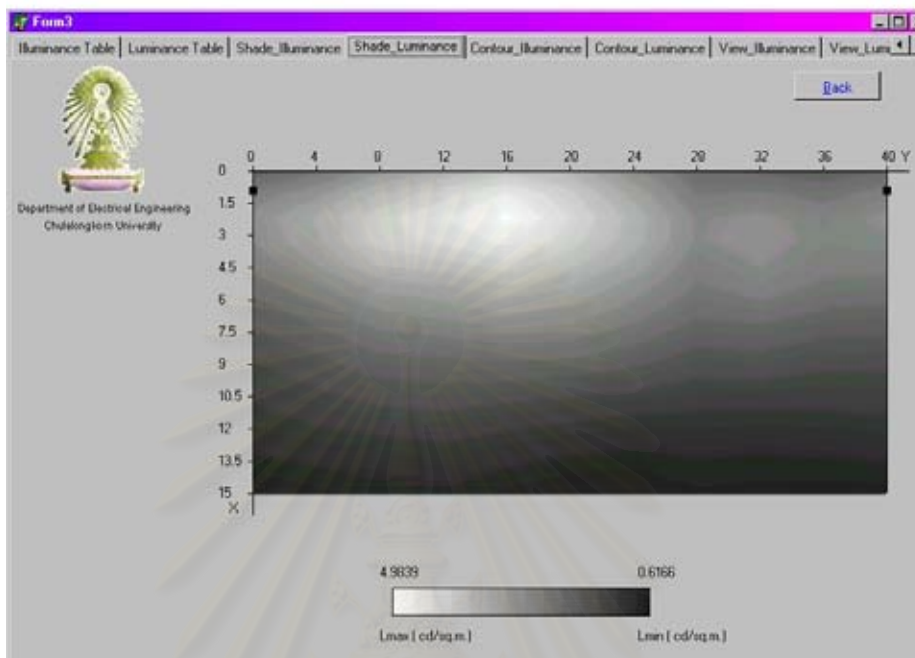
4.3.3.2 กรณีทางโค้ง



รูปที่ 4-19 หน้าจอแสดงภาพแรเงาค่าความสว่างถนนโค้ง

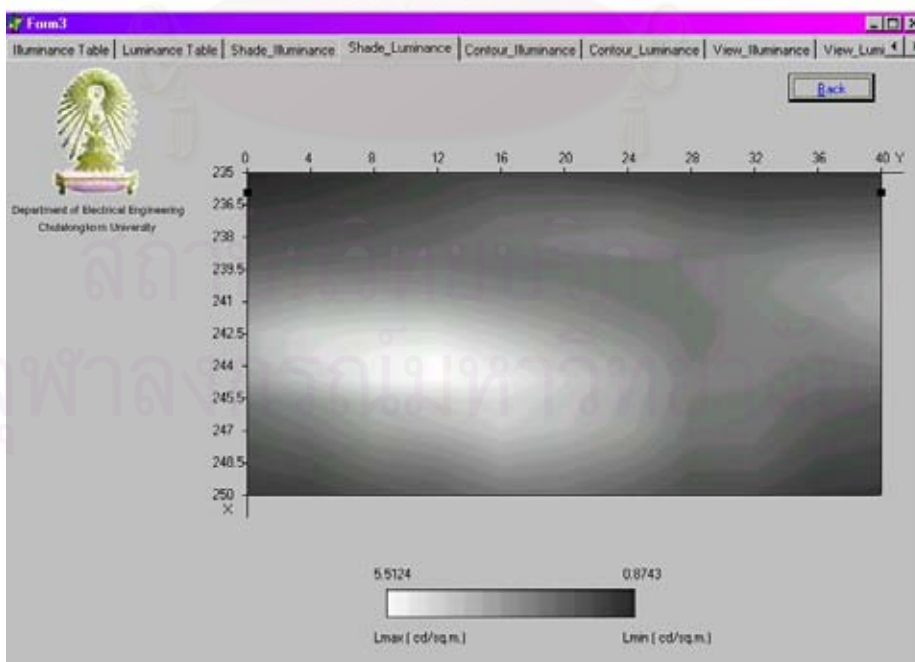
4.3.4 ภาพแรเงาของความส่องสว่าง

4.3.4.1 กรณีสองตรง



รูปที่ 4-20 หน้าจอแสดงภาพแรเงาค่าความส่องสว่างถนนตรง

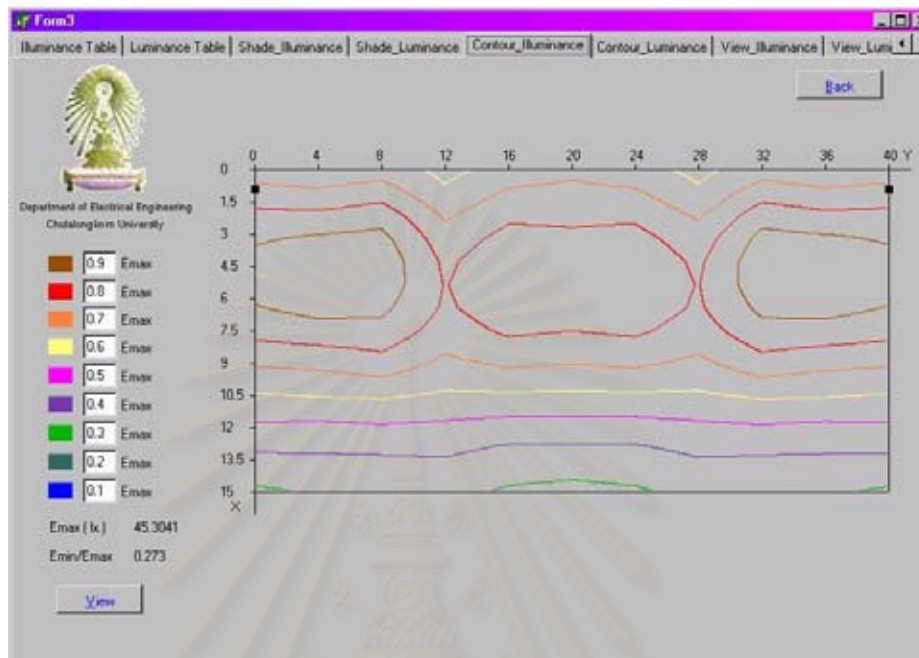
4.3.4.2 กรณีสองโค้ง



รูปที่ 4-21 หน้าจอแสดงภาพแรเงาค่าความส่องสว่างถนนโค้ง

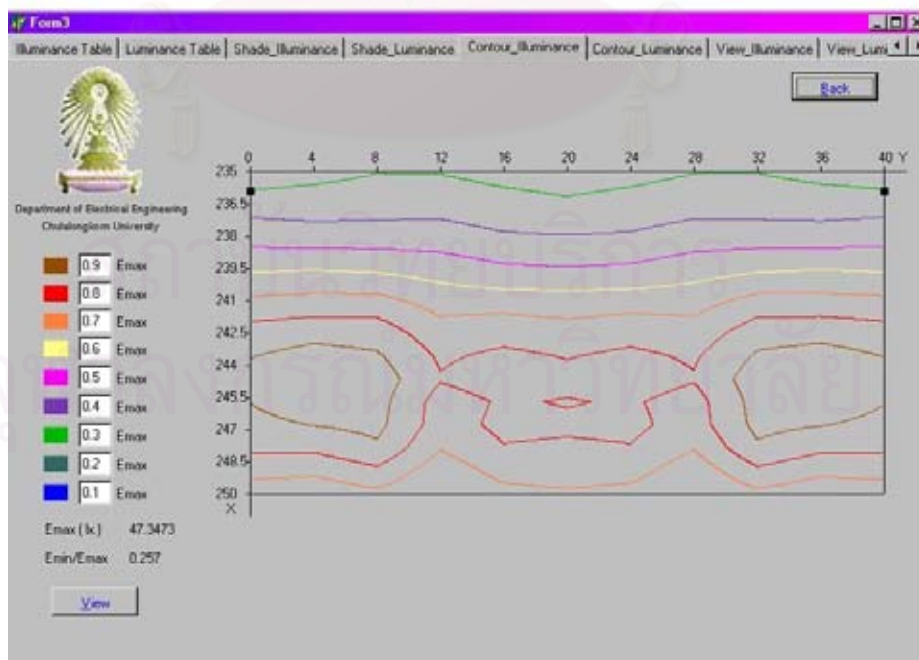
4.3.5 ภาพลายเส้นของความสว่าง

4.3.5.1 กรณีทางตรง



รูปที่ 4-22 หน้าจอแสดงภาพลายเส้นค่าความสว่างถนนตรง

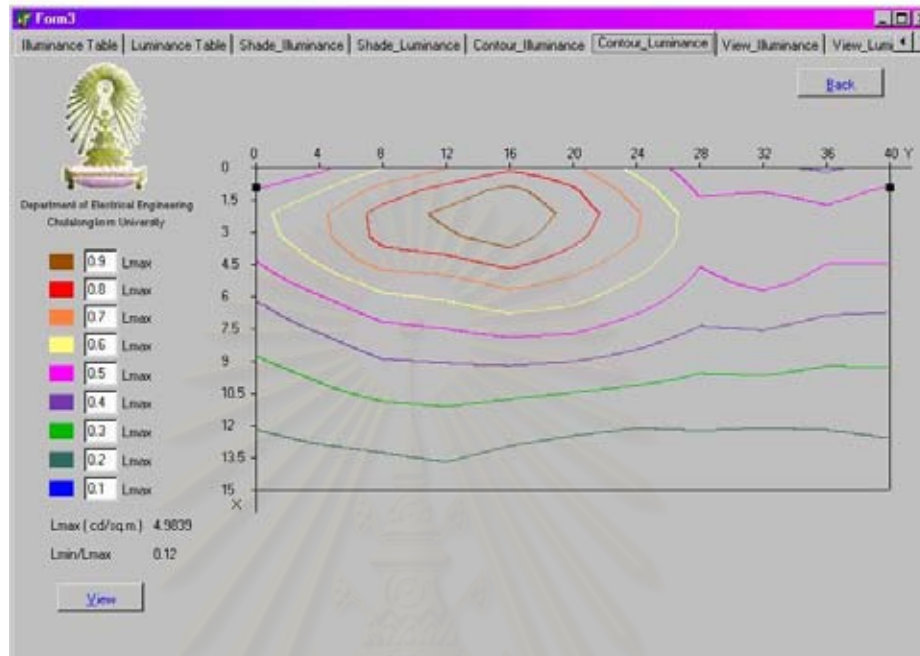
4.3.5.2 กรณีทางโค้ง



รูปที่ 4-23 หน้าจอแสดงภาพลายเส้นค่าความสว่างถนนโค้ง

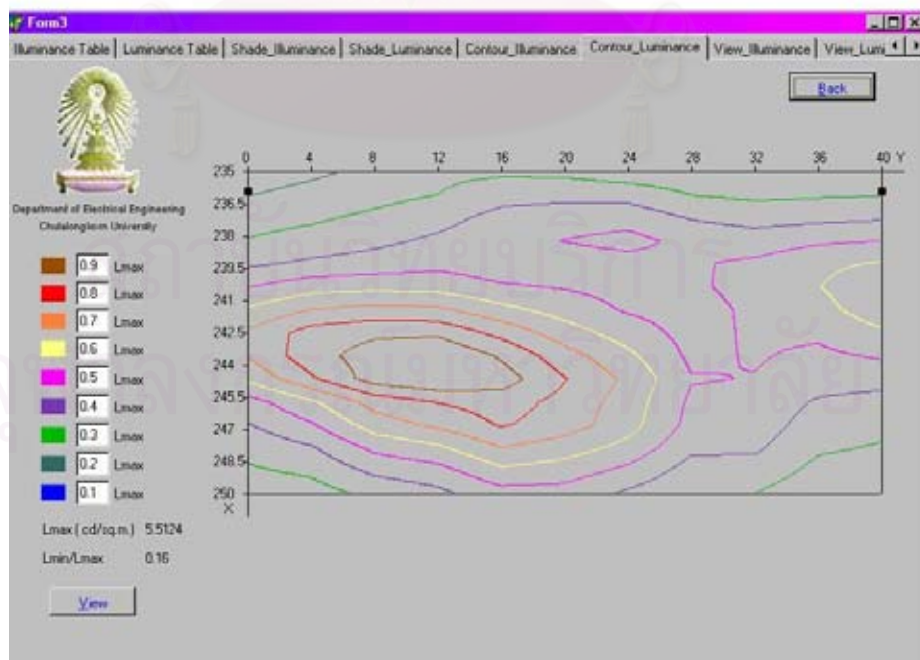
4.3.6 ภาพลายเส้นของความส่องสว่าง

4.3.6.1 กรณีทางตรง



รูปที่ 4-24 หน้าจอแสดงภาพลายเส้นค่าความส่องสว่างถนนตรง

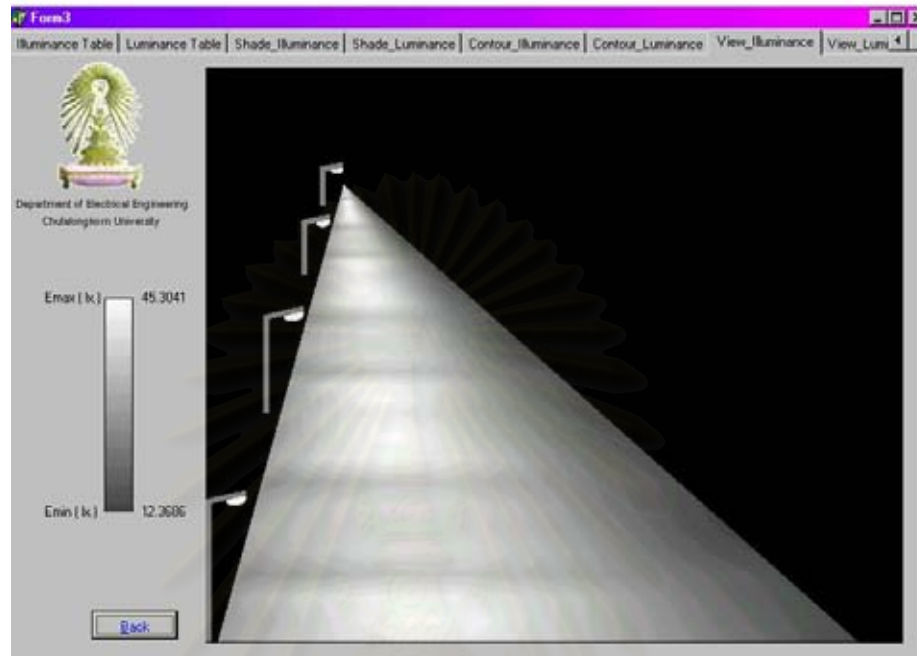
4.3.6.2 กรณีทางโค้ง



รูปที่ 4-25 หน้าจอแสดงภาพลายเส้นค่าความส่องสว่างถนนโค้ง

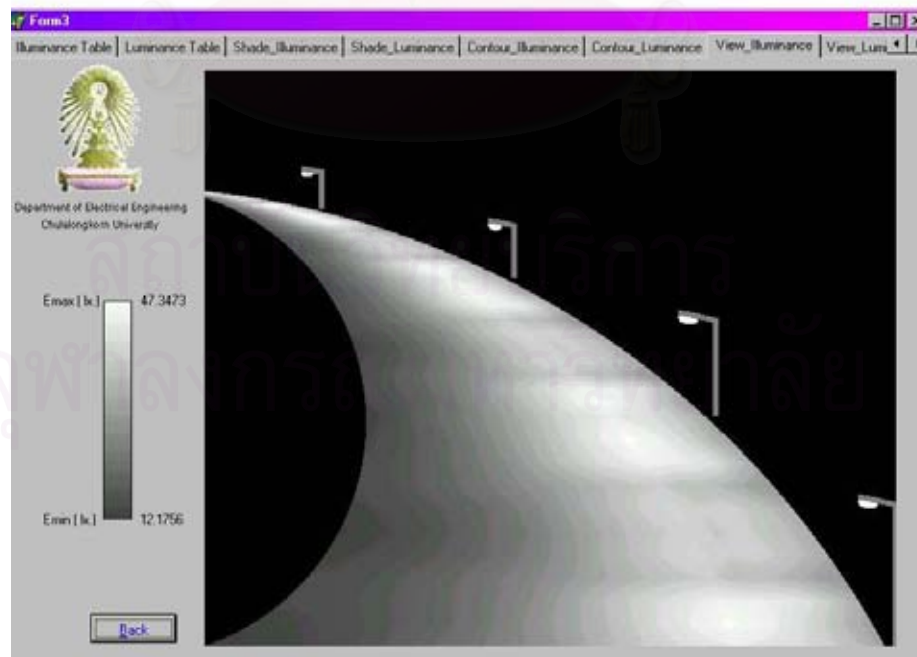
4.3.7 ภาพมุมมองของความสว่าง

4.3.7.1 กรณีทางตรง



รูปที่ 4-26 หน้าจอแสดงภาพมุมมองสูงค่าความสว่างถนนตรง

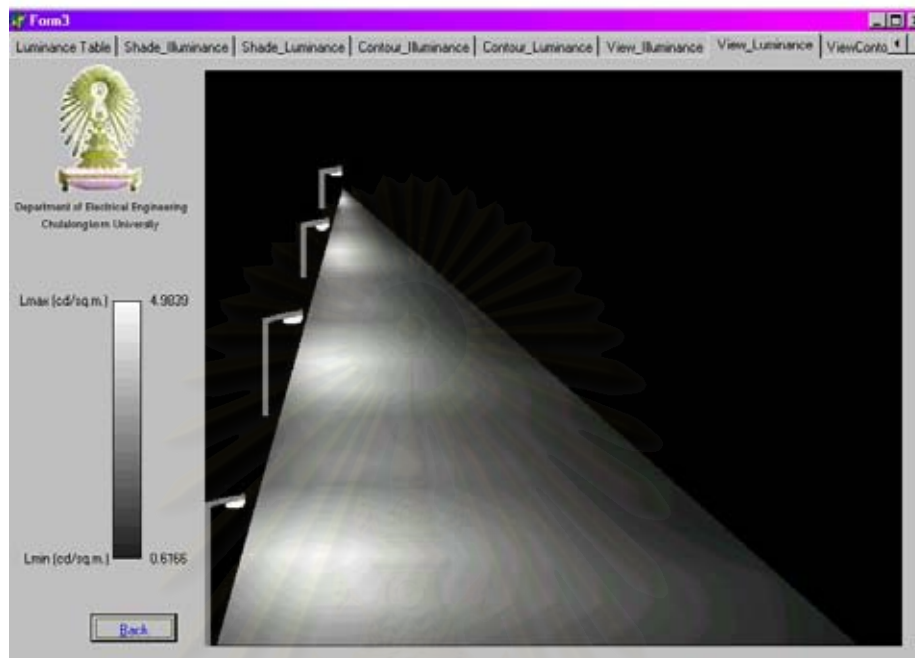
4.3.7.2 กรณีทางโค้ง



รูปที่ 4-27 หน้าจอแสดงภาพมุมมองสูงค่าความสว่างถนนโค้ง

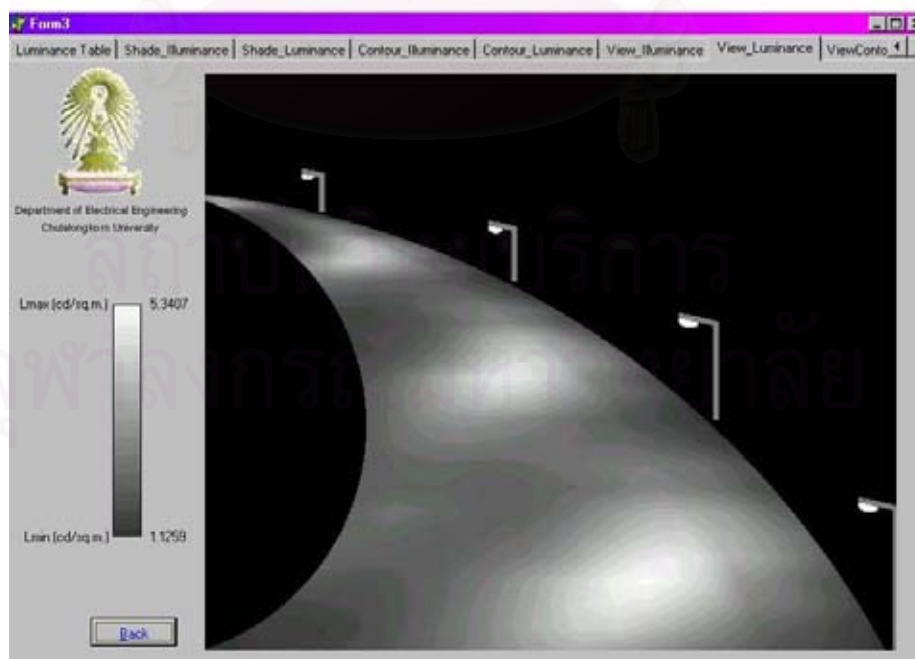
4.3.8 ภาพมุมมองของความส่องสว่าง

4.3.8.1 กรณีทางตรง



รูปที่ 4-28 หน้าจอแสดงภาพมุมมองค่าความส่องสว่างถนนตรง

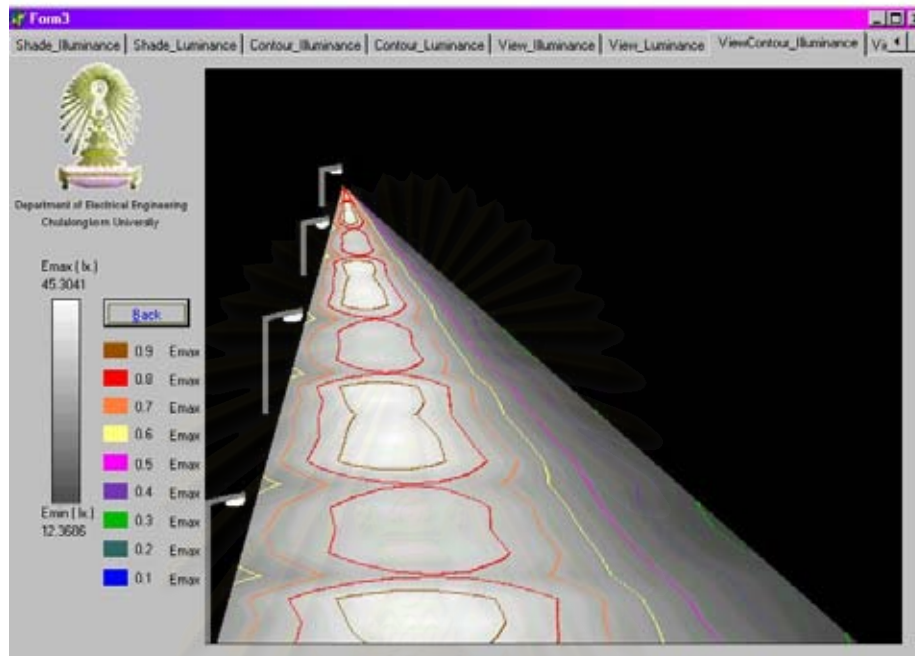
4.3.8.2 กรณีทางโค้ง



รูปที่ 4-29 หน้าจอแสดงภาพมุมมองค่าความส่องสว่างถนนโค้ง

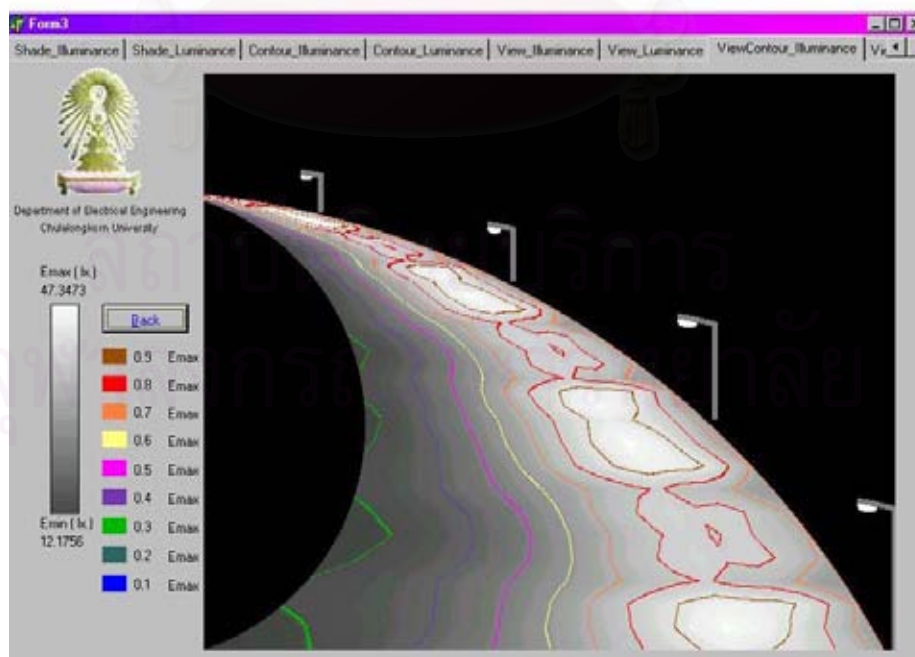
4.3.9 ภาพแรงและลายเส้นของความสว่าง

4.3.9.1 กรณีทางตรง



รูปที่ 4-30 หน้าจอแสดงภาพแรงและภาพลายเส้นค่าความสว่างถนนตรง

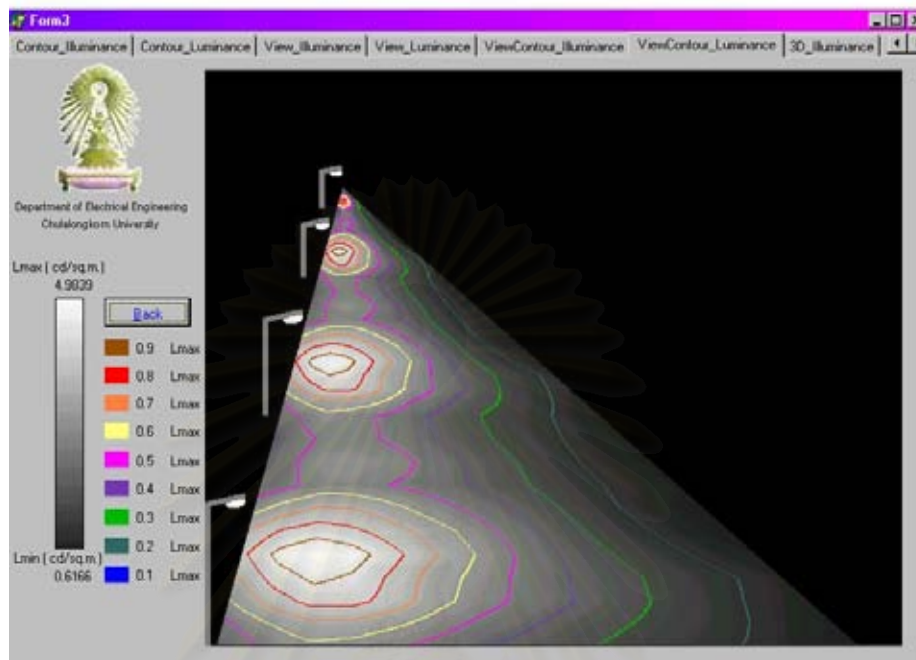
4.3.9.2 กรณีทางโค้ง



รูปที่ 4-31 หน้าจอแสดงภาพแรงและภาพลายเส้นค่าความสว่างถนนโค้ง

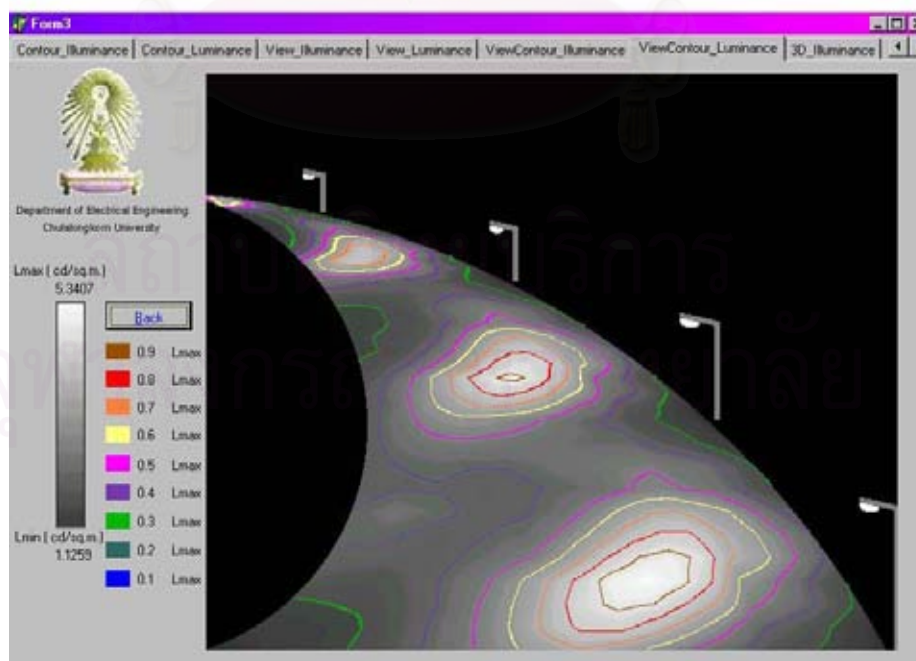
4.3.10 ภาพแรงเงาและลายเส้นของความส่องสว่าง

4.3.10.1 กรณีทางตรง



รูปที่ 4-32 หน้าจอแสดงภาพแรงเงาและภาพลายเส้นค่าความส่องสว่างถนนตรง

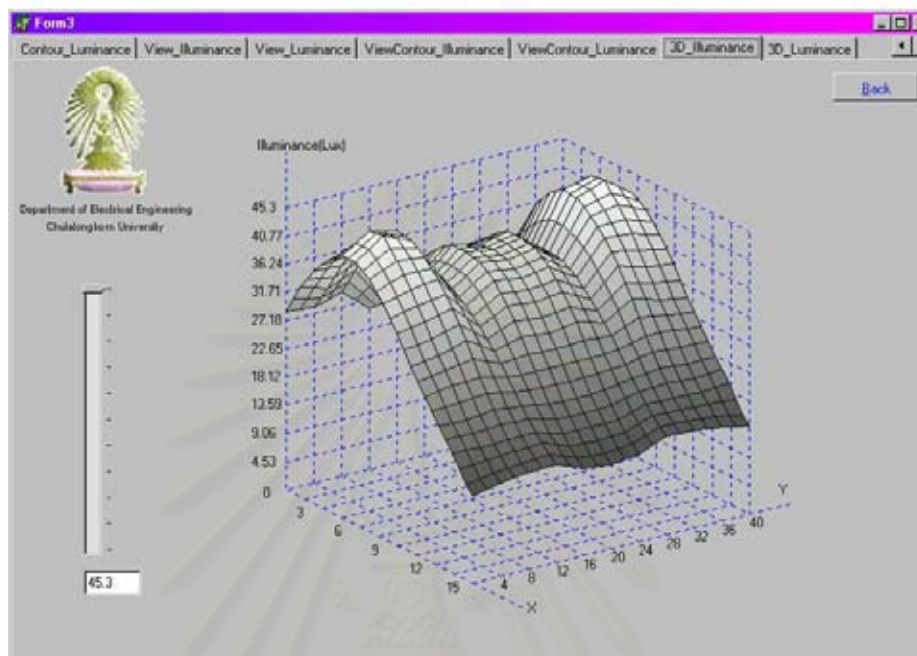
4.3.10.2 กรณีทางโค้ง



รูปที่ 4-33 หน้าจอแสดงภาพแรงเงาและภาพลายเส้นค่าความส่องสว่างถนนโค้ง

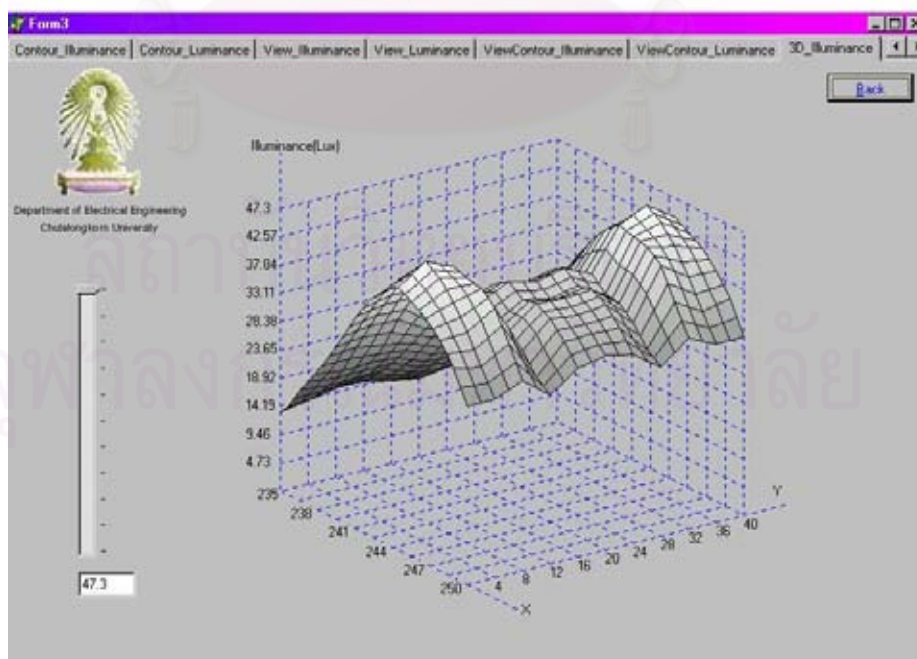
4.3.11 ภาพ 3 มิติของความสว่าง

4.3.11.1 กรณีทางตรง



รูปที่ 4-34 หน้าจอแสดงภาพ 3 มิติของค่าความสว่างถนนตรง

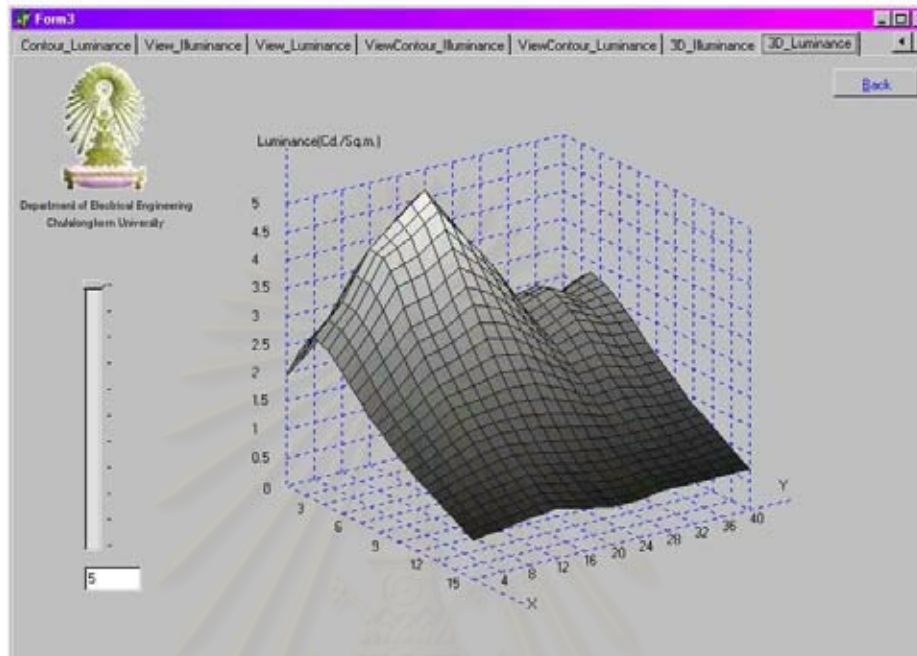
4.3.11.2 กรณีทางโค้ง



รูปที่ 4-35 หน้าจอแสดงภาพ 3 มิติของค่าความสว่างถนนโค้ง

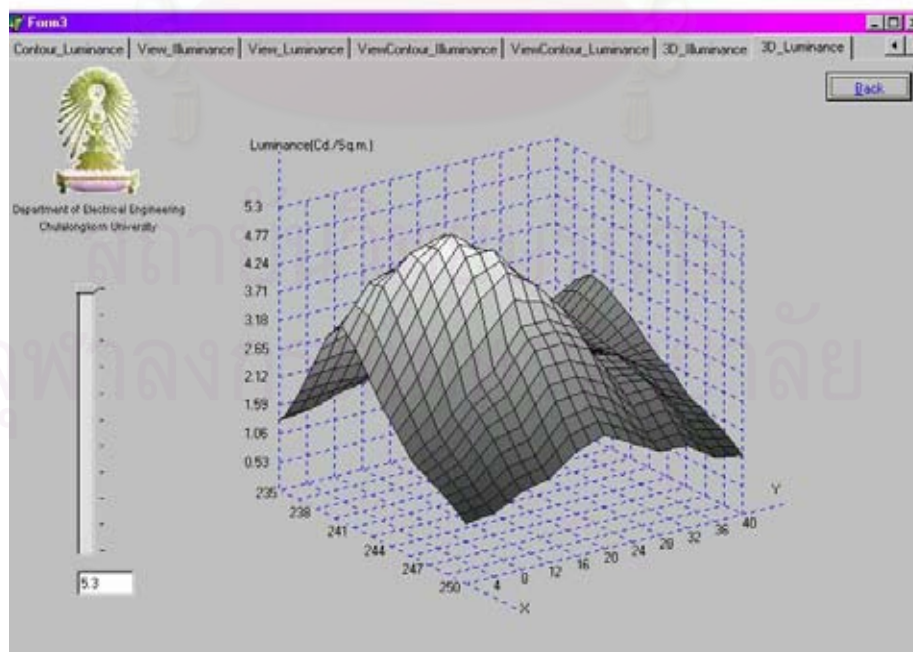
4.3.12 ภาพ 3 มิติของความส่องสว่าง

4.3.12.1 กรณีทางตรง



รูปที่ 4-36 หน้าจอแสดงภาพ 3 มิติค่าความส่องสว่างถนนตรง

4.3.12.2 กรณีทางโค้ง



รูปที่ 4-37 หน้าจอแสดงภาพ 3 มิติค่าความส่องสว่างถนนโค้ง

บทที่ 5

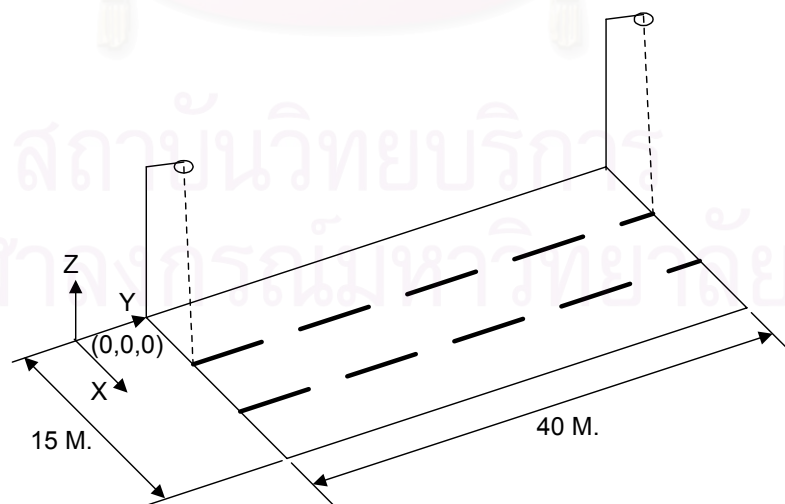
ตัวอย่างการประเมินคุณภาพการส่องสว่าง

ในบทนี้จะนำเสนอตัวอย่างการประเมินระดับคุณภาพการส่องสว่าง โดยวิธีจุดต่อจุดวิเคราะห์ระดับความสว่าง ความส่องสว่าง และแสงจ้า ของถนนตรง และถนนโค้งซึ่งการแสดงผลสามารถแสดงได้ทั้งรูปแบบของตารางข้อมูล ภาพแรเงา ภาพลายเส้น ภาพ 3 มิติ และภาพเสมือนจริงของความสว่างและความส่องสว่าง ทำให้ผู้ใช้มองเห็นภาพได้ชัดเจนยิ่งขึ้น เนื่องจากการแสดงผลเป็นรูปภาพจะสามารถสื่อสารให้เข้าใจได้ง่ายและถูกต้องกว่า

นอกจากนี้ยังมีการเปรียบเทียบระดับความสว่าง ความส่องสว่าง และแสงจ้า บนพื้นที่ที่มีลักษณะการติดตั้งที่แตกต่างกัน ชนิดถนนแตกต่างกัน และลักษณะถนนเอียงขึ้น เอียงลง เปรียบเทียบกับถนนบนพื้นราบธรรมดาอีกด้วย

5.1 กรณีที่ 1 ตัวอย่างการให้แสงสว่างถนนตรง

พื้นที่ที่ทดสอบ เป็นถนนทางตรงขนาดกว้าง 15 เมตร 3 เลน ติดตั้งโคมสูง 14 เมตร มุมเงย 15 องศา (ϕ -lamp = 47000 ลูเมน) ระยะระหว่างเสา 40 เมตร ลักษณะการติดตั้งแบบ Single-Side (left) ถนนเป็นแบบ R3 (ข้อมูลการกระจายแสงของโคมแสดงไว้ในภาคผนวก ก) (ข้อมูลการสะท้อนแสงของพื้นถนนแสดงไว้ในภาคผนวก ข)



รูปที่ 5-1 ลักษณะพื้นที่ที่ทดสอบ

ตารางที่ 5-1 ความสว่างของถนนตรง

X/Y	0.5	1.5	2.5	3.5	4.5	5.5	6.5	7.5	8.5	9.5	10.5	11.5	12.5	13.5	14.5
40	28.7	33.8	37.5	40.2	42.1	42.2	40.6	37.7	34.2	29.8	26.2	22.7	19.4	15.4	13.0
36	28.4	32.5	37.3	41.6	45.0	45.3	42.5	39.0	34.8	30.6	26.8	22.4	19.1	16.2	14.0
32	29.5	34.2	39.0	42.2	43.8	43.6	41.9	39.4	36.0	31.8	27.0	22.9	19.2	16.6	14.7
28	26.0	27.8	31.1	33.9	35.5	36.0	35.6	34.1	31.8	29.1	25.9	22.4	19.3	16.9	14.7
24	28.7	32.4	35.4	37.8	39.4	39.3	38.8	37.0	34.0	30.2	25.7	21.6	17.9	15.1	13.0
20	30.6	33.0	35.4	37.0	38.3	38.7	38.0	36.3	33.5	29.6	25.7	21.4	17.9	14.7	12.4
16	28.7	32.4	35.4	37.8	39.3	39.3	38.8	37.0	34.0	30.2	25.7	21.6	17.9	15.1	13.0
12	25.9	27.8	31.0	33.8	35.4	36.0	35.6	34.1	31.7	29.1	25.8	22.3	19.3	16.9	14.7
8	29.5	34.1	39.0	42.1	43.8	43.5	41.8	39.3	36.0	31.8	27.0	22.9	19.2	16.5	14.7
4	28.3	32.4	37.2	41.5	44.9	45.2	42.4	38.9	34.7	30.5	26.7	22.3	19.1	16.2	13.9
0	28.6	33.7	37.4	40.2	42.0	42.1	40.5	37.7	34.1	29.7	26.1	22.6	19.3	15.3	13.0

ตารางที่ 5-2 ความส่องสว่างของถนนตรง

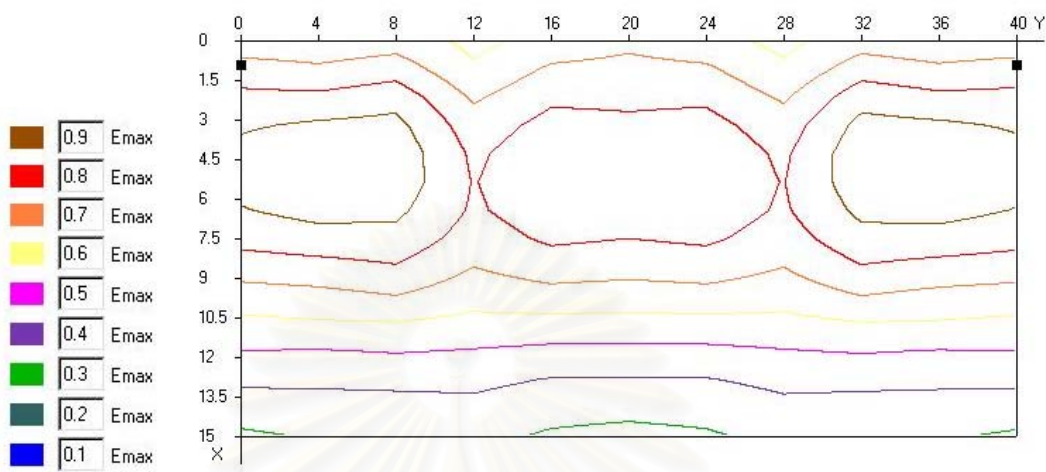
X/Y	0.5	1.5	2.5	3.5	4.5	5.5	6.5	7.5	8.5	9.5	10.5	11.5	12.5	13.5	14.5
40	2.12	2.57	2.80	2.71	2.53	2.33	2.05	1.85	1.65	1.42	1.28	1.11	0.96	0.80	0.67
36	1.92	2.31	2.59	2.63	2.52	2.37	2.11	1.84	1.63	1.41	1.24	1.06	0.90	0.78	0.68
32	2.05	2.47	2.81	2.89	2.77	2.59	2.31	2.01	1.75	1.50	1.25	1.05	0.89	0.77	0.69
28	2.17	2.42	2.70	2.71	2.54	2.39	2.20	1.97	1.72	1.48	1.25	1.06	0.91	0.80	0.71
24	2.82	3.28	3.56	3.50	3.25	2.91	2.61	2.28	1.97	1.65	1.32	1.06	0.86	0.72	0.63
20	3.58	4.07	4.30	4.13	3.78	3.38	2.99	2.58	2.17	1.77	1.42	1.14	0.92	0.74	0.62
16	3.87	4.65	4.98	4.74	4.21	3.64	3.14	2.67	2.21	1.85	1.52	1.24	1.02	0.84	0.70
12	3.44	4.20	4.60	4.40	3.88	3.30	2.90	2.49	2.13	1.85	1.59	1.34	1.13	0.96	0.81
8	2.96	3.69	4.19	4.16	3.76	3.17	2.76	2.38	2.09	1.80	1.53	1.28	1.06	0.89	0.77
4	2.35	2.96	3.38	3.32	3.07	2.69	2.32	2.04	1.77	1.56	1.37	1.18	1.00	0.83	0.70
0	1.95	2.52	2.86	2.77	2.50	2.23	1.94	1.75	1.53	1.35	1.19	1.05	0.91	0.74	0.63

ตารางที่ 5-3 ความสม่ำเสมอของความสว่างถนนตรง

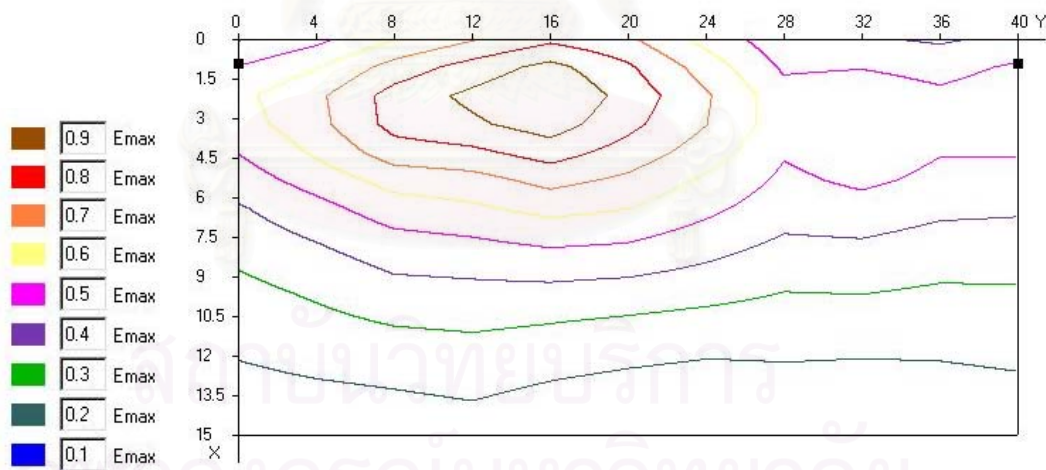
E _{min} (Lux)	E _{max} (Lux)	E _{av} (Lux)	E _{min} / E _{av}	E _{min} / E _{max}	TI	G
12.4	45.3	30.4	0.408	0.274	8.46	5.26

ตารางที่ 5-4 ความสม่ำเสมอของความส่องสว่างถนนตรง

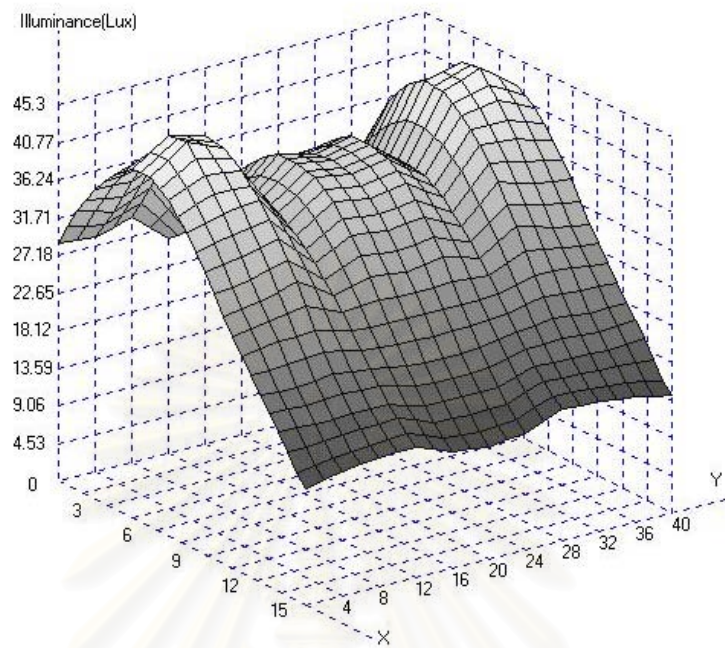
L _{min} (cd/m ²)	L _{max} (cd/m ²)	L _{av} (cd/m ²)	U ₀ L _{min} / L _{av}	U ₁₁	U ₁₂	U ₁₃
0.62	4.98	2.13	0.291	0.523	0.675	0.718



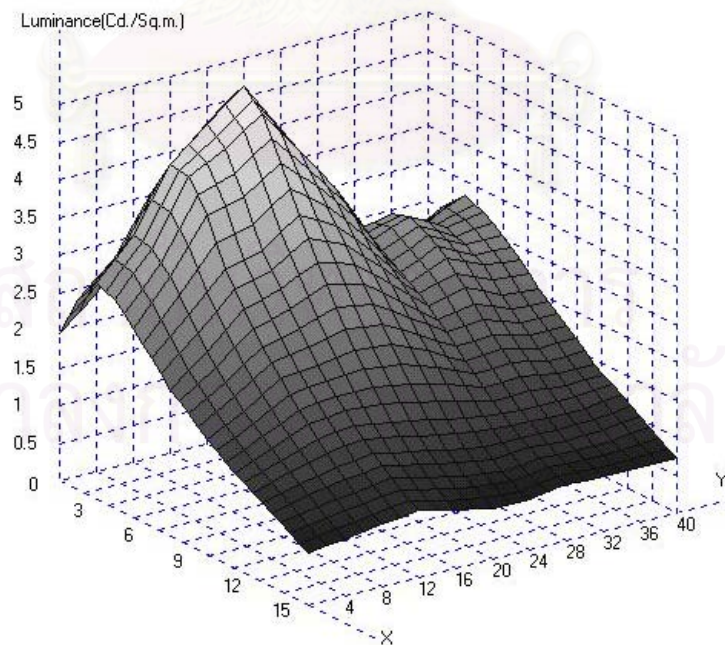
รูปที่ 5-2 ภาพลายเส้นของความสว่าง



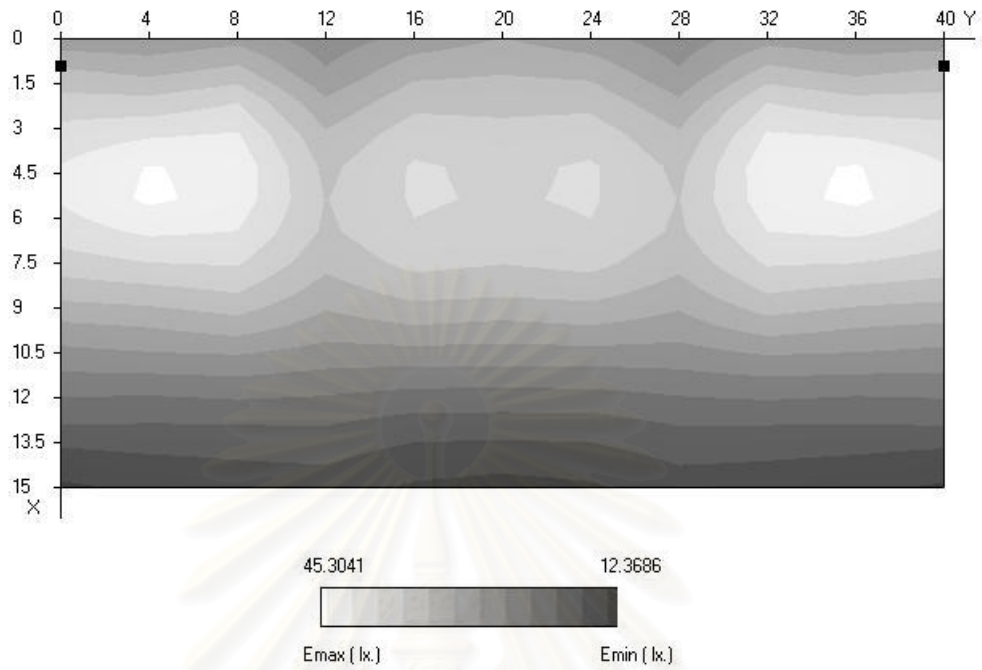
รูปที่ 5-3 ภาพลายเส้นของความส่องสว่าง



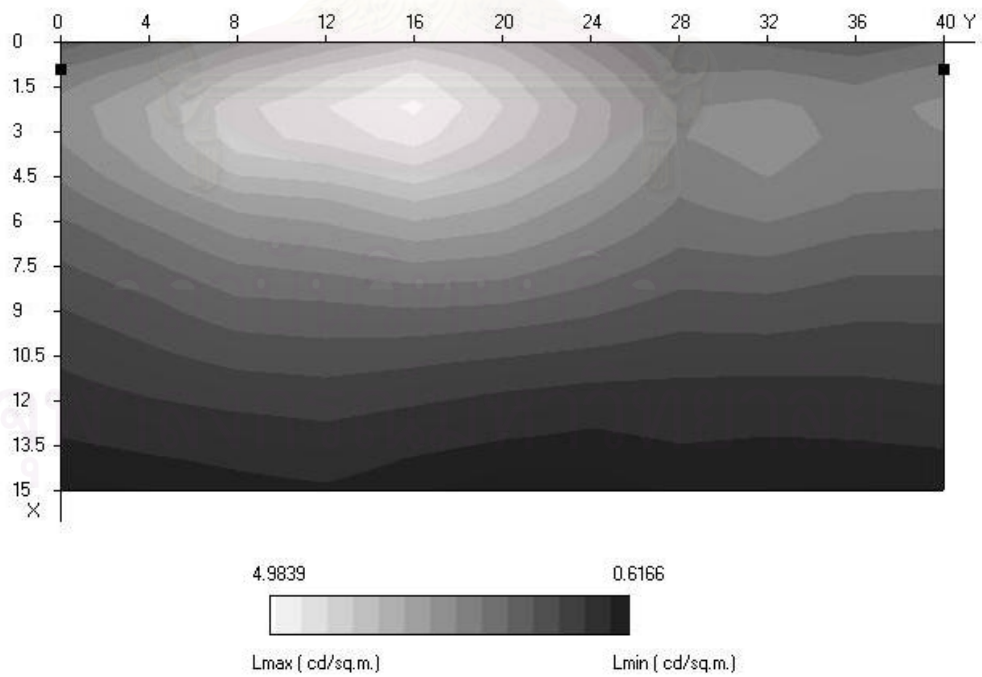
รูปที่ 5-4 ภาพสามมิติของความสว่าง



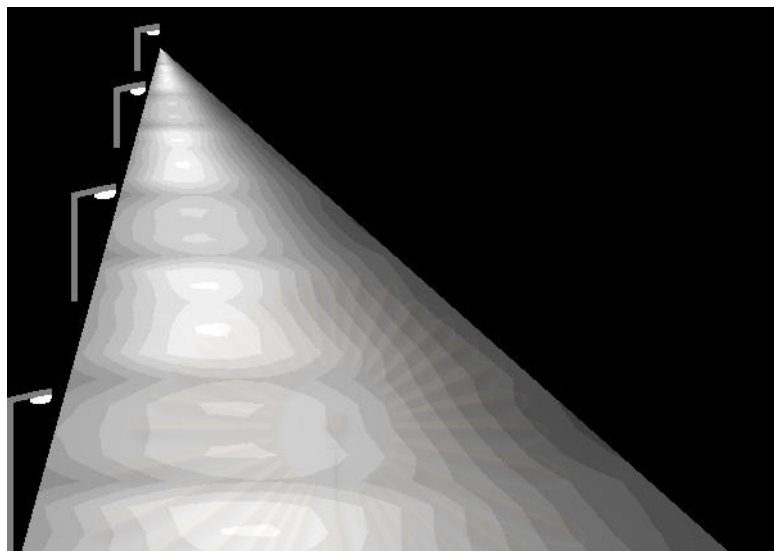
รูปที่ 5-5 ภาพสามมิติของความส่องสว่าง



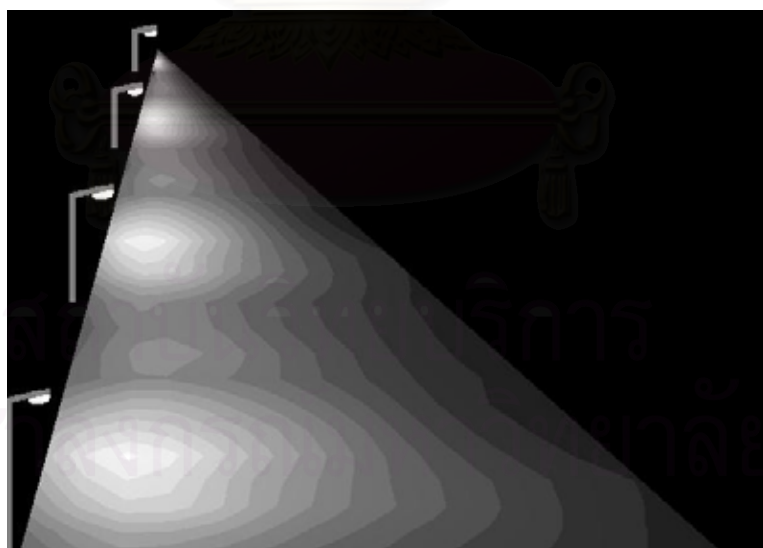
รูปที่ 5-6 ภาพแรงของแสงสว่าง



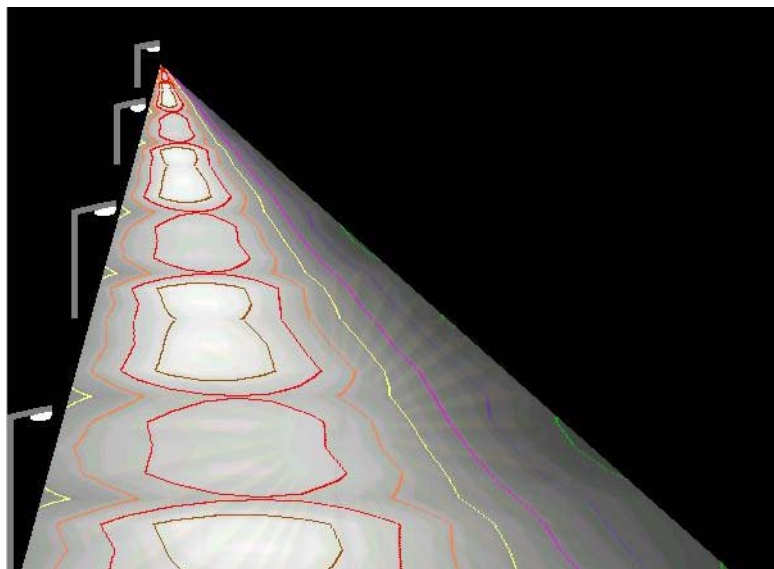
รูปที่ 5-7 ภาพแรงของแสงส่องสว่าง



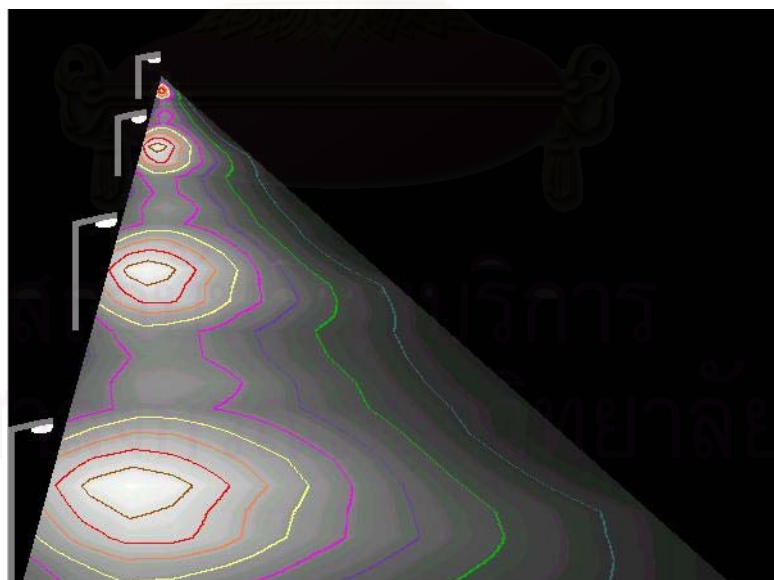
รูปที่ 5-8 ภาพ *perspective* ของความสว่าง



รูปที่ 5-9 ภาพ *perspective* ของความส่องสว่าง



รูปที่ 5-10 ภาพ perspective และลายเส้นของความสว่าง



รูปที่ 5-11 ภาพ perspective และลายเส้นของความส่องสว่าง

การวิเคราะห์ผล

- ก. จากผลการคำนวณได้ความส่องสว่างเฉลี่ยบนพื้นถนน 2.13 cd/m^2 ซึ่งมาตรฐาน CIE กำหนดไว้ที่ 2 cd/m^2 ซึ่งผ่านเงื่อนไขการให้แสงสว่าง
- ข. จากผลการคำนวณได้ความสม่ำเสมอ U_0 0.291 ซึ่งมาตรฐาน CIE กำหนดไว้ที่ 0.4 cd/m^2 จึงไม่ผ่านเงื่อนไขการให้แสงสว่าง เนื่องจากลักษณะการติดตั้งโคมเป็นแบบ Single- Side (Left) ทำให้แสงจะสว่างทางฝั่งด้านซ้ายมากกว่าด้านขวา อาจแก้ไขได้โดยเปลี่ยนลักษณะการติดตั้งโคม เปลี่ยนความสูงของเสาไฟ หรือ ปรับค่ามุมเงยให้มากขึ้นแต่ต้องไม่มากเกินไปเพราะจะทำให้เกิดปัญหาเรื่องแสงจ้าตามมา
- ค. จากผลการคำนวณได้ความสม่ำเสมอ U_1 0.523 , 0.675 , 0.718 cd/m^2 ตามลำดับ ซึ่งมาตรฐาน CIE กำหนดไว้ที่ 0.5 cd/m^2 ซึ่งผ่านเงื่อนไขการให้แสงสว่าง
- ง. จากผลการคำนวณได้ค่า G 5.26 ซึ่งมาตรฐาน CIE กำหนดไว้ที่ 5 จึงผ่านเงื่อนไข
- จ. จากผลการคำนวณได้ค่า TI 8.46 ซึ่งมาตรฐาน CIE กำหนดไว้ที่ 10 จึงไม่ผ่านเงื่อนไข

5.2 กรณีที่ 2 เปรียบเทียบความสว่างและความส่องสว่างของถนนที่มีลักษณะการติดตั้งโคมต่างกัน

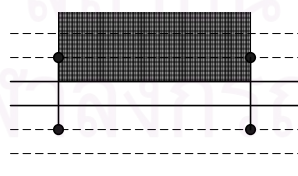
พื้นที่ที่ทดสอบ เป็นถนนทางตรงขนาดกว้าง 15 เมตร 3 เลน ติดตั้งโคมสูง 14 เมตร มุมเงย 15 องศา (ϕ -lamp = 47000 ลูเมน) ระยะระหว่างเสา 40 เมตร ถนนเป็นแบบ R3 (ข้อมูลการกระจายแสงของโคมแสดงไว้ในภาคผนวก ก) (ข้อมูลการสะท้อนแสงของพื้นถนนแสดงไว้ในภาคผนวก ข)



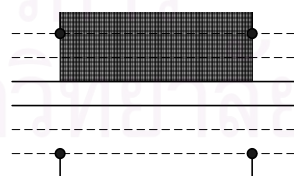
Single Sided (Right)



Opposite



Median Only



Opposite through Median



Opposite to Median

การวิเคราะห์ผล

- ก. จากผลการวิเคราะห์ในตารางที่ 5-5 จะได้ข้อสรุปดังนี้ ถ้าลักษณะการติดตั้งเป็นแบบ Single Sided (Right) ความสว่างและความส่องสว่างจะมากบริเวณฝั่งขวาของพื้นที่ที่พิจารณา เพราะฉะนั้นค่าความสม่ำเสมอรวมจึงน้อย และค่าความสม่ำเสมอในแนวยาวจะน้อยบริเวณฝั่งขวาของพื้นที่ที่พิจารณา
- ข. จากผลการวิเคราะห์ในตารางที่ 5-5 จะได้ข้อสรุปดังนี้ ถ้าลักษณะการติดตั้งเป็นแบบ Opposite ความสว่างและความส่องสว่างจะมากบริเวณกลางพื้นที่ที่เราพิจารณาและมีค่ามากกว่าแบบ Single Sided (Right) เพราะฉะนั้นค่าความสม่ำเสมอรวมจึงมากกว่าและค่าความสม่ำเสมอในแนวยาวของฝั่งซ้ายและขวาจะใกล้เคียงกัน
- ค. จากผลการวิเคราะห์ในตารางที่ 5-5 จะได้ข้อสรุปดังนี้ ถ้าลักษณะการติดตั้งเป็นแบบ Median Only ความสว่างและความส่องสว่างจะมากบริเวณฝั่งขวาของพื้นที่ที่พิจารณา และมีค่ามากกว่าแบบ Single Sided (Right) เพราะมีแสงจากโคมอีกฝั่งของถนนมาเพิ่ม ส่วนค่าความสม่ำเสมอรวมจะน้อย และค่าความสม่ำเสมอในแนวยาวจะน้อยบริเวณฝั่งขวาของพื้นที่ที่พิจารณา
- ง. จากผลการวิเคราะห์ในตารางที่ 5-5 จะได้ข้อสรุปดังนี้ ถ้าลักษณะการติดตั้งเป็นแบบ Opposite through Median ความสว่างและความส่องสว่างจะมากบริเวณฝั่งซ้ายของพื้นที่ที่พิจารณาโดยค่าที่ได้จะใกล้เคียงกับแบบ Single Sided (Right) เพราะมีแสงจากโคมอีกฝั่งของถนนมาเพิ่มแต่น้อยมาก เพราะฉะนั้นค่าความสม่ำเสมอรวมจึงน้อย และค่าความสม่ำเสมอในแนวยาวจะน้อยบริเวณฝั่งซ้ายของพื้นที่ที่พิจารณา
- จ. จากผลการวิเคราะห์ในตารางที่ 5-5 จะได้ข้อสรุปดังนี้ ถ้าลักษณะการติดตั้งเป็นแบบ Opposite to Median ความสว่างและความส่องสว่างจะมีค่ามากกว่าแบบ Opposite through Median เพราะมีโคมติดตั้งบริเวณเกาะกลางถนนมาเพิ่มทำให้แสงสว่างทั่วทั้งบริเวณที่พิจารณา เพราะฉะนั้นค่าความสม่ำเสมอในแนวยาวของแต่ละช่องจึงใกล้เคียงกัน

5.3 กรณีที่ 3 เปรียบเทียบความสว่างและความส่องสว่างของถนนเอียง

พื้นที่ที่ทดสอบ เป็นถนนทางตรงขนาดกว้าง 15 เมตร 3 เลน ติดตั้งโคมสูง 14 เมตร มุมเงย 15 องศา (ϕ -lamp = 47000 ลูเมน) ระยะระหว่างเสา 40 เมตร ถนนเป็นแบบ R3 (ข้อมูลการกระจายแสงของโคมแสดงไว้ในภาคผนวก ก) (ข้อมูลการสะท้อนแสงของพื้นถนนแสดงไว้ในภาคผนวก ข) โดยตารางที่ 5-6 แสดงค่าความสว่างและความส่องสว่างของถนนที่มีการปรับค่ามุมให้เอียงขึ้น 5 องศาเทียบกับแนวราบ โดยเริ่มเอียงที่ระยะ -100 เมตรจากจุดแรกที่พิจารณา และตารางที่ 5-7 แสดงค่าความสว่างและความส่องสว่างของถนนที่มีการปรับค่ามุมให้เอียงลง 5 องศาเทียบกับแนวราบ โดยสิ้นสุดการเอียงที่ระยะ 140 เมตรจากจุดแรกที่พิจารณา

ตารางที่ 5-5 การเปรียบเทียบแสงสว่างบนถนนที่มีลักษณะการติดตั้ง โคมแตกต่างกัน

ลักษณะการติดตั้ง	Illuminance (E)					Luminance (L)			Uniformity				Glare	
	Max	Min	Average	U ₀	U ₁	Max	Min	Average	U ₀	U ₁₁	U ₁₂	U ₁₃	TI	G
Single Side (Right)	45.3041	12.3686	30.3837	0.407	0.273	5.2046	0.6761	2.3826	0.2838	0.718	0.675	0.523	6.42	5.31
Opposite	78.7039	40.6873	60.7675	0.670	0.517	6.7200	1.9086	4.5092	0.4233	0.579	0.675	0.579	7.53	5.58
Median	61.2749	15.4104	43.3865	0.355	0.251	7.2962	0.8464	3.3693	0.2512	0.763	0.702	0.535	7.16	5.46
Opposite through Median	49.0592	22.9496	36.3017	0.632	0.468	5.1679	1.5637	2.5899	0.6038	0.539	0.686	0.749	9.69	5.35
Opposite to Median	97.2819	46.7474	79.6882	0.587	0.481	9.2392	3.0315	5.9592	0.5087	0.637	0.695	0.607	6.93	5.70

ตารางที่ 5-6 การเปรียบเทียบแสงสว่างบนถนนเอียง +5°

ลักษณะการติดตั้ง	Illuminance (E)					Luminance (L)			Uniformity				Glare	
	Max	Min	Average	U ₀	U ₁	Max	Min	average	U ₀	U ₁₁	U ₁₂	U ₁₃	TI	G
Single Side (Right)	47.9366	12.3566	30.2886	0.408	0.258	5.2400	0.7993	2.6979	0.2963	0.847	0.807	0.681	5.84	5.36
Opposite	82.7584	36.6247	60.5771	0.605	0.443	7.0226	2.2350	5.0670	0.4411	0.733	0.807	0.733	6.90	5.63
Median	67.1713	15.7723	43.2859	0.364	0.235	7.6769	0.9829	3.8753	0.2536	0.869	0.803	0.682	6.43	5.52
Opposite through Median	51.6778	23.0931	36.1582	0.639	0.447	5.2645	1.7912	2.9382	0.6096	0.698	0.814	0.843	8.80	5.40
Opposite to Median	102.412	42.9782	79.4441	0.541	0.420	9.7114	3.8381	6.8134	0.5633	0.756	0.814	0.740	6.26	5.75

ตารางที่ 5-7 การเปรียบเทียบแสงสว่างบนถนนเอียง -5°

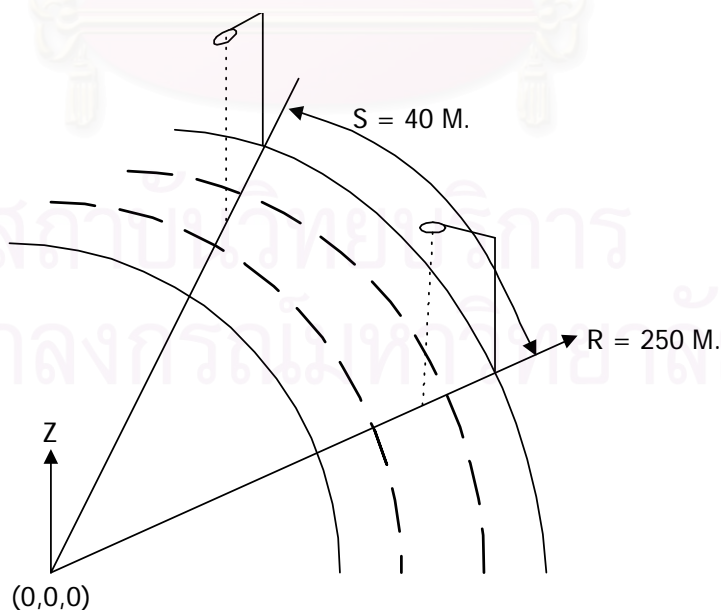
ลักษณะการติดตั้ง	Illuminance (E)					Luminance (L)			Uniformity				Glare	
	Max	Min	Average	U ₀	U ₁	Max	Min	Average	U ₀	U ₁₁	U ₁₂	U ₁₃	TI	G
Single Side (Right)	47.9431	12.3328	30.2439	0.408	0.257	5.0844	0.6122	2.0817	0.2941	0.624	0.494	0.370	7.19	5.25
Opposite	82.7497	36.4912	60.4878	0.603	0.441	6.9617	1.6987	3.9739	0.4275	0.466	0.494	0.466	8.38	5.53
Median	67.1614	15.7340	42.2103	0.364	0.234	7.2232	0.7836	2.9218	0.2682	0.712	0.556	0.388	8.06	5.40
Opposite through Median	51.7022	23.0452	36.0245	0.640	0.446	4.9607	1.3084	2.2748	0.5782	0.389	0.524	0.674	10.8	5.29
Opposite to Median	102.402	42.5660	79.2348	0.537	0.416	8.8655	2.4792	5.1966	0.4771	0.519	0.540	0.490	7.78	5.6

การวิเคราะห์ผล

- ก. จากผลการวิเคราะห์ในตารางที่ 5-6 และตารางที่ 5-7 จะได้ข้อสรุปดังนี้ ค่าความสว่างของถนนที่เอียงขึ้นและลงจะใกล้เคียงกันแต่จะกลับข้างกัน
- ข. จากผลการวิเคราะห์ในตารางที่ 5-6 และตารางที่ 5-7 จะได้ข้อสรุปดังนี้ ค่าความส่องสว่างของถนนที่เอียงขึ้นและลงจะแตกต่างกัน เนื่องจากผู้สังเกตอยู่คนละตำแหน่งกัน
- ค. จากผลการวิเคราะห์ในตารางที่ 5-6 และตารางที่ 5-7 จะได้ข้อสรุปดังนี้ ขนาดของมุม γ (มุมที่ใช้ในการคำนวณความสว่าง) ที่จุดๆเดียวกัน ถนนที่เอียงขึ้นจะมากกว่าทำให้ค่าความสว่างมากกว่า บริเวณที่มีค้ก็จะสว่างขึ้น เพราะฉะนั้นค่าความสม่ำเสมอในแนวยาวของถนนที่เอียงขึ้นจะมากกว่าถนนที่เอียงลง แต่ลักษณะแนวโน้มของแต่ละช่องวิ่งจะเหมือนกัน
- ง. จากผลการวิเคราะห์ในตารางที่ 5-6 และตารางที่ 5-7 จะได้ข้อสรุปดังนี้ ขนาดของมุม θ (มุมที่ใช้ในการคำนวณแสงจ้า) ที่จุดๆเดียวกัน ถนนที่เอียงขึ้นจะน้อยกว่า ทำให้ระดับแสงจ้าของถนนที่เอียงลงจะมากกว่าถนนที่เอียงขึ้น

5.4 กรณีที่ 4 ตัวอย่างการให้แสงสว่างถนนโค้ง

พื้นที่ที่ทดสอบ เป็นถนนทางโค้งเลี้ยวซ้าย ขนาดกว้าง 15 เมตร 3 เลน รัศมีความโค้ง 250 เมตร ติดตั้งโคมสูง 14 เมตร มุมเงย 15 องศา (ϕ -lamp = 47000 ลูเมน) ระยะระหว่างเสา 40 เมตร ลักษณะการติดตั้งแบบ Single-Side(Right) ถนนเป็นแบบ R3 (ข้อมูลการกระจายแสงของโคมแสดงในภาคผนวก ก) (ข้อมูลการสะท้อนแสงของพื้นถนนแสดงไว้ในภาคผนวก ข)



รูปที่ 5-12 ลักษณะพื้นที่ที่ทดสอบของถนนโค้ง

ตารางที่ 5-8 ความสว่างของถนนโค้ง

S/R	235.5	236.5	237.5	238.5	239.5	240.5	241.5	242.5	243.5	244.5	245.5	246.5	247.5	248.5	249.5
40	12.3	14.8	19.0	22.6	26.7	31.2	35.9	39.7	42.5	44.2	42.8	41.3	38.7	35.2	30.0
36	12.8	15.3	18.4	22.0	27.2	31.9	36.5	41.1	44.5	47.3	45.7	42.8	38.9	34.2	30.0
32	14.1	16.1	18.6	22.3	26.4	31.7	36.6	40.5	43.3	45.2	44.4	43.9	41.9	37.0	32.0
28	14.0	16.0	18.7	22.0	25.4	29.0	32.3	35.1	37.2	38.2	35.9	35.6	33.5	30.2	28.4
24	12.8	14.9	17.2	20.0	23.7	27.9	32.5	36.2	38.9	40.3	38.4	39.1	37.6	34.9	31.6
20	12.3	14.0	16.5	19.7	23.0	27.7	31.6	35.3	37.6	39.3	37.6	38.7	37.1	35.1	32.6
16	12.8	14.9	17.2	20.0	23.7	27.9	32.5	36.2	38.9	40.3	38.4	39.1	37.6	34.9	31.6
12	14.0	16.0	18.7	22.0	25.4	29.0	32.3	35.1	37.2	38.2	35.9	35.6	33.4	30.1	28.4
8	14.0	16.0	18.5	22.2	26.3	31.6	36.6	40.4	43.2	45.2	44.3	43.9	41.8	39.9	31.9
4	12.7	15.3	18.3	21.9	27.1	31.8	36.4	41.0	44.4	47.3	45.6	42.8	38.8	34.1	29.9
0	12.2	14.7	18.9	22.5	26.6	31.1	35.8	39.6	42.4	44.1	42.7	41.2	38.6	35.1	29.9

ตารางที่ 5-9 ความส่องสว่างของถนนโค้ง

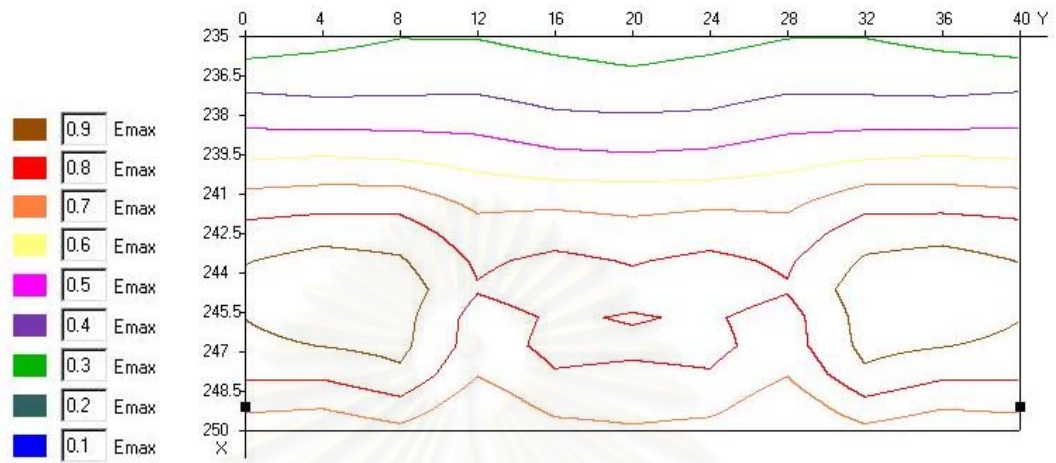
S/R	235.5	236.5	237.5	238.5	239.5	240.5	241.5	242.5	243.5	244.5	245.5	246.5	247.5	248.5	249.5
40	1.70	2.32	2.87	3.10	3.03	2.85	2.65	2.38	2.17	2.03	1.73	1.62	1.48	1.33	1.13
36	1.82	2.29	2.57	2.60	2.51	2.41	2.34	2.24	2.25	2.24	2.00	1.85	1.65	1.43	1.21
32	1.83	2.13	2.19	2.15	2.16	2.28	3.00	2.49	2.58	2.62	2.51	2.42	2.23	1.89	1.57
28	1.93	2.10	2.12	2.04	2.05	2.15	2.25	2.44	2.71	2.80	2.63	2.48	2.19	1.80	1.60
24	2.04	2.38	2.20	2.05	2.06	2.33	2.78	3.28	3.68	3.76	3.52	3.24	2.76	2.27	1.88
20	2.25	2.17	2.01	2.12	2.29	2.81	3.41	4.03	4.36	4.36	3.82	3.51	3.00	2.56	2.15
16	2.07	2.02	2.01	2.31	2.68	2.40	4.26	4.85	5.01	4.70	3.81	3.49	2.97	2.46	1.99
12	1.91	1.78	2.11	2.64	3.49	4.32	5.10	5.34	5.00	4.31	3.13	2.80	2.33	1.91	1.60
8	1.49	1.68	2.06	2.77	3.59	4.56	4.95	4.81	4.23	3.61	2.76	2.50	2.20	1.82	1.47
4	1.28	1.51	2.10	2.78	3.67	4.38	4.44	3.94	3.34	2.76	2.20	1.93	1.69	1.42	1.20
0	1.14	1.51	2.06	2.72	3.38	3.70	3.40	2.96	2.53	2.20	1.84	1.67	1.52	1.35	1.13

ตารางที่ 5-10 ความสม่ำเสมอของความสว่างของถนนโค้ง

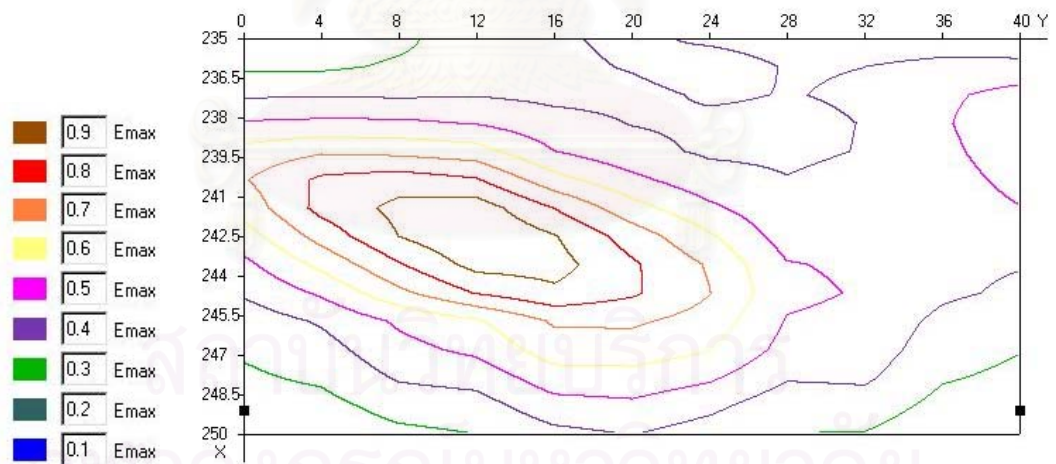
E _{min} (Lux)	E _{max} (Lux)	E _{av} (Lux)	E _{min} / E _{av}	E _{min} / E _{max}	TI	G
12.2	47.3	31.0	0.393	0.257	3.552	5.35

ตารางที่ 5-11 ความสม่ำเสมอของความส่องสว่างของถนนโค้ง

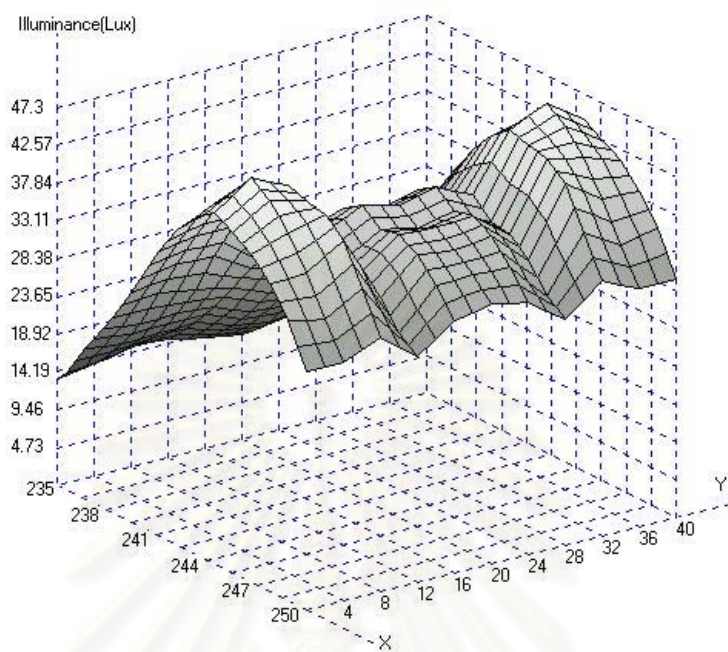
L _{min} (cd/m ²)	L _{max} (cd/m ²)	L _{av} (cd/m ²)	U ₀ L _{min} / L _{av}	U ₁₁	U ₁₂	U ₁₃
1.13	5.34	2.59	0.434	0.408	0.46	0.646



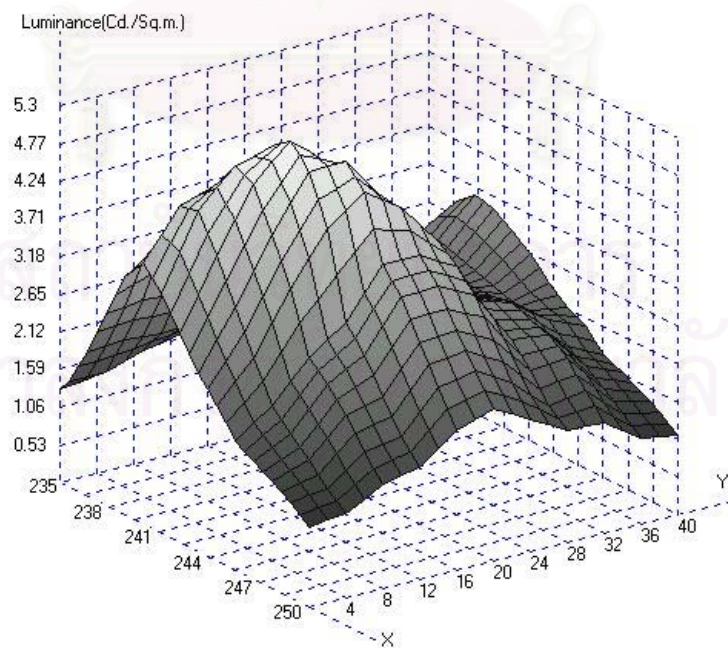
รูปที่ 5-13 ภาพลายเส้นของความสว่าง



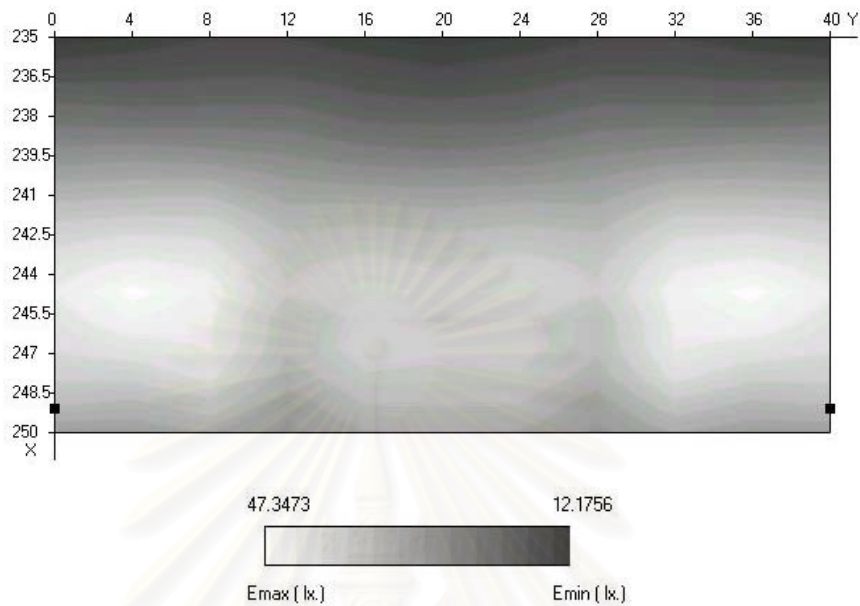
รูปที่ 5-14 ภาพลายเส้นของความส่องสว่าง



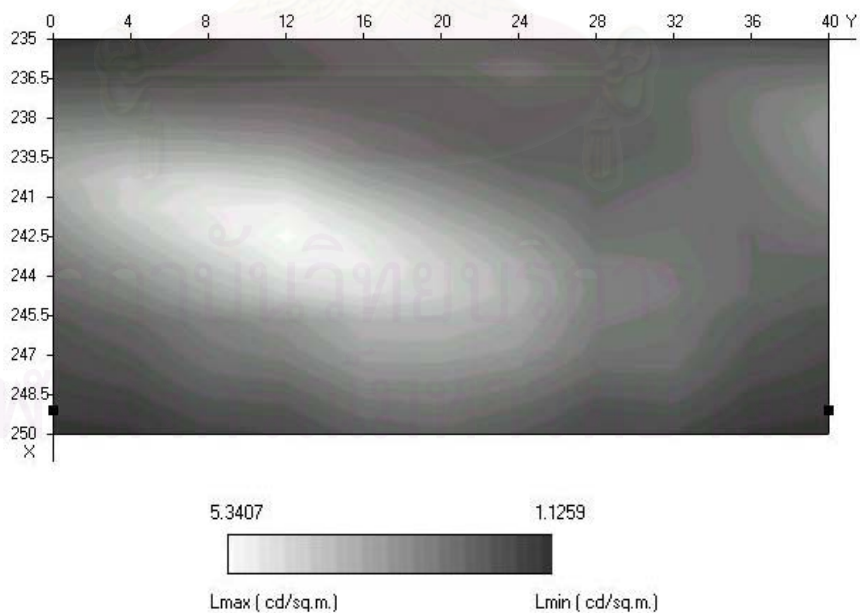
รูปที่ 5-15 ภาพสามมิติของความสว่าง



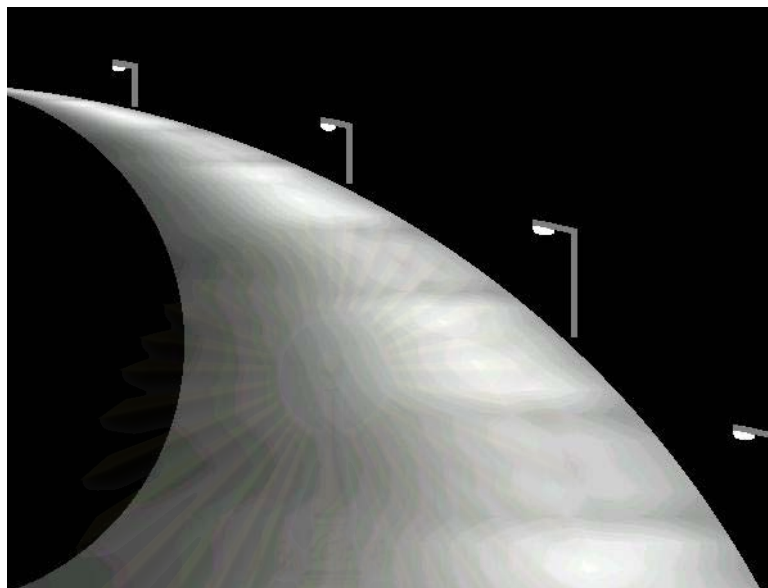
รูปที่ 5-16 ภาพสามมิติของความส่องสว่าง



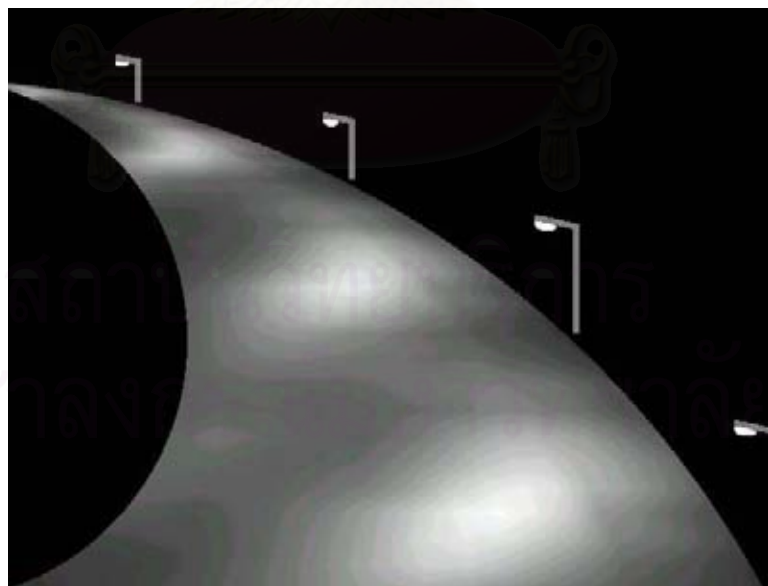
รูปที่ 5-17 ภาพแรงเงาของความสว่าง



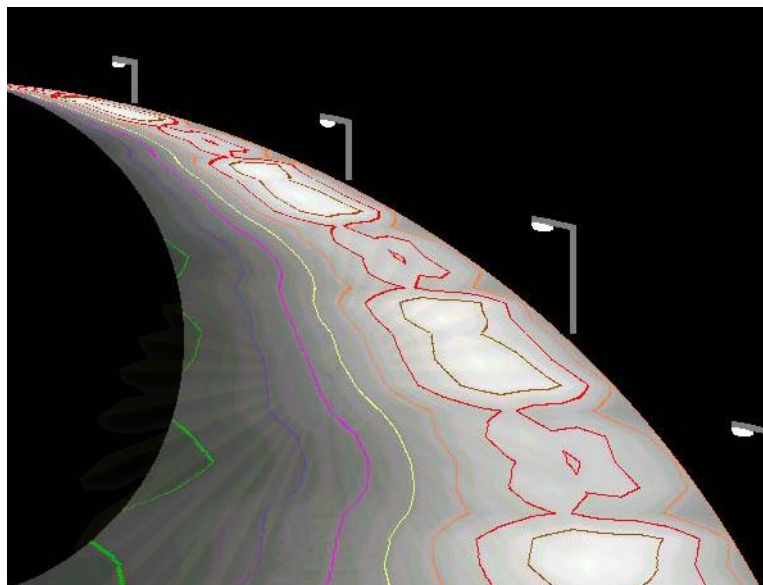
รูปที่ 5-18 ภาพแรงเงาของความส่องสว่าง



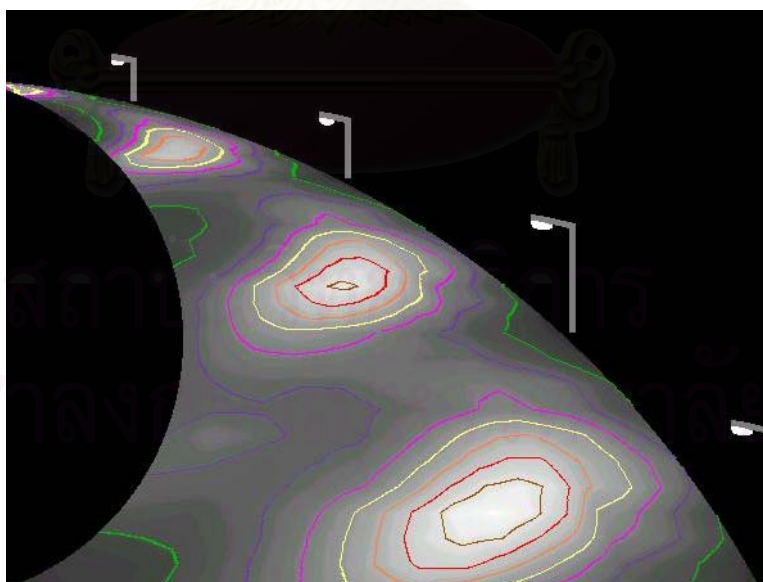
รูปที่ 5-19 ภาพ *perspective* ของความสว่าง



รูปที่ 5-20 ภาพ *perspective* ของความส่องสว่าง



รูปที่ 5-21 ภาพ perspective และลายเส้นของความสว่าง



รูปที่ 5-22 ภาพ perspective และลายเส้นของความส่องสว่าง

การวิเคราะห์ผล

- ก. จากผลการคำนวณได้ความส่องสว่างเฉลี่ยบนพื้นถนน 2.59 cd/m^2 ซึ่งมาตรฐาน CIE กำหนดไว้ที่ 2 cd/m^2 จึงผ่านเงื่อนไขการให้แสงสว่าง
- ข. จากผลการคำนวณได้ความสม่ำเสมอ U_0 0.434 ซึ่งมาตรฐาน CIE กำหนดไว้ที่ 0.4 cd/m^2 จึงผ่านเงื่อนไขการให้แสงสว่าง
- ค. จากผลการคำนวณได้ความสม่ำเสมอ U_1 0.408 , 0.46 , 0.646 cd/m^2 ตามลำดับ ซึ่งมาตรฐาน CIE กำหนดไว้ที่ 0.5 cd/m^2 ซึ่งไม่ผ่านเงื่อนไขการให้แสงสว่าง เนื่องจากถนนเป็นถนนโค้ง ลักษณะการติดตั้งโคมเป็นแบบ Single-Side(Right) ทำให้แสงจะสว่างทางด้านขวามากกว่าด้านซ้าย อาจจะแก้ไขได้โดยเปลี่ยนลักษณะการติดตั้งโคม เปลี่ยนความสูงของเสาไฟ หรือปรับค่ามุมเงยให้มากขึ้นแต่ต้องไม่มากเกินไปเพราะจะทำให้เกิดปัญหาเรื่องแสงจ้าตามมา
- ง. จากผลการคำนวณได้ค่า G 5.35 ซึ่งมาตรฐาน CIE กำหนดไว้ที่ 5 จึงผ่านเงื่อนไขการให้แสงสว่าง
- จ. จากผลการคำนวณได้ค่า TI 3.55 ซึ่งมาตรฐาน CIE กำหนดไว้ที่ 10 จึงไม่ผ่านเงื่อนไขการให้แสงสว่าง

5.5 กรณีที่ 5 เปรียบเทียบชนิดของถนน

พื้นที่ที่ทดสอบ เป็นถนนทางตรงขนาดกว้าง 15 เมตร 3 เลน ติดตั้งโคมสูง 14 เมตร มุมเงย 15 องศา (ϕ -lamp = 47000 ลูเมน) ระยะระหว่างเสา 40 เมตร ลักษณะการติดตั้งแบบ Single-Side (left) แต่ใช้พื้นถนนแตกต่างกัน (ข้อมูลการกระจายแสงของโคมแสดงไว้ในภาคผนวก ก) (ข้อมูลการสะท้อนแสงของพื้นถนนแสดงไว้ในภาคผนวก ข)

การวิเคราะห์ผล

- ก. จากผลการวิเคราะห์ในตารางที่ 5-12 ได้ข้อสรุปดังนี้ ถนนที่มีคุณสมบัติการสะท้อนแสงต่างกัน ความสว่างจะไม่ต่างกัน เนื่องจากความสว่างไม่ได้ขึ้นกับชนิดถนนแต่ขึ้นกับความเข้มแสงของดวงโคม
- ข. จากผลการวิเคราะห์ในตารางที่ 5-12 ได้ข้อสรุปดังนี้ ถนนที่มีคุณสมบัติการสะท้อนแสงต่างกัน ความส่องสว่างจะต่างกัน เนื่องจากความส่องสว่างขึ้นกับผลจากการสะท้อนของผิวถนนมาเข้าสู่ตาของผู้ขับขี่
- ค. จากผลการวิเคราะห์ในตารางที่ 5-12 ได้ข้อสรุปดังนี้ ถนนประเภท W ซึ่งเป็นถนนเปียก จะมีค่าความส่องสว่างมากกว่าประเภท C , R และ N ซึ่งเป็นถนนแห้ง เนื่องจาก มีการสะท้อนแสงจากน้ำบนพื้นถนนมาเข้าสู่ตาของผู้ขับขี่

ตารางที่ 5-12 การเปรียบเทียบแสงสว่างบนถนนที่มีชนิดถนนแตกต่างกัน

ชนิดถนน	Illuminance (E)					Luminance (L)			Uniformity				Glare	
	Max	Min	Average	U_0	U_1	Max	Min	average	U_0	U_{11}	U_{12}	U_{13}	TI	G
C1	45.3041	12.3686	30.3837	0.407	0.273	4.8642	1.1748	3.0979	0.3792	0.742	0.841	0.883	6.26	5.42
C2	45.3041	12.3686	30.3837	0.407	0.273	5.0133	0.6394	2.1922	0.2917	0.537	0.707	0.826	8.25	5.28
R1	45.3041	12.3686	30.3837	0.407	0.273	4.4091	1.2261	2.9733	0.4124	0.754	0.851	0.898	6.47	5.40
R2	45.3041	12.3686	30.3837	0.407	0.273	4.1080	0.7242	2.1853	0.3314	0.641	0.730	0.799	8.27	5.27
R3	45.3041	12.3686	30.3837	0.407	0.273	4.9831	0.6164	2.1259	0.2899	0.523	0.675	0.718	8.46	5.26
R4	45.3041	12.3686	30.3837	0.407	0.273	6.0083	0.5719	2.3196	0.2466	0.540	0.678	0.687	7.89	5.30
N1	45.3041	12.3686	30.3837	0.407	0.273	4.5937	1.2600	3.0920	0.4075	0.791	0.869	0.831	6.27	5.42
N2	45.3041	12.3686	30.3837	0.407	0.273	3.9639	0.7678	2.2152	0.3466	0.666	0.792	0.891	8.19	5.28
N3	45.3041	12.3686	30.3837	0.407	0.273	5.0110	0.6276	2.2125	0.2836	0.553	0.721	0.789	8.19	5.28
N4	45.3041	12.3686	30.3837	0.407	0.273	6.5829	0.5922	2.4317	0.2435	0.510	0.659	0.724	7.60	5.32
W1	45.3041	12.3686	30.3837	0.407	0.273	14.777	0.5920	4.1437	0.1429	0.386	0.571	0.696	4.96	5.54
W2	45.3041	12.3686	30.3837	0.407	0.273	23.340	0.5064	5.5442	0.0913	0.348	0.538	0.684	3.93	5.67
W3	45.3041	12.3686	30.3837	0.407	0.273	33.134	0.4591	7.0020	0.0656	0.334	0.545	0.701	3.26	5.77
W4	45.3041	12.3686	30.3837	0.407	0.273	38.782	0.4171	7.4984	0.0556	0.364	0.612	0.709	3.09	5.79

5.6 กรณีที่ 6 เปรียบเทียบการติดตั้งในระบบเสาธรรมดาและระบบเสาสูง

กรณีนี้จะกำหนดให้พื้นที่ที่ทดสอบ เป็นถนนทางตรงขนาดกว้าง 15 เมตร 3 เลน ถนนเป็นแบบ R3 ค่าความส่องสว่างเฉลี่ยประมาณ 2.3 cd/m^2 แล้วทำการปรับเปลี่ยนลักษณะการติดตั้งทั้งในระบบเสาธรรมดาและระบบเสาสูง เพื่อให้ได้ค่าความส่องสว่างเฉลี่ยตามที่ต้องการ ซึ่งจะได้ผลดังนี้

ระบบเสาธรรมดา
การกระจายแสงของโคมแสงไว้ในตาราง I1 (ϕ -lamp = 45500 ลูเมน) ระยะระหว่างเสา 40 เมตร ลักษณะการติดตั้งเป็นแบบ Single-Side (Right) และมุมเงยเท่ากับ 15 องศา

ระบบเสาสูง

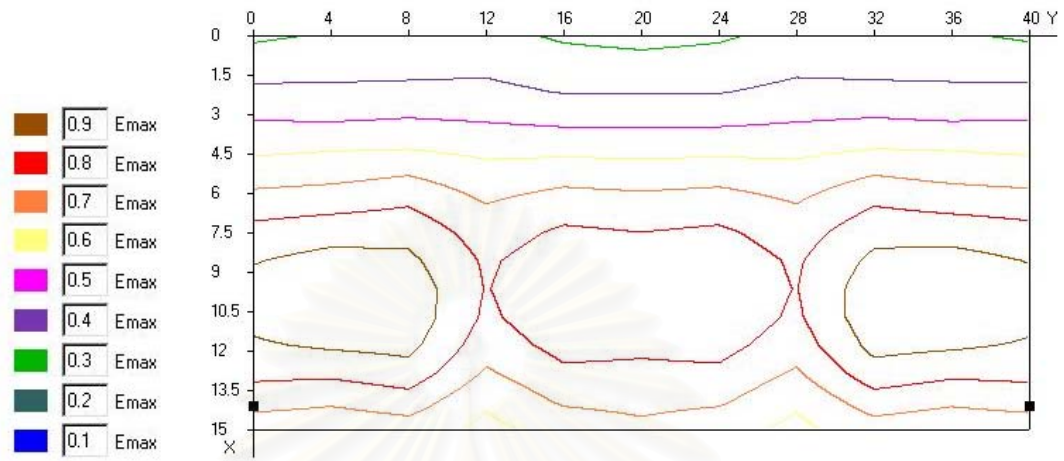
การกระจายแสงของโคมแสงไว้ในตาราง I2 (ϕ -lamp = 70000 ลูเมน) ระยะระหว่างเสา 80 เมตร

ตารางที่ 5-13 ข้อมูลการติดตั้งโคมระบบเสาสูง

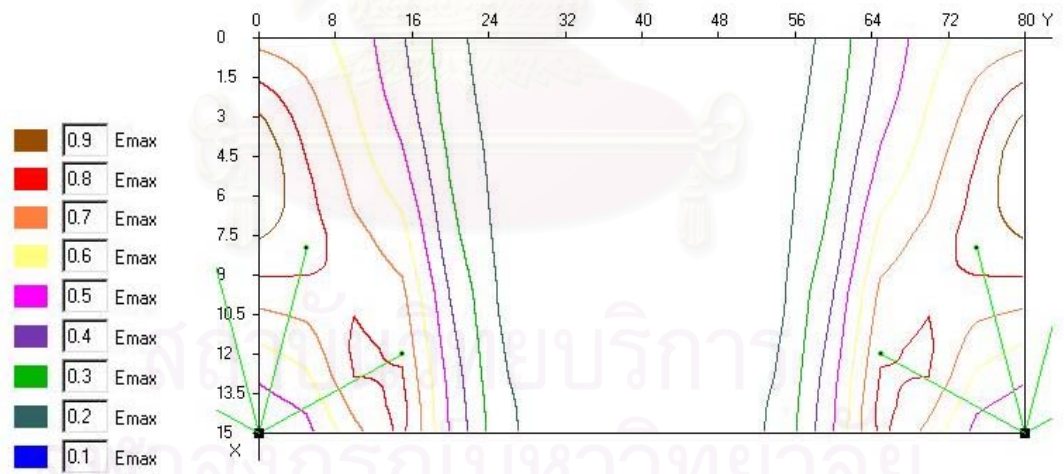
No.	Code	Lumen	Luminaire Position			Aiming Position			Rotate	Tilt
			X	Y	Z	X	Y	Z		
1	I2	70000	15	0	35	12	15	0	101.31	23.61
2	I2	70000	15	0	35	8	5	0	144.46	13.81
3	I2	70000	15	0	35	8	-5	0	-144.46	13.81
4	I2	70000	15	0	35	12	-15	0	-101.31	23.61

ตารางที่ 5-14 การเปรียบเทียบความสว่างและความส่องสว่างทั้ง 2 ระบบ

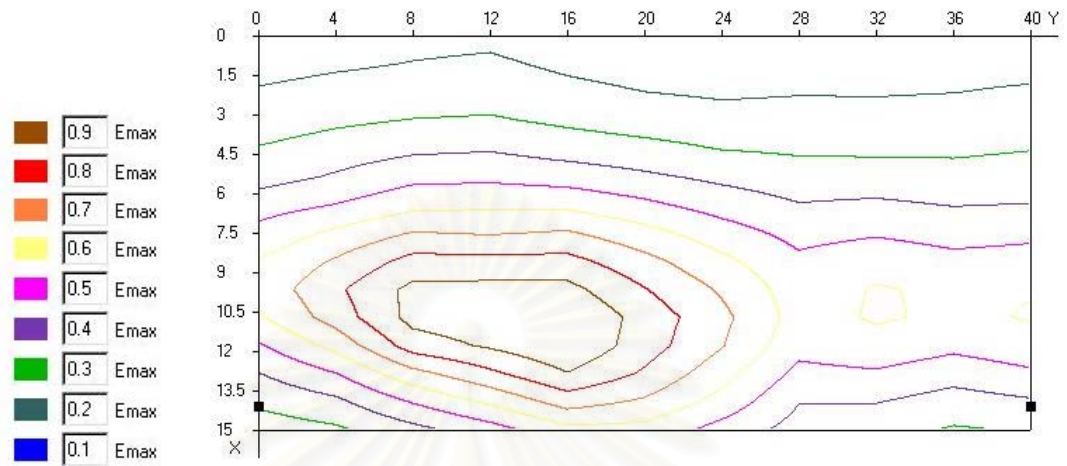
	ระบบเสาธรรมดา	ระบบเสาสูง
Emin (Lux)	11.9739	13.8629
E _{max} (Lux)	43.8582	131.744
E _{av} (Lux)	29.4140	56.4779
E _{min} / E _{av}	0.407	0.245
E _{min} / E _{max}	0.273	0.105
L _{min} (cd/m ²)	0.6545	0.8357
L _{max} (cd/m ²)	5.0385	5.0990
L _{av} (cd/m ²)	2.3066	2.3089
U ₀ (L _{min} / L _{av})	0.2838	0.3619
U ₁₁	0.718	0.289
U ₁₂	0.675	0.313
U ₁₃	0.523	0.265



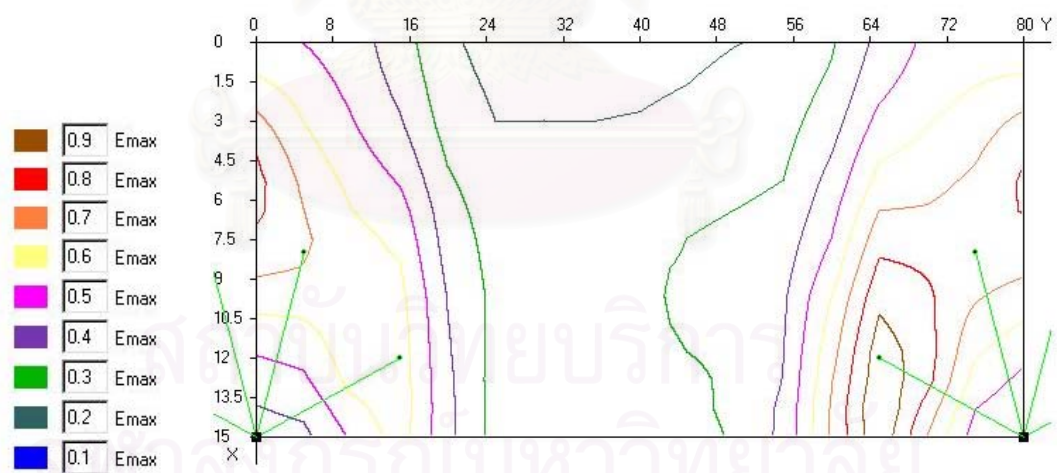
รูปที่ 5-23 ภาพลายเส้นของความสว่างระบบเสาธรรมดา



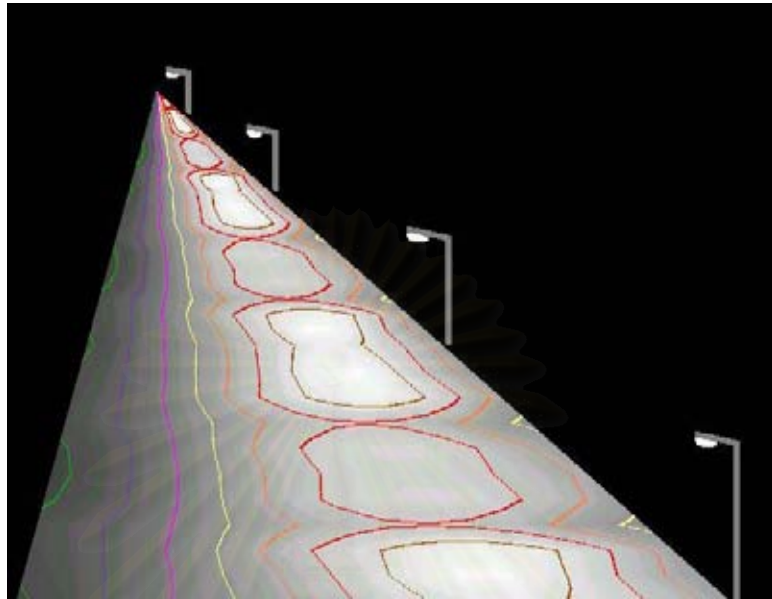
รูปที่ 5-24 ภาพลายเส้นของความสว่างระบบเสาสูง



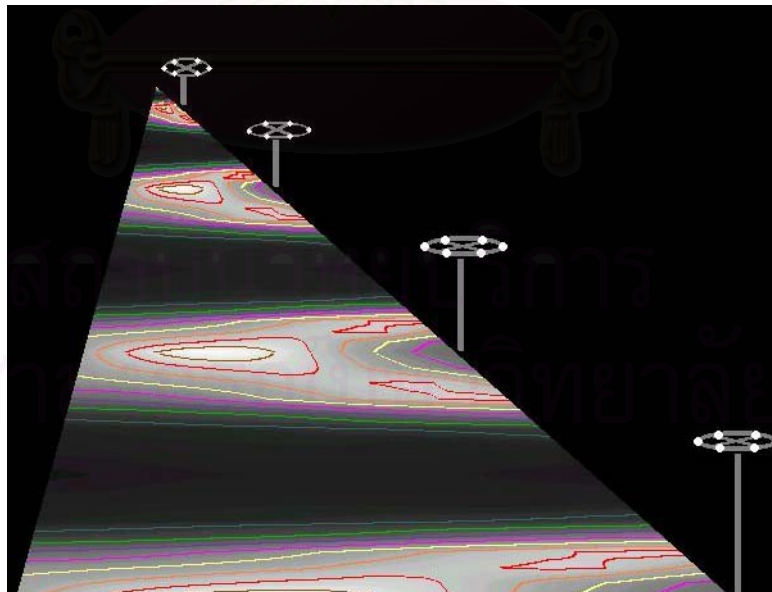
รูปที่ 5-25 ภาพลายเส้นของความส่องสว่างระบบเสาธรรมดา



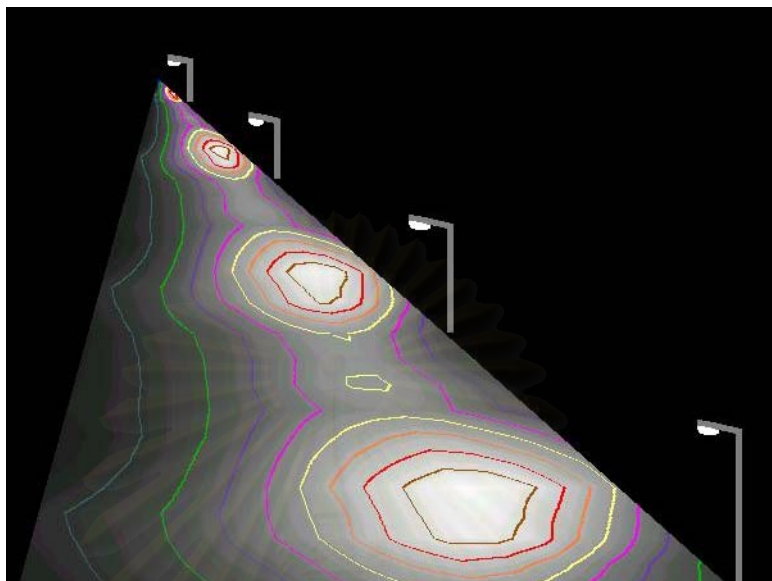
รูปที่ 5-26 ภาพลายเส้นของความส่องสว่างระบบเสาสูง



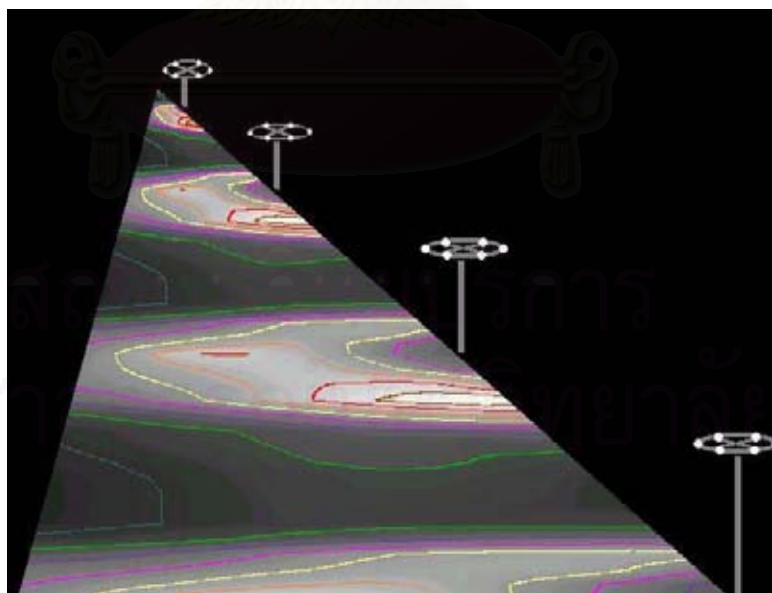
รูปที่ 5-27 ภาพ perspective และลายเส้นของความสว่างระบบเสาธรรมดา



รูปที่ 5-28 ภาพ perspective และลายเส้นของความสว่างระบบเสาสูง



รูปที่ 5-29 ภาพ *perspective* และลายเส้นของความส่องสว่างระบบเสาธรรมดา



รูปที่ 5-30 ภาพ *perspective* และลายเส้นของความส่องสว่างระบบเสาสูง

การวิเคราะห์ผล

- ก. ถ้าต้องการความส่องสว่างให้ใกล้เคียงกัน ระบบเสาสูงต้องใช้โคมที่มี ϕ -lamp เท่ากับ 70000 ลูเมน ซึ่งสูงกว่าระบบเสาธรรมดาที่มี ϕ -lamp เท่ากับ 45500 ลูเมน เนื่องจากติดตั้งโคมที่ความสูงสูงกว่า
- ข. เนื่องจากระบบเสาสูงติดตั้งโคมที่ความสูงสูงกว่า ดังนั้นสามารถติดตั้งระยะห่างระหว่างเสาได้มากกว่าคือที่ 80 เมตร ในขณะที่ระบบเสาธรรมดาติดตั้งที่ 40 เมตร ทำให้ประหยัดค่าใช้จ่าย
- ค. ระบบเสาสูงสามารถเลือกตำแหน่งจุดเลี้ยงของดวงโคมแต่ละดวงได้ ดังนั้นจึงสามารถเพิ่มความสว่างที่จุดใดๆได้ตามต้องการ แต่ระบบเสาสูงจะใช้จำนวนดวงโคมต่อ 1 เสาคือ 4 ดวงซึ่งมากกว่าระบบเสาธรรมดาที่ใช้เพียง 1 ดวง ต่อ 1 เสา
- ง. เนื่องจากการกระจายแสงของโคมในระบบเสาสูงจะมีลำแสงส่วนใหญ่ไปในแนวตั้งฉากกับดวงโคม เพราะฉะนั้นความสม่ำเสมอในแนวยาวจะมีค่าน้อย เสมือนเป็นทางม้าลาย เมื่อเทียบกับดวงโคมในระบบเสาธรรมดาที่มีลำแสงส่วนใหญ่ในแนวขนานกับดวงโคม ความสม่ำเสมอในแนวยาวจะมีค่ามากกว่า
- จ. ข้อสรุปดังกล่าวข้างต้นไม่ใช่ข้อตัดสินว่าระบบใดดีกว่าหรือด้อยกว่า ผลการวิเคราะห์ในหัวข้อนี้ เพื่อต้องการแสดงให้เห็นว่า โปรแกรมคอมพิวเตอร์ที่ถูกพัฒนาขึ้นมาสามารถใช้วิเคราะห์ผลของการให้แสงในระบบเสาธรรมดาและระบบเสาสูงได้ และสามารถนำผลมาเปรียบเทียบกันได้ การที่จะตัดสินใจว่าจะเลือกใช้ระบบใด ต้องทำการวิเคราะห์ผลมากกว่าที่แสดงในหัวข้อนี้ เช่น ต้องทดลองเปลี่ยนชนิดของดวงโคม Floodlight ที่มีลักษณะการกระจายแสงแบบต่างๆด้วย

บทที่ 6

สรุปและข้อเสนอแนะ

6.1 สรุปผลการดำเนินงาน

ในวิทยานิพนธ์นี้ได้เสนอวิธีการประเมินคุณภาพการให้แสงสว่างถนน ด้วยวิธีจุดต่อจุด เป็นวิธีที่ใช้หาค่าความสว่าง ณ จุดใดๆบนพื้นถนนได้ ซึ่งวิธีจุดต่อจุดนี้ ถ้าคิดด้วยมือจะต้องใช้เวลา นานและมีโอกาสที่จะเกิดความผิดพลาดได้ง่าย ด้วยเหตุนี้จึงได้พัฒนาโปรแกรมคอมพิวเตอร์ช่วย ในการวิเคราะห์โดยใช้ภาษาแคลป์ 5 ซึ่งเป็นภาษาที่ง่ายต่อการออกแบบและสามารถโต้ตอบกับผู้ ใช้ได้อย่างสะดวก ดังนั้นเมื่อมีการเปลี่ยนแปลงค่าที่ใช้ในการคำนวณ โปรแกรมก็สามารถคำนวณค่า ต่างๆใหม่ได้ในเวลารวดเร็ว ทำให้สะดวก ใช้เวลาในการคำนวณน้อยและมีความแม่นยำสูง

นอกจากนี้โปรแกรมคอมพิวเตอร์ที่ได้พัฒนาขึ้นนี้ยังสามารถหาค่าเฉลี่ย ค่าสูงสุด ค่าต่ำสุด ของความสว่าง และความส่องสว่าง ความสม่ำเสมอ ความสม่ำเสมอในแนวยาว ตลอดจนระดับ ของแสงจ้าตามมาตรฐาน CIE (International Commission on Illumination) ได้อีกด้วย โปรแกรมนี้ สามารถคำนวณได้ทั้งถนนตรงและถนนโค้งที่ติดตั้งในระบบเสาธรรมดาและระบบเสาสูง ซึ่งการ แสดงผลสามารถแสดงได้ในหลายรูปแบบ ทั้งรูปแบบของตารางข้อมูลภาพแรงา ภาพลายเส้น ภาพ 3 มิติ และภาพเสมือนจริงของความสว่างและความส่องสว่าง ทำให้ผู้ชมมองเห็นภาพได้ชัดเจนยิ่ง ขึ้น เนื่องจากการแสดงผลเป็นรูปภาพจะสามารถสื่อสารให้เข้าใจได้ง่ายและถูกต้องกว่า

การพัฒนาโปรแกรมนี้นอกจากจะได้ประโยชน์ดังกล่าวข้างต้นแล้ว ยังเป็นการชักชวนให้ผู้ ออกแบบไฟถนนในประเทศไทยหันมาออกแบบโดยพิจารณาค่าความส่องสว่าง และระดับแสงจ้า มากขึ้น เนื่องจากค่าความส่องสว่างและระดับแสงจ้าเป็นเรื่องที่ซับซ้อนยุ่งยาก การใช้โปรแกรม คอมพิวเตอร์จะทำให้การพิจารณาค่าดังกล่าวง่ายขึ้น ผลที่ตามมาคือจะทำให้ผู้ขับขี่รถยนต์บน ท้องถนนมีการมองเห็นที่มีคุณภาพสูงขึ้น และช่วยลดอุบัติเหตุที่อาจจะเกิดขึ้น ได้อีกด้วย

จุฬาลงกรณ์มหาวิทยาลัย

6.2 ข้อเสนอแนะ

การพัฒนาโปรแกรมในวิทยานิพนธ์นี้เป็นเพียงการเริ่มต้นของการพัฒนาโปรแกรมเพื่อใช้ในการออกแบบไฟถนนเพื่อใช้งานในประเทศ สามารถคำนวณได้ทั้งถนนตรงและถนนโค้งที่ติดตั้งในระบบเสาธรรมดาหรือระบบเสาสูงอย่างใดอย่างหนึ่งเท่านั้น แต่ลักษณะการใช้งานจริงอาจมีการผสมระหว่างการติดตั้งทั้งสองระบบ ซึ่งควรจะมีการพัฒนาให้มีประสิทธิภาพมากยิ่งขึ้น นอกจากนี้ยังมีถนนลักษณะอื่นๆอีก เช่น ทางแยก วงเวียน ฯลฯ ซึ่งต้องใช้ในการคำนวณที่ซับซ้อน แต่เป็นลักษณะถนนที่มีอยู่ในปัจจุบัน ฉะนั้นจึงควรจะมีการพัฒนาโปรแกรมที่สามารถคำนวณการให้แสงสว่างถนนลักษณะดังกล่าวด้วย



สถาบันวิทยบริการ
จุฬาลงกรณ์มหาวิทยาลัย

รายการอ้างอิง

1. International Commission on Illumination, CIE Publication No. 30, 1976.
2. Ir.W.J.M. van Bommel , Prof.J.B.de Boer . Road Lighting . Philips technical Library , 1980.
3. IES Lighting handbook ,application volume, 1981.
4. นพดล ปิ่นสุภา. การออกแบบไฟถนนด้วยวิธี ซีไออี โดยใช้คอมพิวเตอร์.วิทยานิพนธ์
ปริญญาโทบริหารศึกษิต สาขาวิศวกรรมไฟฟ้า คณะวิศวกรรมศาสตร์ จุฬาลงกรณ์
มหาวิทยาลัย, 2532.
5. ไชยะ แซ่มซ้อย . พื้นฐานวิศวกรรมการส่องสว่าง . เล่ม 1,บริษัท เอ็มแอนดีอี จำกัด , 2544.
6. ประสิทธิ์ พิทยพัฒน์. Lighting System Design . กลุ่มบริษัท แสงมิตร กรู๊ป , 2544.



สถาบันวิทยบริการ
จุฬาลงกรณ์มหาวิทยาลัย



ภาคผนวก

สถาบันวิทยบริการ
จุฬาลงกรณ์มหาวิทยาลัย

ภาคผนวก ก

ตาราง II

มุม γ (องศา)	ระนาบ C															
	0°	15°	25°	35°	45°	55°	65°	70°	75°	77.5°	80°	82°	84°	86°	88°	90°
0.0	1290	1290	1290	1290	1290	1290	1290	1290	1290	1290	1290	1290	1290	1290	1290	1290
5.0	1197	1179	1153	1030	988	953	930	920	910	905	900	895	893	891	889	889
10.0	1070	972	835	746	647	526	479	450	423	421	416	413	412	412	411	412
15.0	936	749	613	462	345	280	234	225	217	213	210	210	209	208	206	205
20.0	853	634	451	303	220	185	212	218	221	223	224	225	225	224	223	223
25.0	757	537	353	226	205	196	192	189	193	195	201	203	203	206	208	209
30.0	591	372	229	232	211	195	175	171	172	169	168	167	165	162	162	164
35.0	442	220	181	214	202	196	162	139	126	122	118	118	117	115	115	115
40.0	205	129	145	162	176	159	146	130	118	122	121	119	118	116	116	117
45.0	89	96	120	135	148	150	158	137	121	113	107	104	101	98	98	98
50.0	76	82	103	117	129	135	129	130	122	117	117	115	113	110	108	108
55.0	56	65	86	110	107	104	106	105	104	102	99	98	97	96	95	95
60.0	39	42	66	80	74	82	85	85	92	92	92	90	92	90	90	87
65.0	21	18	44	43	45	62	68	63	49	55	67	62	69	70	71	82
70.0	8	4	17	13	21	27	21	12	18	16	18	15	10	7	9	9
75.0	3	4	4	3	6	4	7	8	4	4	2	3	3	2	2	2
80.0	2	2	2	2	3	3	5	4	1	1	1	1	1	1	1	1
85.0	1	2	1	1	1	2	2	1	1	0	0	0	0	0	0	0
90.0	0	1	1	1	1	1	1	0	0	0	0	0	0	0	0	0
95.0	0	0	1	1	1	1	0	0	0	0	0	0	0	0	0	0
100.0	0	0	1	0	0	0	0	0	0	0	0	0	0	0	0	0
105.0	0	0	0	0	0	0	0	0	0	0	0	0	0	0	0	0
110.0	0	0	0	0	0	0	0	0	0	0	0	0	0	0	0	0
115.0	0	0	0	0	0	0	0	0	0	0	0	0	0	0	0	0
120.0	0	0	0	0	0	0	0	0	0	0	0	0	0	0	0	0
125.0	0	0	0	0	0	0	0	0	0	0	0	0	0	0	0	0
130.0	0	0	0	0	0	0	0	0	0	0	0	0	0	0	0	0
135.0	0	0	0	0	0	0	1	0	0	0	0	0	0	0	0	0
140.0	0	0	0	0	0	0	0	1	1	1	1	1	1	1	1	1
145.0	0	0	0	0	0	1	1	0	0	0	0	0	0	0	0	0
150.0	0	0	0	0	1	1	1	1	1	1	1	1	1	1	1	1
155.0	0	0	0	1	1	1	1	1	1	1	1	1	1	1	1	1
160.0	1	1	1	1	1	1	1	1	1	1	1	1	1	1	1	1
165.0	1	1	1	1	1	1	1	1	1	1	1	1	1	1	1	1
170.0	1	1	1	1	1	1	1	1	1	1	1	1	1	1	1	1
175.0	1	1	1	1	1	1	1	1	1	1	1	1	1	1	1	1
180.0	1	1	1	1	1	1	1	1	1	1	1	1	1	1	1	1

ประวัติผู้เขียน

นางสาว สุวิษญาน์ อินนัตตา เกิดวันที่ 17 กรกฎาคม พ.ศ. 2519 ที่อำเภอเมือง จังหวัดขอนแก่น สำเร็จการศึกษาปริญญาวิศวกรรมศาสตรบัณฑิต สาขาวิชาวิศวกรรมไฟฟ้า คณะวิศวกรรมศาสตร์ จากมหาวิทยาลัยเกษตรศาสตร์ เมื่อปี 2541 และได้เข้าศึกษาต่อหลักสูตรวิศวกรรมศาสตรมหาบัณฑิต สาขาวิชาวิศวกรรมไฟฟ้า (ไฟฟ้ากำลัง) ภาควิชาวิศวกรรมไฟฟ้า คณะวิศวกรรมศาสตร์ จุฬาลงกรณ์มหาวิทยาลัย ในปี 2542



สถาบันวิทยบริการ
จุฬาลงกรณ์มหาวิทยาลัย